2 6 4 11 1 8 8 % 6 6 ДОКЛАДЫ

XLII, No 4 1966

խմբագբական կոլեգիա

թյունների թեկնածու, Ա. Բ. ԲԱԲԱՅԱՆ, ՀՍՍՌ ԳԱ թղթակից-անդամ, Ա. Ա. ԹԱԼԱԼ-**Ի**ԱՌԱՅԱՆ, ՀՍՍՌ ԳԱ թղթակից-անդամ. (պատ. խմբուգրի տեղակալ), Ս. Հ. ՄԻՐՋՈ-3ԱՆ, ՀՈՍՌ ԳԱ բղթակից-անդամ, Ս. Ս. ՄԿՐՏՉՑԱՆ, ՀՍՍՌ ԳԱ ակադեմիկոս, Ա. Գ. ԱԱԱՐՈվ, ՀՍՍՌ ԳԱ ակադեմիկոս (պատ. խմբագիւ), Ս. Մ. ՍԱՊՈՆՋՅԱՆ, ՀՍՍՌ ԳԱ թղթակից-ունդում, Մ. Լ. ՏԵՐ-ՄԻՔԱՅԵԼՅԱՆ, ՀՍՈՌ ԳԱ թղթակիզ-անդամ։

Редакционная коллегия

է. Գ. ԱՖՐԻԿՅԱՆ, կենսաբանական գիտու– В. А. АМБАРЦУМЯН, академик, Э. Г. АФРИКЯН, кандидат биологических наук, А. Т. БАБАЯН, чл-корресп. АН АрмССР, В. О. КАЗАРЯН, чл.-корресп. АН АрмССР (зам. отв. редактора), С. А. МИРЗОЯН, чл-корресп. АН АрмССР, С. С. МКРТЧЯН, академик АН АрмССР. А. Г. НАЗАРОВ, академик АН АрмССР (отв. редактор), О. М САПОНДЖЯН, чл.-корресп. АН АрмССР, А. А. ГАЛА-ЛЯН, чл.-корресп. АН АрмССР. В М ТАРАЯН, чл.-корресп АН АрмССР, М. Л. ТЕР МИКАЕЛЯН, чл.-корресп АН Арм CCP.

ԲՈՎԱՆԴԱԿՈՒԹՅՈՒՆ

Մարեմասիկա	
ի Ս. Սաոգսյան—Գիրակի միաչափ սիստնմի սպեկտրալ մատրիցի ածանցյալների ընդհանրացրած գումարումը	191
Ռիոֆիզիկա	
Վ. Ծ. Ասլանյան, Ա. Գ. Գաբբիելյան, Մ. Ա. Ծովոսելեւ և Է. Գ. Թովմասյան—(ու- ծույթի իոնական ուժի աղդեցությունը ԳնԹ-ի ջերմային դենատուրացիայի վրա	151
Aիոնիկա	
թ. Ս. Սոտսկով <i>ՍՍՈՒՄ ԳԱ թղկակից-անդամ</i> , Լ. Ս. Ղամբաշյան և Ս. Հ. Մկշտչյան — Ուղեղի Հուսալիության հարցի չուրքը	203
- Բիսքիսքիա	
Ա. Ա. Գալոյան և Ռ. Մ. Սուապիոնյան — Հիպո⊭ալաժուսից անջատված պսակաձև անոβները լայնացնող սպիտակուցի մաքրժան ժասին	210
Գեսքիմիա	
Վ Վ Պալբաղլան — Հոկտեմբերյանի շերտախմբի ապառներից էքստրակցված թիտու- մոիդների խրոմատոդրաֆիական ֆրակցիաների ինֆրակարմիր սպեկտրները	214
Երկրաբանություն	
Հ. Գ. Սաղաքյան, Հայկական ՍՍՌ ԳԱ ակադհմիկոս—Հայկական լնոնաշխարհը կեն- տրոնական միջնրկրածովային սիստեմում	213
Գեումուֆոլոգիա	
2. Կ. Գաբբիելյան—Հայկական IIIIՌ գետային դարավանդների առաջացման հար- ցի չուրջը	224
Օգոակաr հանածոներ	
Հ. Գ. Ղազաբյան և Հ. Ա. Ղազաբյան — Հայկական ՍՍՌ Շամլուղի հանքային դաշտի հանքայնացման և մետասոմատիտների հասակային տարբերության մասին	
Սուաորգրաֆիա	
Գ. Մ. Հակոբյան — Նորագույն տվյալներ Մարալ-սար լեռան շրջակայթի և Խաչ-աղրյուր գետի կիրձի հրաբխային նստվածքների հասակի մասին	233
Բույսերի ֆիզիսլոգիա	
Մ. Գ. Գլոզալյան — Քույսերից չանջատված տերեների չրային ոնժիմի լարվածության և հրա ուսումնասիրության ևոր մեթոդի մասին	236
Ֆիզիոլոգիա	
Կ. Ա. Աստաբատյան և Վ. Վ. Ֆանաւթյան—Կատվի ուղեղիկի ատամնավոր կորիկի նեյրոնների էլեկտրական ակտիվության միկրոէլեկտրողային հետազոտությունը . Ս. Հ. Միւզոյան, Հայկական ՍՍՌ ԳԱ Բղթակից-անդամ, և Ռ. Ա. Գւիդուլան—Ստա-	24
վածքի ւիստադիրոպեկսիկ չտակությար փոփոխության չբա ղոեսի խոնի ասաջացման կանխումը Տրևղուկ չանքային ջևով ը ընտ սևոչ կապև չկուս-	252

СОДЕРЖАНИЕ

	Стр
Математика	Стр
И. С. Саргсян - Сумынрование производных спектральной матрицы одно- мерной системы Дирака · · · · · · · · · · · · · · · · · ·	193
Биофизика	1561
В. М. Асланян, А. Г. Габриелян, М. А. Новоселер и Э Г Товмасян Ваня- ние понной силы раствора на тепловую денатурацию ДНК	194
Бионика	
Б. С. Сотсков. чл-корр. АН СССР, Л. С. Гамбарян и С О. Мкрт-чян-К вопросу надежности мозга	205
Биохимия	
А. А. Галоян и Р. М. Срапионян—Об очистке коронарорасширяющего белка, выделенного из гипоталамуса	210
Гсохимия	
В. В. Пайразян—Инфракрасные спектры хроматографических фракции битумондов, экстрагированных из пород октемберянской толщи	214
Геология	
И. Г. Магакьян, академик АН Армянской ССР — Армения в системе центрального Средиземноморья · · · · · · · · · · · · · · · · · · ·	219
Геоморфология	
Г. К. Габриелян—К вопросу образования речных террас в Армян- ской ССР · · · · · · · · · · · · · · · · · ·	224
Полезные ископаемые	
А. Г. Казарян и Г. А. Казарян—О возрастном разрыве между образона- нием метасоматитов и оруденением в Шамлугском рузном поле Армянской ГГР	227
Стратиграфия	
Г. М. Акопян—Новые данные о возрасте вулканогенных отложений района г. Марал-сар и ущелья р. Хач-ахпюр · · · · · · · · · · · · · · · · · · ·	233
Физиология растений	
М Г. Гезалян—О напряженности водного режима неизолированных лис- тьев и новом методе его исследования · · · · · · · · · · · · · · · · · · ·	236
В. О. Казарян, члкорр. АН Армянской ССР, К. А. Карапетин и И. А. Казарян—О влиянии фотопериодического режима на карневты пответствурузы	241
Физнология	
К. А. Астабатян и В. В. Фанарджен—Микроэлектродное исследование электрической активности непронов зубчатого ядра мозжечка кошки С. А. Мирзони, чл -корр АН Армянской ССР, и Р. А. Григорян—Пре-тупреждение возникновении экспериментальных язв желудка джермукской мине-тупреждение возникновении экспериментальных язв желудка джермукской мине-	245
гипреждение возникновения экспериментальных эффектов от изменения ральной водой и некоторая зависимость наблюдаемых эффектов от изменения гистаминопексической способности тканей. • • • • • • • • • • • • • • • • • • •	252

МАТЕМАТИКА

И. С. Саргсян

Суммирование производных спектральной матрицы одномерной системы Дирака

(Представлено академиком АН Армянской ССР С. Н. Мергеляном 29/1X 1965)

Рассмотрим следующую задачу на собственные значения:

$$\frac{dy_2}{dx} + p(x)y_1 = iy_1,$$

$$-\frac{dy_1}{dx} - r(x)y_2 = iy_2,$$
(1)

$$y_2(0) - hy_1(0) = 0,$$
 (2)

тде p(x) и r(x) — вещественные функции, определенные на полупрямой $(0, \infty)$ и обладающие производными, суммируемыми в каждом конечном интервале, h — произвольное вещественное число, а λ — параметр.

Система (1) является одномерным аналогом стационарной системы Дирака в релятивистской квантовой теории.

Обозначим через $\varphi(x, \lambda) = \{\varphi_1(x, \lambda), \varphi_2(x, \lambda)\}$ решение системы (1) удовлетворяющее начальным условням

$$\varphi_1(0, \lambda) = 1, \ \varphi_2(0, \lambda) = h.$$
 (2')

Очевидно, что вектор-функция $\varphi(x, \lambda)$ удовлетворяет граничному условию (2).

Пзвестно (1), что при данном h каждой граничной задаче (1)—(2) соответствует единственная* неубывающая, ограниченная в каждом конечном интервале, непрерывная слева функция $\rho(t)$, (— ∞ $< \infty$), порождающая изометрическое отображение пространства с интегрируемым квадратом на полупрямой (1), ∞) вектор-функций $f(x) \subset L^2(0,\infty)$:

$$\int_{0}^{\infty} \{f_{1}^{2}(x) + f_{2}^{2}(x)\} dx < +\infty.$$

Единственность функции р (л) доказана Б. М. Левитаном

на пространство $L_{\langle P(\lambda) \rangle}(-\infty,\infty)$ и пространства $L_{(0)}(-\infty,\infty)$ на пространство $L^2(0,\infty)$ по формулам

$$F(\lambda) = \int_{0}^{\infty} \{f_{1}(x) \approx_{1} (x, \lambda) + f_{2}(x) \varphi_{2}(x, \lambda) dx,$$
 (3)

$$f_{1}(x) = \int_{-\infty}^{\infty} F(\lambda) \varphi_{1}(x, \lambda) d\varphi(\lambda),$$

$$f_{2}(x) = \int_{-\infty}^{\infty} F(\lambda) \varphi_{2}(x, \lambda) d\varphi(\lambda),$$

$$(4)$$

где интегралы (3) и (4) сходятся в метриках пространств $L^2_{\{p(\lambda)\}}(-\infty,\infty)$ и $L^2(0,\infty)$, соответственно, и справедливо равенство Парсеваля

$$\int_{0}^{\infty} \{f_{1}^{2}(x) + f_{2}^{2}(x)\} dx = \int_{-\infty}^{\infty} F^{2}(\lambda) d\rho(\lambda).$$

Введем следующую терминологию:

- 1. Функцию ρ (λ) будем называть спектральной функцией задачи (1)—(2);
 - 2. Матрицу второго порядка

$$\Theta(x, s; \lambda) = \|\Theta_{ij}(x, s; \lambda)\|, i, j = 1, 2,$$

где функции $\Theta_{ij}(x, s; \lambda)$ определяются по формулам

$$\Theta_{ij}(x, s, h) = \begin{cases}
\int_{0}^{\varphi_{l}} (x, h) \varphi_{j}(s, h) d\varphi(h), h > 0, \\
-\int_{\lambda}^{\varphi_{l}} (x, h) \varphi_{j}(s, h) d\varphi(h), h < 0, \\
0, & \lambda = 0,
\end{cases} (5)$$

мы будем называть спектральной матрицей задачи (1)—(2).

В работе (2) мы исследовали асимптотическое поведение спектральной матрицы $\Theta(x, s; \lambda)$ при $|\lambda| \to \infty$. В настоящей работе, как и в работе (2), применяются методы, аналогичные методам, разработанными Б. М. Левитаном (3) и В. А. Марченко (4) для уравнения Шредингера, и изучаются асимптотические поведения производных по x и s спектральной матрицы $\Theta(x, s; \lambda)$ при $|\lambda| \to \infty$. Одновременно получены некоторые предварительные оценки производных спектральной матрицы $\Theta(x, s; \lambda)$, которые в другой работе нами будугиспользованы при исследовании вопроса о возможности почленного дифференцирования разложений по собственным вектор-функциям загачи (1)—(2).

Производные спектральной матрицы $\Theta(x, s; \lambda)$ мы будем сравнивать с производными спектральной матрицы $\Theta^*(x, s; \lambda) = \left\{\Theta_{ij}(x, s; \lambda)\right\}$ более простой задачи, а именно, задачи (1)-(2) при p(x)=r(x)=0 и h=0. В этом случае $\varphi_1(x,\lambda)=\cos(x,\varphi_2(x,\lambda))=\sin(x)$ и поэтому, согласно определению спектральной матрицы (5), матрица $\Theta(x,s;\lambda)$ определяется по формулам

$$\theta_{11}^*(x,s;\lambda) = \frac{1}{\pi} \int_0^{\lambda} \cos \mu x \cdot \cos \mu s d\mu = \frac{1}{2\pi} \left\{ \frac{\sin \lambda (x+s)}{x+s} + \frac{\sin \lambda (x-s)}{x-s} \right\},$$

$$\theta_{12}^*(x,s;\lambda) = \frac{1}{\pi} \int_0^{\lambda} \cos \mu x \cdot \sin \mu s d\mu = -\frac{1}{2\pi} \left\{ \frac{\cos \lambda (x+s)}{x+s} + \frac{\cos \lambda (x-s)}{x-s} \right\} + \frac{1}{\pi} \cdot \frac{x}{x^2-s^2},$$

$$\theta_{21}^*(x,s;\lambda) = \frac{1}{\pi} \int_0^{\lambda} \sin \mu x \cdot \cos \mu s d\mu = -\frac{1}{2\pi} \left\{ \frac{\cos \lambda (x+s)}{x+s} - \frac{\cos \lambda (x-s)}{x-s} \right\} - \frac{1}{\pi} \cdot \frac{x}{x^2-s^2},$$

$$\theta_{22}^*(x,s;\lambda) = \frac{1}{\pi} \int_0^{\lambda} \sin \mu x \cdot \sin \mu s d\mu = \frac{1}{2\pi} \left\{ \frac{\sin \lambda (x-s)}{x-s} - \frac{\sin \lambda (x+s)}{x+s} \right\}.$$

Лемма 1. Если первые производные функции p(x) и r(x) суммируемы в каждом конечном интервале, то при каждых фиксированных x и s и n pи $|a| \rightarrow \infty$ имеют место оценки

$$\bigvee_{a} \left\{ \frac{\partial \Theta_{ij}(x,s;\lambda)}{\partial x} \right\} = \int_{a}^{a+1} |\varphi_{i}(x,\lambda)| + |\varphi_{j}(s,\lambda)| d\varphi(\lambda) = 0 \ (a), \ i,j = 1, 2.$$
(6)

Оценки (6) имеют место равномерно в киждом конечном интервале изменения переменных х и s.

Из определения спектральной матрицы $H(x, s; t) = \|H(x, s; t)\|$ непосредственно следует

Лемма 2. При $|a| \to \infty$ имеют место оценки

$$V = \begin{cases} \frac{\partial \Theta_{ij}(x, s; t)}{\partial x} = O(a), i, j = 1, 2. \end{cases}$$
 (7)

Оценки (7) имеют место равномерно в области 11 х, s = ос.

Оценки, аналогичные оценкам (6) и (7), имеют место и для старших производных спектральных матриц Н (x, x, x) и

Лемма 3. Если функции р (х) и r (х) имеют суммируемые в киждом конечном интервале производные порядка п включитель-

но, то при каждых фиксированных x и s и при $|a| \rightarrow \infty$ справед ливы оценки (i, j=1, 2)

$$\bigvee_{a}^{a-1} \left\{ \frac{\partial^{n} \Theta_{ij}(x, s; h)}{\partial x^{k} \partial s^{l}} \right\} = \int_{a}^{a-1} |\varphi^{(h)}(x, h)| \cdot |\varphi^{(l)}_{j}(s, h)| d_{p}(h) = O(a^{n}), \quad k+l=n.$$

Оценки (8) имеют место равномерно в каждом конечном интервале изменения переменных х и s.

Оценка (8) для производных порядка n спектральной матрицы $\Theta^*(x, s; \lambda) = \|\Theta_{ij}(x, s; \lambda)\|$ непосредственно следует из ее определения

Оценки (6) и (7) позволяют применить тауберову теорему для интегралов Фурье Б. М. Левитана (5). В результате можно доказать следующую теорему об асимптотическом поведении первых производных функций $\Theta_{ij}(x, s; \lambda)$ при $|\lambda| \to \infty$.

Теорема 1. Если коэффициенты системы (1) p(x) и r(x) таковы, что их производные первого порядка суммируемы в кажом конечном интервале, то при каждых фиксированных х и s и s при $t \to \infty$ справедливы асимптотические оценки

$$\left|\int_{-\infty}^{\infty} \left(1 - \frac{v^2}{\lambda^2}\right) dv \left\{ \frac{\partial \Theta_{ij}(x, s; v)}{\partial x} - \frac{\partial \Theta_{ji}^*(x, s; v)}{\partial x} \right\} \right| < C, \quad i, j = 1, 2,$$

где константа C зависит от интервала изменения x и s и не зависит от ℓ .

Опираясь на лемму 3 и вышеуказанную тауберову теорему для интегралов Фурье Б. М. Левитана можно доказать следующую теорему:

Теорема 2. Если функции p(x) и r(x) удовлетворяют условиям леммы 3, то при каждых фиксированных x и s и при $i. \to \infty$ сприведливы асимптотические оценки

$$\left|\int_{-\infty}^{\infty} \left(1 - \frac{v^2}{\lambda^2}\right)^n dv \left\{ \frac{\partial^n \Theta_{ij}(x, s; v)}{\partial x^k \partial s^l} - \frac{\partial^n \Theta_{ij}(x, s; v)}{\partial x^k \partial s^l} \right\} \right| < C. (k+l=n; i, j=1, 2).$$

где константа С зависит от интервала изменения х и s и не зависит от л.

Приношу глубокую благодарность Б. М. Левитану за постановку задачи, интерес к работе и обсуждение результатов.

Московский государственный университет им. М. В. Ломоносова

Ի. Ս. ՍԱՐԳՍՅԱՆ

Դիւակի միաչափ սիսոհմի սպեկուալ մաուիցի ածանցյալների ընդհանւացւած գումասումը

շոդվածում ուսումնասիրված է Դիրակի ստացիոնար միալափ սիստեմի սպեկտրալ մատրիցի ամանցյալների ասիմպտոտիկ վարջը, երբ սիստեմը տրված է $(0, \infty)$ կիստառանցրի վրա։

ЛИТЕРАТУРА-ТСИБИНЬВИНЬ

1 Э. Ч. Титчмарш, Proc. London, Math. Soc., (3), 11 (1961), 159—168. 1 Н. С. Саргенн, ДАН СССР (в печати), В. М. Люштан, Известия АН СССР, серия матем., 16 (1952), 325—352. В. А. Марченко, Труды Московского матем. общества, т. 1 (1952), 327—420. В. М. Левитан и И. С. Саргенн, Успехи матем. наук. 1, XV, 1 (91), (1960), 3—98.

РНОФИЗИКУ

В. М. Асланян, А. Г. Габриелян, М. А. Новоселер и Э. Г. Товмасян

Влияние ионной силы раствора на тепловую денатурацию ДНК

(Представлено академиком АН Армянской ССР. Г. X. Бунятяном I/VI 1965)

Хорошо известно, что повышение температуры приводит к существенному изменению нативной структуры дезоксирибонукленновой кислоты (ДПК) в растворе. Это изменение обусловлено разрушением водородных связей. Переход из спиральной конформации в клубкообразную известен под названием перехода спираль-клубок или денатурации ДПК.

В 1952 г. Шаком и Топсетом (1) было установлено, что интенсивность полосы поглощения ДНК с максимумом в области 260 мр относительно мала для нативной формы и велика для денатурированной. Явление это известно под названием гипохромного эффекта.

Процесс денатурации, прослеженный по гипохромизму, осуществляется в сравнительно узком температурном интервале, чем напоминает фазовые переходы. В отличие от истинного фазового перехода, плавление ДНК должно характеризоваться двумя параметрами—температурой плавления T_m и шириной интервала перехода ΔT . Температура плавления соответствует температуре, при которой половина мономерных единиц макромолекулы не принимает участия в образовании водородных связей. Очевидно, что температура плавления должна характеризовать стабильность спирали ДНК.

Исследованию тепловой денатурации ДНК посвящено большое количество работ. Повышенный интерес к тепловой денатурации объясняется рядом причии. Во-первых, очевидно, что процесс редупликации ДНК должен идти через полную или частичную денатурацию. Во-вторых, изучение денатурации вскрывает многие важные черты внутренней молекулярной структуры нуклеиновых кислот и расширяет наши представления о природе сил, стабилизирующих специфическую конфигурацию ДНК. В-третьих, исследование ренатурации позволяет судить о кинетике и этапах плавления ДНК.

Мы проводили детальное исследование изменений параметров T_m и ΔT с увеличением концентрации понов Na , связывая их с

определенными структурными изменениями и кооперативностью процесса. Кстати, изучению этих вопросов был посвящен ряд работ, но большая часть их была посвящена либо малым ионным силам до 0.1 M NaCl, либо значительным, выше 1 M NaCl. Промежуточная область ионных сил изучена явно недостаточно.

Переходы спираль-клубок прослеживались по ультрафиолетовому поглощению, весьма чувствительному к числу пар азотистых оснований, связанных водородными связями, и по вязкости, чувствительной к незначительным локальным изменениям структуры молекул.

Объектом наших исследований была ДПК тимуса теленка. Проводилось изучение температурной зависимости оптической плотности водных растворов ДНК в УФ-области при разных ионных силах на =259 mp. Измерения проводились на спектрофотометре СФ-4. Спектры поглощения были сняты для водных растворов ДНК в интервале ионных сил 0—0,4 M NaCl и для 1 M NaCl. Концентрация ДНК в растворах, уточненная спектрофотометрически, —40—1—1. Плавление ЛНК исследовалось двумя способами.

Первый способ. Раствор нагревался до заданной температуры, и после пятнадцатиминутного отжига снимался спектр поглощения. Затем раствор быстро охлаждался переключением кюветы ко второму термостату с постоянной температурой 25°С и снова измерялась оптическая плотность. Последующее нагревание того же раствора проводилось до более высокой температуры.

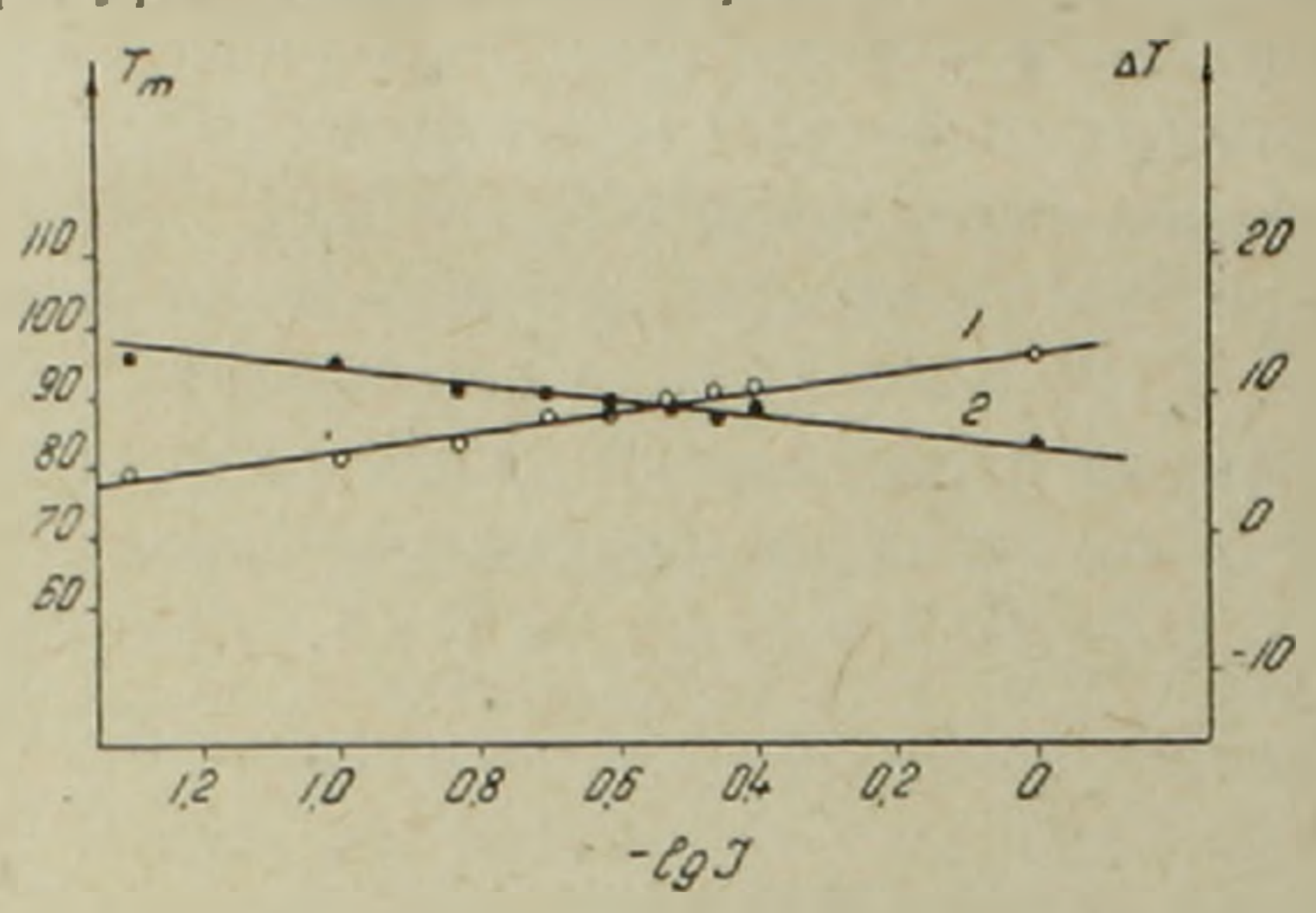
Второй способ. После нагревения до температуры $100^{\circ}-105^{\circ}$ С, раствор медленно охлаждался до 25° С и проводилось соответственно измерение оптической плотности. Охлаждение происходило вместе с термостатом до 25° С. Время охлаждения 6-7 часов.

Исследование температурной зависимости вязкости растворов ДНК проводилось на вискозиметре Оствальда с временем истечения растворителя порядка 110 сек. при температуре 25°C.

Параметры перехода спираль-клубок весьма чувствительны к монной силе раствора. Известно, что при добавлении ионов щелочных металлов в водный раствор ДНК, температура плавления T_m растет с ростом ионной силы, по крайней мере до 1,0 М содержания солей ($^{2.3}$). Нами проводилось систематическое исследование влияния ионов Na на параметры денатурации. С увеличением ионной силы раствора наблюдается значительное увеличение температуры плавления (фиг. 1). Так, для сравнения отметим, что при изменении ионной силы от 0.05 до 1 М NaCl, температура плавления изменяется более, чем на 16 С. Температура плавления определялась нами из кривой плавления как температура, соответствующая точке $\frac{1}{2}\left(\frac{D_T}{D_{25}}\right)_{\max}+1\right]$, т. е. по средней точке кривой плавления. Интервал перехода ΔT определялся по касательной в точке $T = T_m$. Увеличение температуры плав-

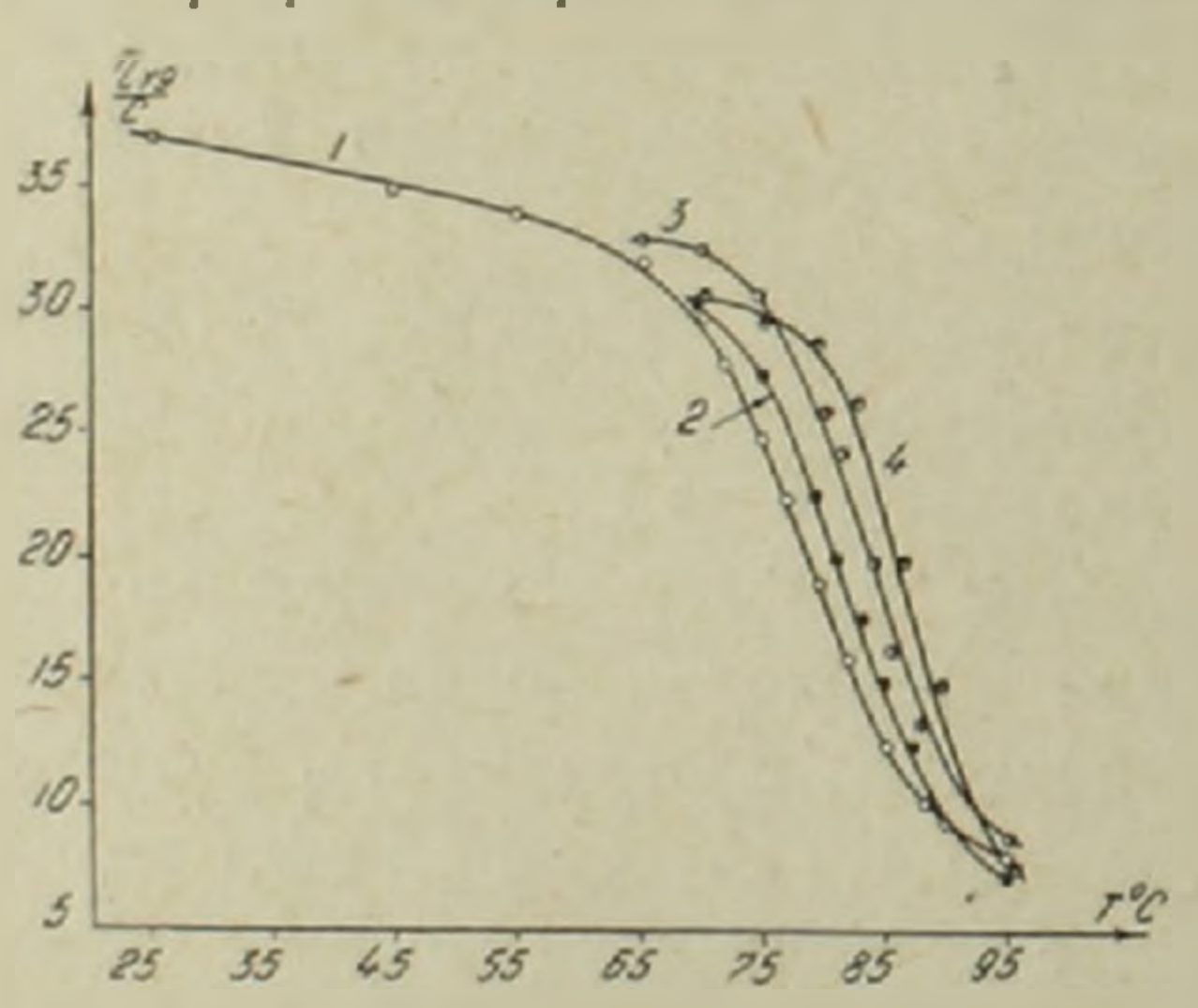
ления с повыщением ионной силы может быть объяснено экранированием отрицательно заряженных фосфатных групп нонами Na, что приводит к понижению энергии электростатического отталкивания между цепями двухтяжевой спирали ДНК, а, следовательно, к увеличению температуры плавления.

Нами была исследована зависимость вязкости солевых растворов ДНК от температуры. Общий ход кривых, в основном, напоминает



Фиг. 1. Зависимость температуры плавления ДНК T_m (кривая 1) и интервала плавления ΔT (кривая 2) от логарифма ионной силы.

кривые гипохромного эффекта, с тем только отличием, что здесь в той же области температур вязкость раствора уменьшается. Температуры плавления ДНК, полученные вискозиметрически (фиг. 2) и спектрофотометрически совпадают. При этом вязкость начинает из-



Фиг. 2. Температурная зависимость приведенной вязкости растворов ДНК следующих ионных сил: 1—0,05; 2—0,10; 3—0,15; 4—0,2 (концептрация ДНК—

$$-60\frac{\gamma}{MA}$$
).

меняться уже при относительно низких температурах. Как уже отмечалось выше, это, по-видимому, определяется тем, что вязкость чувствительна к небольшим локальным изменениям структуры, способным увеличить гибкость макромолекулы и облегчить ее сворачивание в статистический клубок. Этн изменения, возможно, возникают из-за разрыва относительно небольшого числа водородных связей. которое невозможно определить спектрофотометрически. О существовании структурных изменений такого рода свидетельствуют и независимо проведенные микрокалориметрические измерения (4).

Благодаря небольшим локальным структурным изменениям макромолекула ДНК приобретает дополнительные степени свободы, при этом ориентация азотистых оснований практически может и не изменяться. Согласно же теории Тиноко (5), гипохромизм определяется именно взаимной ориентацией боковых азотистых оснований так что спектрофотометрия является лишь косвенным методом определения числа разорванных водородных связей. Следует отметить, что о небольших структурных изменениях при низких температурах свидетельствует и метод динамического двойного лучепреломления в потоке.

Как спектрофотометрическое, так и вискозиметрическое изучения денатурации ДПК свидетельствуют о повышении стабильности макромолекул с увеличением концентрации ионов Na. В самом деле, как видно из фиг. 1, температура плавления спиралей линейно зависит от логарифма ионной силы, что находится в полном согласии с имеющимися литературными данными (2) и теоретическими представлениями Уолкера (6). При относительно низких ионных силах зависимость температуры плавления от концентрации ионов имеет вид (6): $T_m = A + B \log I$, где A и B—константы. Очевидно, что температура плавления должна расти по мере уменьшения числа свободных зарядов на молекуле ДПК. Теоретический подсчет максимального значения температуры плавления для незаряженной ДПК дает 98 С (6).

Вместе с исследованием влияния понной силы на стабильность молекул (на температуру плавления), нами изучалось влияние концентрации ионов Na на интервал перехода спираль-клубок в ДНК. Из фиг. 1 видно, что интервал перехода уменьшается с ростом нонной силы. Эта зависимость аналитически может быть представлена в виде $\Delta T = -a \lg I + b$, где a и b — положительные постоянные величины. Денатурация происходит хотя и в узком, но конечном интервале температур. Последнее означает, что плавление двухтяжевой спирали ДНК не есть истинно фазовый переход. Небольшие значения 47 свидетельствуют о том, что процесс перехода спираль-клубок кооперативен. Строго говоря, кооперативный характер плавления обусловлен значительной зависимостью изменения свободной энергии молекулы при образовании водородной связи в соседних с ней мономерных единицах. Эта кооперативность носит, по-видимому, чисто энтропийный характер. Действительно, разрыв водородных связей одной пары оснований энергетически невыгоден. Повышение энергии молекулы не может быть скомпенсировано увеличением энтропии, так как свободная от водородных связей пара оснований не получила достаточного количества степеней свободы из-за связанности соседних оснований в цепи. Для того, чтобы процесс плавления был бы термодинамически выгоден, одновременно должно разорваться большое число водородных связей, что приводит к значительному выигрышу энтропии, способному перекрыть проигрыш в энергии разорвавшихся водородных связей. Очевидно, что чем уже интервал перехода, тем больше степень кооперативности процесса. Тогда с увеличением понной силы раствора возрастает степень кооперативности перехода спираль-клубок.

Уменьшение интервала плавления с ростом ионной силы раствора может быть объяснено следующим образом. Ионы Na[†], находя щиеся у заряженных фосфатных групп, могут рассматриваться как скрепки между полипептидными цепями. В работе ([†]) приведены теоретические выражения для изменения температуры и интервала плавления:

$$\delta T_m = 2 \frac{p-1}{p+1} \frac{T_0^2}{U} c, \tag{1}$$

$$\partial \Delta T = 4 \left(\frac{p-1}{p+1}\right)^2 \frac{T_0^2}{U} c.$$
 (2)

 δT_m и δT есть изменения температуры и интервала плавления спирали ДНК, T_0 — температура плавления для ДНК без скрепок; $p=e^{\Delta T}$ где Δ — свободная энергия, добавляемая скрепкой к энергии связи пары нуклеотидов, а температура T выражена в энергетических единицах; U — средняя энергия связи пары нуклеотидов при отсутствии скрепок. Выражения (1) и (2) позволяют установить прямую связь между δT_m и $\delta \Delta T$:

$$\partial \Delta T = 2 \frac{p-1}{p+1} \partial T_m. \tag{3}$$

Здесь можно считать, что p заведомо меньше единицы, так как теоретическая обработка результатов работы (*) по рН-плавлению ДНК свидетельствует о том, что при низких рН, т. е. большой концентрации ионов [H], параметр $p \approx 0$. Отметим, что согласно (*) кооперативность перехода растет с увеличением концентрации H. Если же p < 1. то выражение (3) приводит к отрицательным значениям $6\Delta T$, т. е. с повышением температуры T_m сужается интервал плавления ΔT (фиг. 1).

Теоретический учет взаимодействий дальнего порядка при оценке изменения свободной энергии перехода спираль-клубок, проведенный О.Б. Птицыным (9) также приводит к сужению интервала плавления. Очевидно, что силы дальнодействия весьма существенны для полиэлектролитов, где они носят характер кулоновского отталкивания. Поскольку в нативном состоянии макромолекулы ДНК - достаточно жесткие образования, то их флюктуационное изгибание существенно затруднено. Поэтому взаимодействием дальнего порядка для нативной структуры ДНК можно пренебречь. В основе денатурации ДНК лежит тот факт, что состояние макромолекулы, в котором нуклеотиды участвуют во внутримолекулярных водородных связях. является энергетически более выгодным, тогда как клубкообразное состояние выгоднее энтропийно из-за гибкости макромолекулы. А это значит, что свободные энергии этих состояний различным образом меняются при изменении температуры. Температуре перехода T_m соответствует равенство свободных энергий двух состояний. Термодинамическая выгодность процесса плавления молекул определяется величной изменения свободной энергин при плавлении двойной спирали. Изменение свободной энергии есть

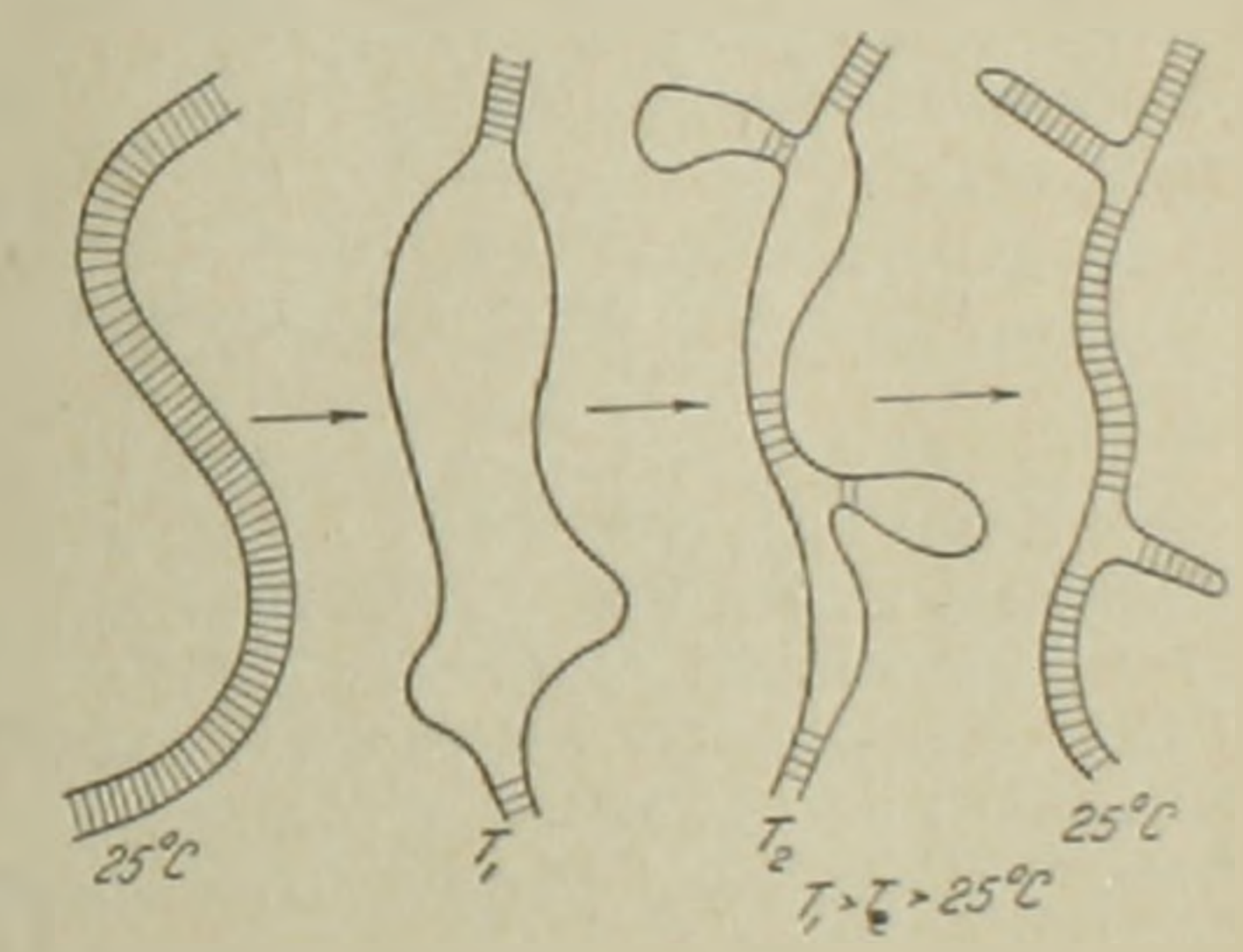
$$\Delta F = F_{\rm ka} - F_{\rm cn}, \tag{14}$$

где $F_{\kappa \tau}$ и $F_{c \tau}$ — свободные энергии клубкообразного и спирального состояний. В случае, когда молекула заряжена, свободная энергия клубкообразного состояния возрастает. В то же время с достаточной точностью можно считать, что свободная энергия спирали не зависит от степени нонизации. Следовательно, по мере повышения степени нонизации молекул возрастает изменение свободной энергии ΔF , а это означает, что затрудияется процесс перехода спираль-клубок. Последнее обстоятельство должно приводить к уширению интервала плавления с уменьшением ионной силы раствора.

Наконец, хотелось бы остановиться еще на одном факте. Интервал плавления, по-видимому, зависит от режима нагревания. Более резкий (на 3—4°С) кооперативный характер перехода при непрерывном режиме нагрева можно объяснить, исходя из теории влияния сил дальнодействия на денатурацию ДНК (°). При денатурации спиралей ДНК имеется температурная область, в которой полное разделение нитей молекул ДНК термодинамически невыгодно, а частичное—выгодно, т. е. денатурация проходит в два этапа. На первом этапе образуются частично денатурированные петлеобразные структуры, на втором же—происходит полное разделение цепей. При нагревании с

возвратом очевидно, что когда мы находимся в температурной области, соответствующей первому этапу, то при охлаждении до 25°С в восстановленной структуре могут возникать ошибки (фиг. 3).

Образовавшиеся петли обладают большей гибкостью, чем спиральная структура. Благодаря этой гибкости некоторые части в процессе флуктуационного изгибания цепей могут сближаться. По-этому в процессе понижения



фиг. 3. Схема образования ошибочных структур (пинилект) в молекулах ДНК при охтаждении.

температуры между случайными комплементарными основаниями могут образоваться водородные связи, что должно приводить к ошнокам в восстановленной структуре. Вероятность возникновения таких шпилек возрастает с увеличением размеров петель, что зависит от температуры, до которой был нагрет образец. Поскольку кооперативность процесса существенно зависит от молекулярного веса ДПК при малых М, то, очевидно, что кооперативность перехода в небольших шпильках будет отличаться от кооперативности перехода основной

цепи, что должно приводить к уширению температурного интервала плавления. Следует отметить, что образование этих шпилек не может быть определено спектрофотометрически, так как число невосстановленных водородных связей очень мало по сравнению с полным числом их. Поэтому УФ-поглощение структур 1 и 4 (фиг. 3) будет практически неотличимо.

В заключении авторы приносят свою искреннюю благодарность В. И. Воробьеву и его сотрудникам за предоставление препаратов ДНК.

Вычислительный центр Академии наук Армянской ССР и ЕрГУ

Վ. Մ. ԱՍԼԱՆՅԱՆ, Ա. Գ. ԳԱՔՐԻԵԼՅԱՆ, Մ. Ա. ՆՈՎՈՍԵԼԵՐ Ե Է. Գ. ԹՈՎՄԱՍՅԱՆ

Լուծույթի իոնական ուժի ազդեցությունը Դ'ՆԹ-ի չեռքային դենա-«ուռացիայի վռա

Ուսումնասիրված է Na իոնների ազդեցությունը ԴՆԻ-ի Հալման ջերմաստիձանի է Հալման ինտերվալի վրա։ Ցույց է տրված, որ հալման ջերմաստիճանը աձում է գծայնորնն իոնական ուժի լոգարիթնվի աձման հետ, այսինքն ԴՆԻ-ի կայունությունը աձում է հետի կոնցենտրացիային զուգրնթաց։ Միևնույն ժամանակ հալման ինտերվալը փոքրանում է Վերջինս նշանակում է, որ իոնական ուժի աձման հետ աձում է նաև պարույր-կծիկ անցման կոպերատիվության աստիճանը։ Հայման կոպերատիվությունը կախված է նաև տաքացման ռեժիմից Հաստատված է, որ մածուցիկությունը բավականաչում, լդայուն է ԳՆԻ-ի ստրուկությունը աննչան փոփոկությունի լդայուն է ԳՆԻ-ի ստրուկությունը աննչան փոփոկությունների նկատմամբ։

ЛИТЕРАТУРА— ЧРИЧИБОТРВЗОВЪ

¹ И. Шак, Дж. Томпсетт, J. Biol. Chem., 197, 17 (1952). ² У. Ф. Дов, Г. Девисон, J. Mol. Biol., 5, 467 (1962). ¹ И. Н. Аксенова, В. И. Воробьев, В. П. Кушнер, "Биохимия", 29, 161, 1964. ³ П. Л. Привалов, К. А. Кафиани, Д. Р. Монаселидж, ДАН СССР, 156, 951 (1964). ⁵ И. Тиноко, J. Ат. Chem. Soc., 82, 4785 (1960). ⁴ И. О. Уолкер, Biochim. Biophys. Acta, 88, 407 (1964). ⁷ М. Д. Франк-Каменецкий, ДАН СССР, 157, 187, 1964. ⁸ Б. И. Сухоруков, Ю. Ш. Мошковский, Т. М. Бирштейн, В. Н. Лысцов, "Биофизика", 8, 294, 1963. ⁹ О. Б. Птицын, "Биофизика", 7, 257, 1962.

БИОНИКА

Б. С. Сотсков, чл.-корр. АН СССР, Л. С. Гамбарян и С. О. Мкртчян

К вопросу надежности мозга

(Представлено академиком АН Армянской ССР А. Л. Шагиняном 5 XI 1965)

Проблема построения сложных и одновременно высоконадежных радиоэлектронных систем является одной из острых проблем современной техники, и в настоящее время, наряду с применением различных способов для повышения надежности сложных систем, ищутся принципиально новые пути решения этой проблемы. Поэтому за последние годы в связи с бурным развитием бионики все больше внимания уделяется исследованию надежности мозга высших позвоночных животных и человека, поскольку живой мозг также является системой обработки информации, к тому же более сложной и надежной. Высокая надежность мозга очевидна, поскольку он десятки лет функционирует безотказно, причем в изменчивой внутренней и внешней информационной и физической среде, даже при наличии значительных повреждений в его отдельных участках.

Естественно, возникает вопрос какова и как оценивать надежность мозга и его функциональных элементов—нейронов? Количественный анализ надежности мозга в целом пока практически неразрешимая задача из-за чрезвычайной сложности его структурно-функциональной "архитектуры", многие стороны которой остаются пока неизученными. Но имеющиеся данные современной нейрофизиологии об отдельном нейроне (нервной клетке) позволяют приближенно оценить его належность.

Нейрон является основным функциональным элементом мозга. Правда, в мозге имеются также глиальные клетки, но в функциональном плане они, по-видимому, играют второстепенную роль. В мозге нейроны образуют различные рефлекторные аппараты, нервные анаманрующие центры, нервные сети регулирования жизненных констант организма и т. д., и нейрон некоторой сети возбуждаясь или не возбуждаясь (торможение) выполняет ту или иную функцию. По-этому в заданной ситуации вероятность проведения возбуждения нейроном в определенной степени будет характеризовать его функциональную надежность. Возбуждение нейрона имеет вероятностный мрактер, поскольку в данный момент на него поступает множество

подпороговых возбуждающих и тормозящих импульсов, причем флук. тунруют как параметры этих импульсов, так и пороги возбуждения синапсов.

Таким образом, за критерий надежности нейрона принимается полная вероятность проведения возбуждения от синаптических контактов (входа) до концевых бляшек аксона (выхода). Рассматриваются ошибки двух видов: а) пропадание импульса (отрицательная ошибка), б) генерация ложного импульса (положительная ошибка).

Для простоты рассматривается только аксо-соматическая связь между нейронами. Процесс проведения возбуждения нейроном условно можно разделить на два последовательные этапы: 1) синаптическая передача возбуждения и генерация постсинаптического потенциала (ПСП) действия; 2) проведение по аксону генерированного импульса. Согласно современным представлениям нейрофизиология о химическом механизме синаптической передачи возбуждения (1,2), под воздействием поступающего импульса из концевой бляшки в синаптическую щель выделяется химическое вещество (медиатор), которое, проходя через щель и связываясь с хеморецепторами, деполяризует постсинаптическую мембрану клетки (сомы). Если величина деполяризации ($^{\Delta}U$) превышает некоторое критическое значение U_0 (порог), то возникает ПСП действия, который распространяется по аксону. При этом вероятность синаптической передачи (P_e) есть вероятность того, что $^{\Delta}U > U_0$

 $P_c = P (\Delta U > U_0)$ или $P_c = P (0 < U_0 < \Delta U)$.

Предполагая, что скорости секреции и гидролиза медиатора являются постоянными, и синаптическая щель имеет правильную форму (цилиндр), процесс выделения медиатора можно описать следующим дифференциальным уравнением:

$$\frac{dQ}{dt} + \beta VQ = \alpha US, \tag{1}$$

где Q — количество медиатора, достигшего постсинаптической мембраны и деполяризующей ее,

U — амплитуда возбуждающего импульса,

S — синаптическая поверхность бляшки,

V — объем синаптической щели (V = Sh),

скорость выделения (секреции) медиатора,

3 — скорость разрушения (гидролиза) меднатора.

Решая это уравнение с начальным условием Q(0) = 0, получи

$$Q = \alpha US^{\frac{1}{2}} \left[1 - \exp\left(-\frac{t_n}{\tau}\right) \right],$$

где t_u — длительность возбуждающего импульса,

$$\tau = \frac{1}{3Sh}$$

Принимая линейную зависимость между количеством выделенного медиатора и величиной деполяризации постсинаптической мембраны получим

$$\Delta U = \gamma_2 U S: \left[1 - \exp\left(-\frac{t_u}{2} \right) \right]. \tag{2}$$

Порог возбуждения непрона флуктупрует во времени как из-за флуктуации частоты миниатюрных спонтанных разрядов в синапсе (). так и из-за флуктуаций параметров физиологической среды. Если допускать, что флуктуации порога подчиняются нормальному (Гауссовому) закону распределения со среднеквадратичным отклонением за, то Рс выразится через функцию Лапласа следующей формулой

$$P_{c} = \frac{1}{2} \left[\Phi \left(\frac{\Delta U - \overline{U}_{0}}{z_{0} + 2} \right) + \Phi \left(\frac{\overline{U}_{0}}{z_{0} + 2} \right) \right]$$
 (3)

где U_0 — математическое ожидание величины порога.

Зная параметры синапсов и импульсов и подставляя в нышеприведенные формулы можно определить ΔU , а затем P_c .

Для определения вероятности аксонального проведения (P_a) за основу принимается концепция II. Тасаки о скачкообразном проведении возбуждения по волокну (4) и мембранная теория проводимости (5,6). Предполагается, что перехваты Ранвье на волокне возбуждаются последовательно и независимо. Допуская, что флуктуации фактора безопасности (†)* подчиняются нормальному закону распределения со среднеквадратичным отклонением зу можно определить вероятность (Р) передачи возбуждения с данного перехвата к соседнему

$$P_{j} = P(1 < f < \infty) = \frac{1}{2} \left[1 + \Phi\left(\frac{\bar{f} - 1}{\sigma_{j}\sqrt{2}}\right) \right].$$
 (4)

где f — математическое ожидание величины фактора безопасности. Принимая, что на аксоне имеются Л перехватов и параметры аксона вдоль его длины не меняются, для вероятности аксонального проведения получим следующую формулу

$$P_{a} = (P_{I})^{N} = \left\{ \frac{1}{2} \left[1 + \Phi\left(\frac{\bar{f} - 1}{z_{I} V^{2}}\right) \right] \right\}^{N}, \tag{5}$$

или, выражая f и N через параметры аксона,

$$P_{a} = \left\{ \frac{1}{2} \left[1 + \Phi \left(\frac{B - l}{l \sigma_{f} V} \right) \right] \right\}^{\frac{L}{T}}. \tag{6}$$

где В — постоянная, зависящая от днаметра аксона, удельного противления плазматической мемораны, возоудимости волокна и т. д.,

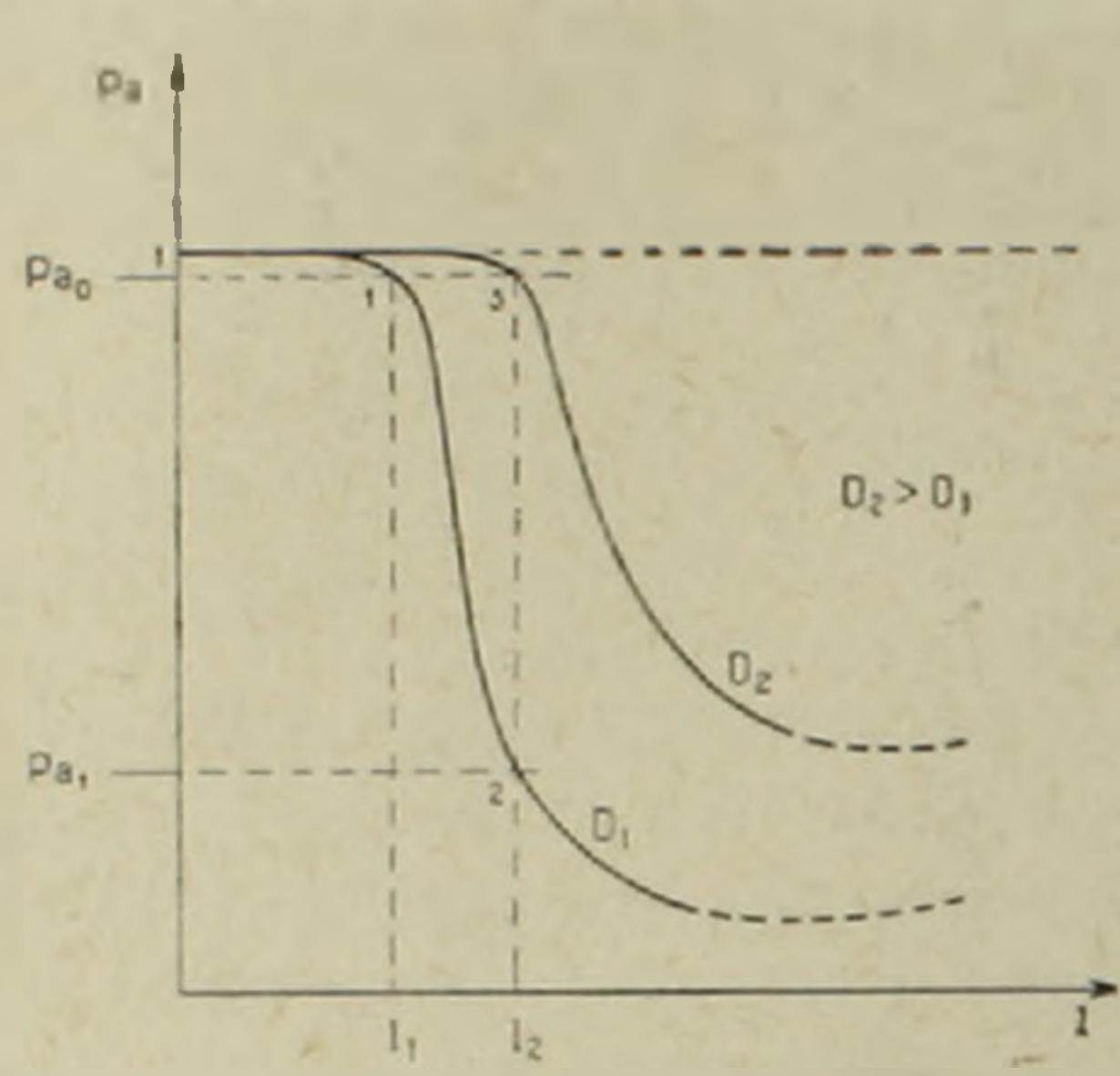
L — общая длина аксона.

1 — расстояние между перехватами.

По этой формуле можно определить аксональную надежность подставляя значения параметров аксона и позьзуясь таблицей

^{*} Фактор безопасности (f) — это отношение величины генерированного в данном перехвате импульса к порогу возбуждения перехвата () 207

функцим Лапласа. На фиг. 1 показаны кривые зависимости аксональной надежности (P_a) от межперехватного расстояния (I), построенные по формуле (6), для различных значений диаметра волокна (D). Видно, что с уменьшением I надежность волокна увеличивается. Следовательно при прочих равных условиях надежность безмиелиновых



Фиг. 1. Зависимость аксональной надежности от межперехватного расстояния (оси координат взяты в логарифмической шкале).

волокон ($l = l_n$, где l_n — ширина перехвата Ранвье) выше надежности волокон, покрытых миелиновой оболочкой.

В нейрофизнологии известно, что волокна афферентных и эфферентных путей являются миелиновыми, имеют большой диаметр (до 20µ) и чем толще аксон, тем больше межперехватное расстояние, а волокна ряда отделов центральной и периферической нервной системы тонкие и в большинстве случаев не имеют миелиновой оболочки. Эти факты можно интерпретировать на фиг. 1 следующим образом. Поскольку чем больше 1, тем больше

скорость распространения импульса (это легко можно доказать), то природе понадобилось в афферентных и эфферентных путях в течение эволюции увеличить l, чтобы увеличить скорость передачи сигнала от рецепторов в центр и наоборот. С другой стороны для выживания организма необходимо, чтобы надежность волокна была жиже некоторого допустимого значения P_{a_0} (точка l на фиг. 1). Но увеличение l приводит к уменьшению надежности волокна (P_{a_1} , точка l). Поэтому, чтобы поднять надежность волокна до допустимого уровня (точка l), природе понадобилось с увеличением l увеличить также D.

Зная P_c и P_a можно определить полную надежность нейрона Допустим, что нейрон имеет n входов (синапсов), и для возбуждения нейрона необходимо, чтобы одновременно были возбуждены и менее Θ синапсов. Тогда вероятность возбуждения нейрона будет

$$P_{n} = \sum_{i=0}^{n} C_{n}^{i} \mu^{i} (1-\mu)^{n-i}, \qquad (6)$$

где $u = P_c (1 - q_-) - (1 - P_c) q_-$

 q_- — вероятность отрицательной ошибки ($q_-=1-P_a$ (f>1)).

q — вероятность положительной ошибки (q=P(f-1)), а полная надежность нейрона будет

$$H = 1 - q_{-} - P_{H} (q_{-} - q_{-}). \tag{8}$$

Принимая n=500 и $\Theta=20$, что вполне допустимо для мотоней ронов согласно Экклсу и др., и подставляя средние значения пара 208

иетров синапсов и аксона мотонейрона в вышеприведенные формулы получаем: $q=\approx 0.05$, $q\approx 0.01$, $\mu\approx 0.066$,

$$P_H = 1 - \sum_{l=0}^{19} C_{500} \, \mu^l \, (1-\mu)^{500-l} \approx 0.99 \, \text{H} \, H \approx 0.61.$$

учитывая погрешности вычислений можно принимать, что надежность нейрона находится в пределах 0,9 - 0,99.

Если сравнивать эту цифру с надежностью элементов радноэлектронных систем, то станет очевидным насколько надежность нейронов низкая. Но несмотря на такую низкую надежность нейронов отдельные рефлекторные механизмы мозга, состоящие из тысячи нейронов, или мозг в целом, который имеет примерно 17 миллиардов нейронов, функционируют с надежностью, практически равной единице. То есть мозг является очень сложной и одновременно очень надежной системой, построенной из малонадежных элементов. Благодаря чему достигается это, в чем секрет надежности мозга? На этот вопрос, наряду со многими другими вопросами, намеревается отвечать бионика.

В настоящее время можно лишь отметить, что проблема надежности мозга имеет разные аспекты: структурные, функциональные и информационные, и что высокая надежность мозга обусловлена различными факторами, среди которых одним из основных является специфическая организация системы в целом.

Можно ожидать, что изучение принципов структурной и функциональной организации ЦПС и выявление основных "источников" надежности мозга подскажут много плодотворных и полезных идей для создания сложных и одновременно надежных самоорганизующихся систем, высокая надежность которых, как и надежность мозга, является "врожденной" благодаря их специфическим свойствам и способностям обработки информации.

ը, ու որջորդը, որըն եր բոլրակից-անդամ, է, ու Ղարբաբցուն և ու և արբջջջուն

Ուզեղի հուսալիության հաշցի շոււջը

Հորվածում հաշվարկվում է ուղեղի ֆունկցիոնալ տարրի-նելրոնի (ներվային րջջի) հուսալիությունը, որպես հուսալիության չափանիշ ընդունելով նեյրոնի կողմից սիգնալի հաղորդման լրիվ ավանականությունը, որը բաղկացած է երկու բաղադրիչներից. ա) սինապսի (СККЗПС) անցման ավանականությունը, բ) ակսոնի (ЗКСОН) հաղորդման հավանականությունը։ Այդ հավանականությունները հաշվելու համար հիմք են ընդունվում ժամանակակից նեյրոֆիզիոլոգիայում հայտնի պինապսում իմպուլսի անցման քիմիական մեխանիզմի տեսությունը և ակսոնում դրզոման իմպուլսի թոիչըուձև տարածման տեսությունը։

ЛИТЕРАТУРА-ЧРИЧИБОБРЗОБЬ

¹ Дж. Экклс, Физнология нервных клеток, ИЛ, М., 1959. ² Л. G. Eccles. The physiology of synapses, Berlin, 1964. ³ Б. Кати, Механизм синаптической переда и. Современные проблемы биофизики, т. П. И.І. М. 1964. ⁴ И. Тасаки, Проведение нервного импульса, ИЛ. М., 1957. ⁵ Г. Ю. Белицкий, Ионные механизмы основных нервных процессов, М., 1958. ⁶ Л. М. Чайлахян, Импедансный спайк на нерве лягушки, Биофизика*, т. 2, вып. 5, 1957.

The state of the s

БИОХИМИЯ

А. А. Галоян и Р. М. Срапионян

Об очистке коронарорасширяющего белка, выделенного из гипоталамуса

(Представлено академиком АН Армянской ССР Г. X. Бунятяном 13/VII 1965)

Одним из нас (1) из гипоталамуса свиней и крупного рогатого скота был выделен белок, обладающий коронарорасширяющим влиянием. Ранее выделенные коронароактивные полипептиды (2) по нашему мнению не прочно связаны с данным белком.

Задачей настоящего исследования было разделение и очистка водорастворимого белка (фракция 4) с целью получения коронароактивного белка в индивидуальном виде.

Водорастворимые белки мозга были выделены и изучены электрофоретически на агар-агаре в лаборатории А. В. Палладина (³⁻⁵). Относительно водорастворимых белков гипоталамической части мозга в литературе нет данных.

Опыты были поставлены с гипоталамусами свиньи, барана, крупного рогатого скота. Извлекали мозг из только что убитых животных, готовили водный гомогенат (1:2), а затем путем центрифугирования при 9000 об/мин. получали экстракт, из которого фракционировали водорастворимые белки путем высаливания с помощью сернокислого аммония разной концентрации. В центрифугат добавляли сернокислый аммоний до 0,2 насыщения, оставляли на час при 0°С, после чего центрифугировали, полученный при этом осадок растворяли в небольшом количестве веронал-мединалового буфера, рН-8,6, а в центрифугат добавляли сернокислый аммоний для дальнейшего фракционирования при 0°С. Осадки диализовывали в течение 48 час., причем вначале против дистиллированной воды, а затем против веронал-мединалового буфера. После диализа производили лиофильную сушку и полученные порошки подвергали электрофорезу на агар-агаре. Разделение белковых веществ электрофоретическим методом на агаровом геле впервые описано Гордоном и сотрудниками (6), а в дальнейшем Грабаром (1)-Оптимальные условия для разделения водорастворимых белков мозга были разработаны Н. М. Поляковой (8).

Готовили 3—4-процентный раствор лиофилизированного белка на веронал-мединаловом буфере, pH—8,6, с ионной силой 0,0125. В же-

лобки, вырезанные в агаровом геле, вносили 0,1-0,12 мл белкового раствора. Электрофорез длился 7 час. при градиенте потенциала з осм, силе тока 0,3 МА на 1 см поперечного сечения. Пластинки после электрофореза помещали в 2-процентную уксусную кислоту, затем высушивали и окрашивали амидошварцем 10 В. Результаты электрофореза количественно оценивались как прямым деистометрическим измерением окрашенных пластинок, так и химическим методом определения количества белка в элюатах по Лоури (°). Вырезанные полоски агара сразу же после электрофореза помещали в центрифужные стаканы, замораживали в смеси сухого льда и ацетона и центрифугировали в течение 30 мин. при 8000 об мин. При оттанвании агар расслаивался на твердую фазу и жидкую, состоящую из буфера и элюируемого белка, осадок агара вновь заливали вероналмединаловым буфером до половины исходного объема, размешивали стеклянной палочкой, пока весь раствор превращался в гель. При повторном замораживании и центрифугировании геля извлекали оставшуюся часть белка. После чего всю жидкость концентрировали выпариванием при низких t, а в полученных концентратах определяли белок по Лоури (°) и исследовали биологическую активность в отношении коронарного кровообращения по методу Н. В. Кавериной (10).

Опыты ставились на кошках под уретановым наркозом и определяли количество крови, оттекающей из венозных сосудов сердца за

единицу времени.

Вначале определяли активность белковой фракции (лиофилизированного порошка), а после ее обнаружения производили электрофоретическое разделение данной фракции, и в элюатах разделившихся фракций также определяли активность в отношении коронарного кровообращения.

После высаливания белкового экстракта сульфатом аммония, методом, описанным нами ранее (2), получены 5 фракции, из которых 4-ая белковая фракция оказалась активной в отношении коронарного кровообращения. А при более дробном высаливании белкового экстракта сернокислым аммонием по формуле

$$X = \frac{0.1 \ G \left(S_2 - S_1\right)}{1 - \frac{VG}{1000} \cdot S_2}$$

удалось выделить из гипоталамуса 10-13 фракций.

Х -- вес соли, выраженный в граммах.

 S_1 — степень насыщения (предыдущая).

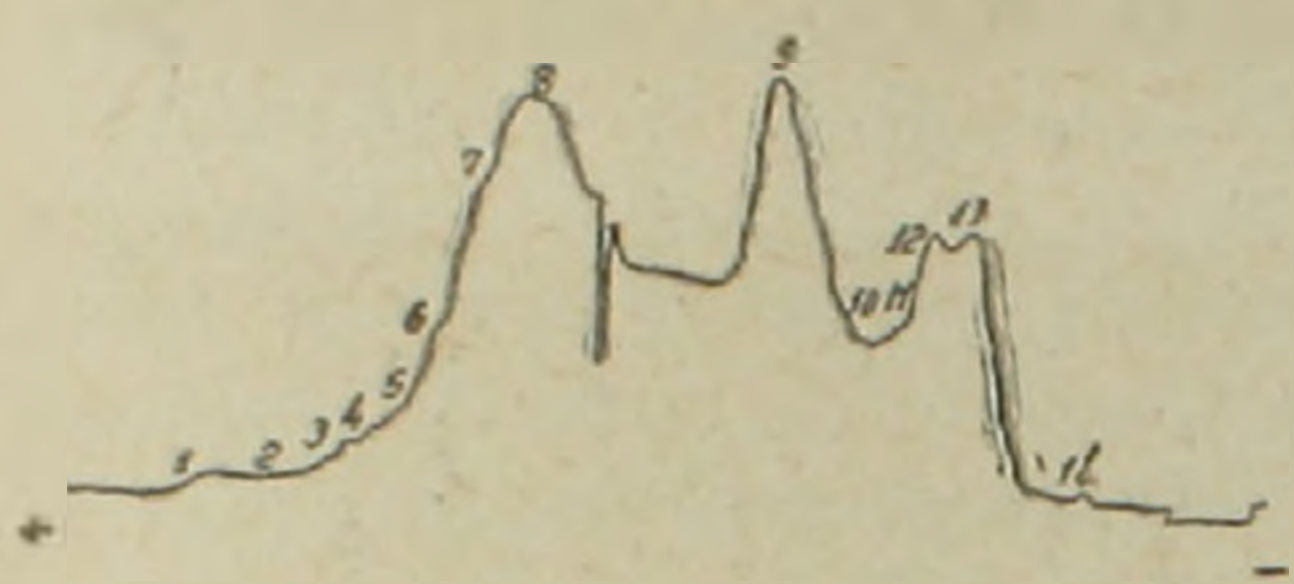
 S_2 — степень насыщения (настоящая),

6 - количество (г) сернокислого аммония в 1000 ил насыщенного раствора,

V — кажущийся удельный объем сернокислого аммония в насыщенном растворе.

В настоящей статье приводятся данные о разделении электрофорезом на агаровом геле 4-ой белковой коронароактивной фракции выделенной первым способом (2).

Визуально на электрофореграмме обнаружены 8 фракций, из



фиг. 1. Деиситометрическая кривая растворимых белков гипоталамуса, высоленных при 0,4 насыщении сульфатом аммония.

коих 6 фракций направляются в сторону отрицательного полюса, а две—в сторону положительного полюса. Однако, при денситометрировании электрофореграмм выявляется до 14 фракций. Опыты показали, что активная фракция двигается к положительному полюсу. На денситометрической кривой, изображенной на фиг. 1 ей соответствует 6, 7, 8-ая фракции. Эти

данные показывают, что выделенный нами белок является гетерогенным.

После внутривенного введения этой активной фракции кошкам через 5-6 мин. отмечается увеличение количества крови, оттекающей из венозных сосудов сердца на 100° . Этот эффект продолжается 35 мин., а через 60 мин. увеличение количества крови достигает до 200° , что продолжается в течение 1.5-2 часов и более. За весь период опыта у животных не наблюдалось заметного изменения кровянного давления.

У некоторых кошек наблюдается незначительное падение кровяного давления, но у большинства животных кровяное давление почти не изменяется. Следует отметить, что частичная очистка 4-ой белковой фракции электрофоретическим методом приводит к некоторым изменениям характерного для 4-ой фракции влияния на сердце. Таким образом, электрофоретическим методом удается разделить 4-ую белковую фракцию на ряд белковых фракций, из которых одна является коронароактивной.

Выводы 1. Белки гипоталамуса, выделенные сернокислым аммонием в зоне 0,3—0,4 насыщения, электрофорезом на агаре делятся на 14 фракций.

2. Фракция, двигающаяся к положительному полюсу имеет коронарорасширяющее свойство.

3. После внутривенного введения кошкам элюата данной фракции количество крови, оттекающей из венозных сосудов сердца через 5—6 минут резко увеличивается и этот эффект продолжается в течение 60—90 минут. При этом кровяное давление у большинства животных не подвергается заметным изменениям.

4. Результаты опытов показали, что 4-ая белковая фракция не

является гомогенной.

Институт биохимии Академии наук Армянской ССР

Հիպոթալամուսից անջառված պսակաձև անորները լայնացնող սպիտակուցի մաքրման մասին

յանուն ցրութ գրութ։

«հետանում է առարային շետոնարու արտարացը արակրը և անրանըով ոտիտակուցային փետինիար արանությանը և առարարությանը արանությանը արևարին արևար

ֆորձևրի **արդյունքննրը պարզնցին**, որ ակտիվ սպիտակուցը բաժանվում լ 14 ֆրակցիա-

ծերի, որոնցից մեկը՝ դեպի դրական բևհոր գնացողը, պսակաձև անոնները լայնացնումէ

ЛИТЕРАТУРА— ԳРИЧИКОВЬ В В П Б Г

1 А. А. Галоян, ДАН АрмССР, т. 38, № 5, 305 (1964). 2 А. А. Галоян, "Известия АН АрмССР", т. 16, № 1 (1963). 3 Н. М. Полякова и В. К. Лешко, Укр. биожим. журн., т. 34, № 10 (1962). 4 А. В. Палладин, Физиол. журн. СССР, т. 23, 727 (1947). 5 Н. М. Полякова и М. К. Малишева, ДАН, т. 144 1394. (1962). А. Г. Гордон и др., Coll. Tr. Chim. Tehecosl., 15, 1, 1950. 7 П. Грабар и П. Буртэн, Иммунноэлектрофоретический анализ, изд. иностр. лит. М. 1963. 8 Н. М. Полякова. Ш Всесоюзная конференция по биохимии н. с. Сб. докладов под редакцией А. В. Палладина и Г. Х. Бунятяна 25, 1963. 9 О. Г. Лоури и др., Л. Віол. сhem., 193, 265, 1961. 19 Н. В. Каверина, Фармакология и токсикология, 1, 39 1958. 11 Г. Н йрат и К. Бзйли, Белки, том 1, изд-во инос. лит. 1959.

ГЕОХИМИЯ

В. В. Папразян

Инфракрасные спектры хроматографических фракций битумондов*, экстрагированных из пород октемберянской толщи

(Представлено академиком АН Армянской ССР С. С. Мкртчяном 25/X1 1965)

Геохимическое исследование рассеянного органического вещества базируется на ряде методов, позволяющих с различной степенью точ пости охарактеризовать состав органического вещества и его компонен тов и восстановить условия его преобразования на разных стадиях существования вмещающих пород.

Инфракрасный спектр поглощения является уникальной физической характеристикой соединения и поэтому в настоящее время представляется обязательной составной частью комплексного изучения растворимой части органического вещества.

Для изучения химического состава битумондной части органического вещества, последняя экстрагировалась из породы хлороформом в апрарате Сокслета. Экстракты разделялись на фракции методом элюентной хроматографии, а затем фракции характеризовались инфракрасными спектрами и элементарным составом. В случае малых содержания битумонда, экстрагированного из породы, применялся микрохроматографический метод с выделением следующих фракций: масла + петролейно-эфирные смолы, спиртобензольные смолы и асфальтены.

Получено и изучено около 20 экстрактов из пород октемберянской толщи.

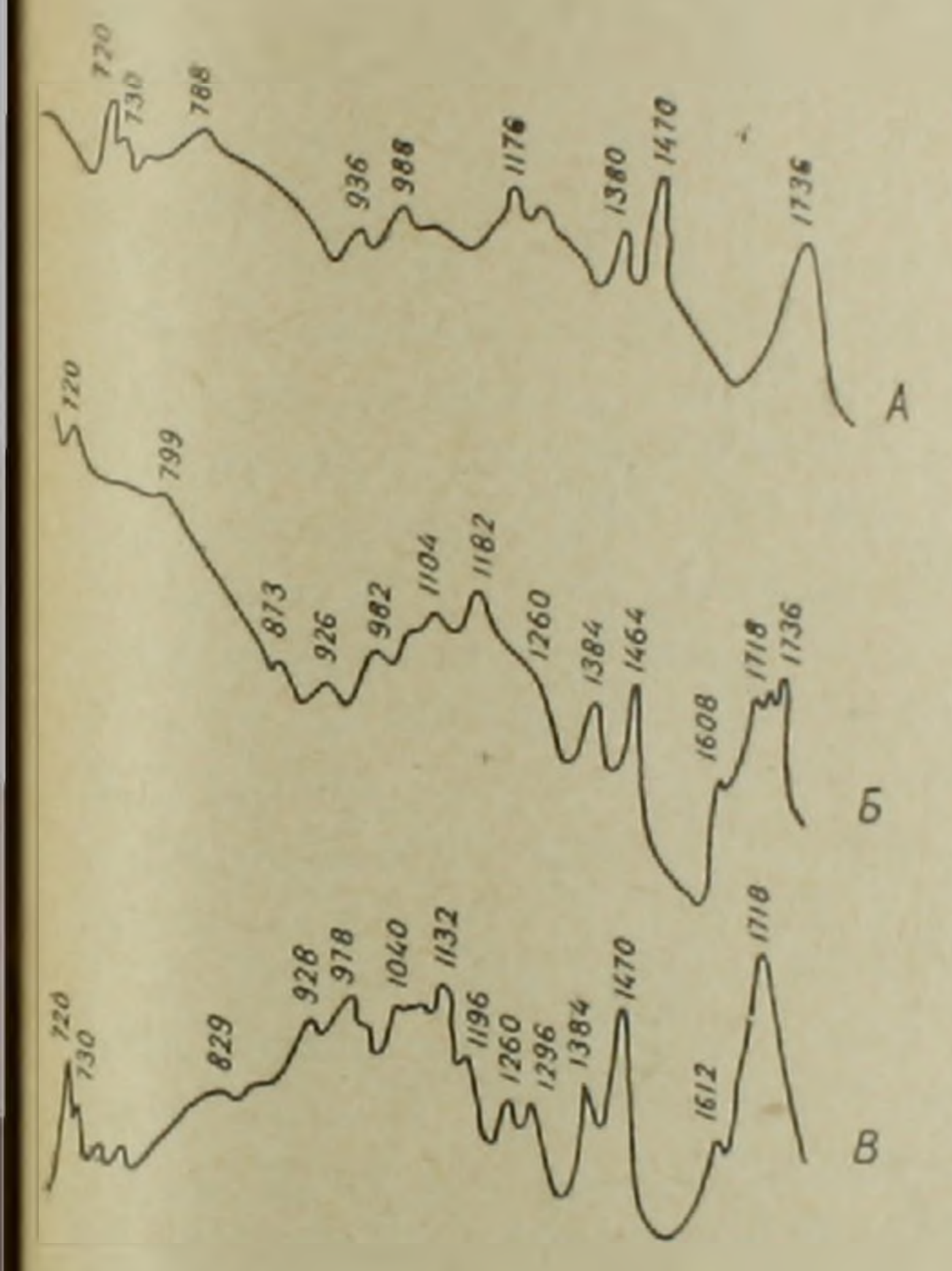
Стратиграфическое расчленение мощной октемберянской толши представляется достаточно сложным. По микрофаунистическим, минералогическим и палинологическим данным ряд исследователей расчленяет толщу на четыре свиты, из которых нами изучено только гритак как самая верхняя первая свита почти повсеместно размыта на исследованной площади.

Инфракрасный спектр хлороформенного битумонда из пород IV свиты (фиг. I) характеризуется разнообразием полос поглощения в днаназоне от 720 см — до 1718 см — что свидетельствует о содержании в нем углеводородов как с открытой цепью, так и циклического строения. Полоса 720 см — дублируется полосой 730 см — что свидетельствует о наличии в нем твердых парафинов. Наиболее четко дублет 720—

Под термином битумонд, предложенным Н. Б. Вассоевичем, подразумевается часть органического вещества растворимая в органических растворителях.

730 см -1 выражен в спектре фракции масла + петролейно-эфирные смолы.

Различные типы разветвления дают полосы в области 800—1300 см⁻¹, однако идентификация их весьма затруднительна. Полоса в области 1380 см⁻¹ связана с веерными колебаниями метиленовых групп. Интенсивность ее меньше, чем полосы 720 см⁻¹ и растет с увеличением исла группы = CH₂. Большое количество полос поглощения в области 1000—1300 см⁻¹ в спектре хлороформенного битумоида говорит о присутствии в нем углеводородных соединений типа простых и сложных эфиров. Количество полос в этой области уменьшается во фракции спиртобензольные смолы и весьма слабо выражено в спектре фракции масла + петролейно-эфирные смолы,



\$ 500 \$ 100

1. Инфракрасные спектры хроматограмеских фракций битумондов (IV свита). -хлороформенный битумонд, Б—фракция В—фракция масел + петлолейно-эфирных смол.

Фиг. 2. Инфракрасные спектры хроматографических фракций битумондов (ПП свита). А—хлороформенный битумонд, Б—фракция смол, В—фракция масел+петролейно-эфиримах смол.

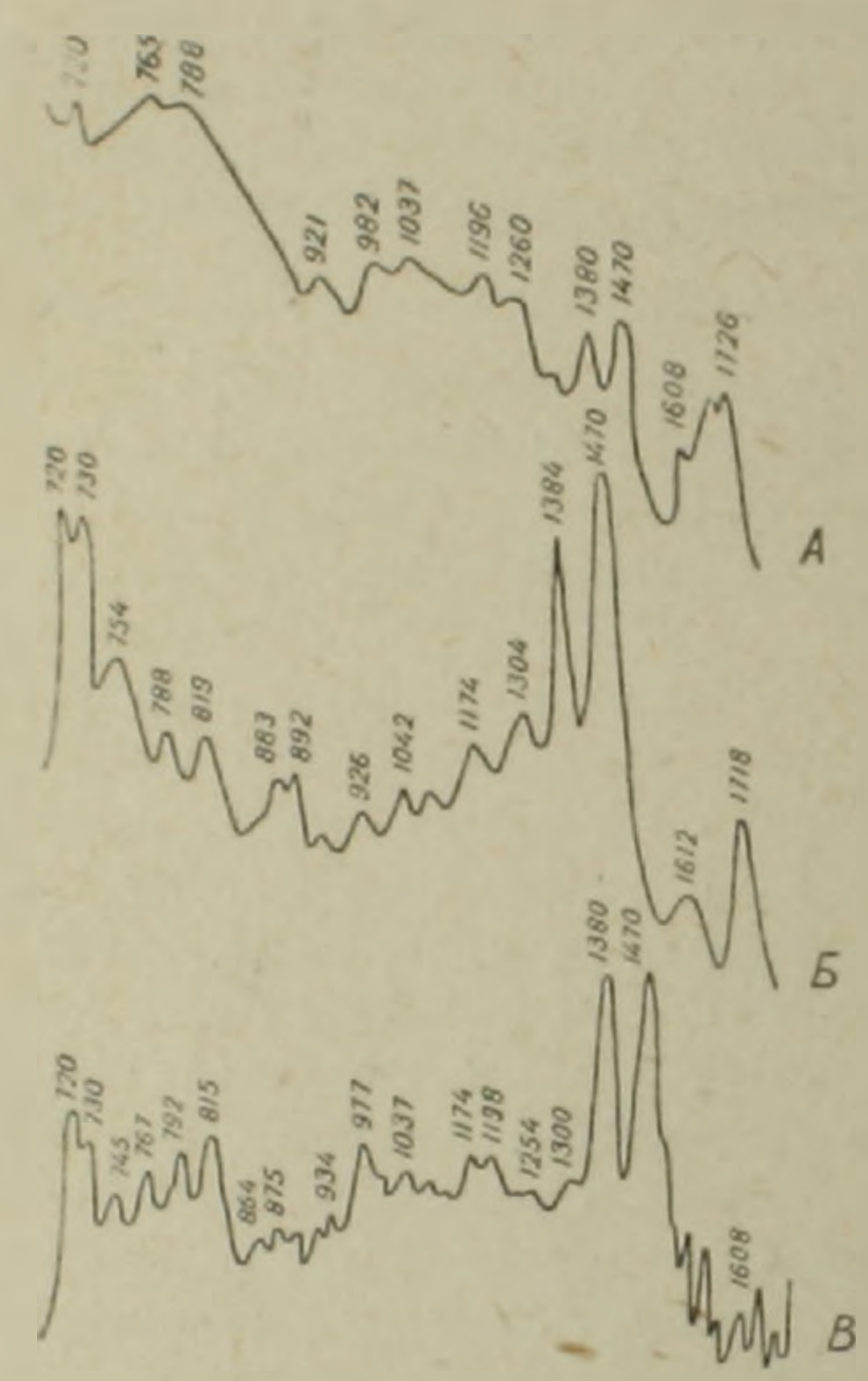
Наличне слабо выраженных полос 1612 см и 1717 см свидетельствует о присутствии структур, сопряженных с карбонильной группировкой.

Углеводородная фракция, выделенная из соорного образца пород W с виты, составила около 40% битумонда; ее элементарный состав С-85,90%, H—13,67%, сумма O+N+S—0,43%.

Битумоид, экстрагированный из пород вышележащей III свиты, со-

ставил 4% в пересчете на Сорг.

В инфракрасном спектре хлороформенного битумонда (фиг в проявляется большое разнообразие полос поглощения, что говориприсутствии в нем разного типа углеводородных структур. В спектря фракции спиртобензольные смолы наиболее четко проявляется область характеризующая присутствие гетероатомных групп (диапазон 1474—1736 см-1), которые представлены карбонилом и возможно группиры кой простого эфира. Несколько менее интенсивно проявляется дубле 720—730 см-1, свидетельствующий о присутствии твердых парафинов



Фиг 3. Пифракрасные спектры хроматографических фракций битумондов (11 свита) А—хлороформенный битумонд, Б—фракция смол, В—фракция масел + петролейно-эфпраних смол

В спектре фракции масла + петролейно-эфирные смолы гетероатомные структуры фиксируются слабо. Очень четко проявляются структуры метанового и изометанового рядов, среди которых есть и твердые парафины—полосы 720 см⁻¹ и 730 см⁻¹ проявляются наиболее интенсивно Судя по многообразию полос поглощения в области 750 см⁻¹ — 1000 см⁻¹, возможно наличие нафтеновых структур, а также моно- в бициклических ароматических углеводородов.

Углеводородная фракция, выделенная из сборного образца пород III свиты составила около 45% битумоида; ее элементарный состав C-85,72%, H-13,92%, O+N+S-0,46%.

Песчано-глинистые породы вышележащей II свиты сильно битуминозны. Количество органического вещества в них, судя по средния значениям Сърг., составляет 1,51%. В преобладающем большинстве сту мее глинистые породы II свигы содержат хлороформенный битумов и поличестве 0,02% —0,04% на породу.

При сравнении инфракрасного спектра хлороформенного битумонда с спектрами фракции масел и спиртобензольных смол (фиг 3) можно
наблюдать увеличение интенсивности полос поглощения в областях
зарактеризующих углеводородные структуры метанового ряда и учетишение в областях, характеризующих присутствие моно- и бициклических ароматических углеводородов

Полоса 720 см⁻¹, слабо выраженная в спектре хлороформенного бытумонда, становится более интенсивной и дублируется полосой 730 см⁻¹ в инфракрасных спектрах фракции спиртобензольные смолы и млстанатролейно-эфирные смолы. Дублет 720—730 см⁻¹, интенсивно выраженный во фракциях масел и смол вызывается, оченилю, появлением е них твердых парафинов. В то же время полосы 1718 см⁻¹ в спектре хлороформенного битумонда, дублированная полосой 1726 см⁻¹ и хлектеризующая присутствие углеводородов, содержащих карбонильную группу в спектре фракции спиртобензольные смолы не дублируется в спектре фракции масла + петролейно эфирные смолы не фиксируется. Если карбонильная группа расположена между двумя метиленовыми группами, то валентные колебания С = С связей приводят к появлению полос поглощения в области 1725—1706 см⁻¹.

Полоса 1380 см⁻¹, отвечающая симметричным колеопион С. Н связей метильных групп, весьма слабо выраженная в спектрах хлороформенного битумоида и четко в спектрах масел и спиртобен ольных смол, служит для установления наличия СН₃-групп в углеводородных соединениях. Интенсивность полосы увеличивается с увеличением числаметильных групп.

В области 1460 см 1 наблюдается полоса поглощения, соответствующая асимметричным колебаниям С. Н связей в метильных группах, перекрываемая поглощением метиленовых групп в этой же области (полоса 1470 см 1). В спектрах высокомолеку пярных и-парафинов колебание метильной группы может проявиться в виде перегиол на колюметиленовой полосы.

На графиках приведенных спектров, во всех грех фракциях прияваляются слабо выраженные полосы поглощения в области 1200 800 см⁻¹, характеризующие валентные колебания С—С связки, плимана ная идентификация с помощью которых представляется доставляется доставляется

Углеводородная фракция, выделенная из одного усредненного образца пород II смвиты, составила около 48% битумонта; ее элементар-

ный состав С-86,16%, H-13,40%, O+N+S-0,41%

Таким образом, изучение химического состава рассеянного органического вещества и битумонда пород октемберянской вает, что смесь автохтонных и аллохтонных битумондов бак 50% масляной фракции, состоящей, в основном, из углеводородов Как показали инфракрасные спектры, микронефть, экстрагировани

год октемберянской толщи (из скв. 7-к и 23-к) по сути дела представляет собой микроскопление парафино-нафтеновых углеводородов с на значительной примесью ароматических соединений.

Породы октемберянской толщи по своим битумопроизводящих свойствам должны быть отнесены к разряду перспективно-нефтепроиз. водящих и при благоприятных литолого-сгруктурных условиях с ними могут быть связаны значительные скопления нефти и газа.

Институт геологических наук Академии наук Армянской ССР

Վ. Վ. ՊԱՅՐԱԶՅԱՆ

Հոկոեմբերյանի շերուփոմբի ապառներից էքսորակցված բիռումոիդների խոսմառոգրաֆիական ֆրակցիաների ինֆրակարմիր սպեկուները

հրանման ինֆրակարմիր սպեկտրը։ հանդիսանում է միացությունների ֆիզիկական հատ կանիշների թնորոշ արգասիք և այդ պատձառով նրա ուսումնասիրությունը կազմում է ցրված

Հոկտեմբերյանի շերտախմբի ապառների օրգանական նյութի և րիտումոիդի քիմիական կազ. մի ուսումնասիրությունը ցույց է տալիս, որ ավտոխտոն և ալլոխտոն թիտումոիդների խառնուրգը սյարունակում է մինչև 50% յուղային ֆրակցիա, որը Տիմնականում կազմված է ածխաչրածնից։

Ինչպես ցույց տվեցին ինֆրակարմիր սպեկտրների ուսումնասիրությունները, Հոկտեմբերյանի չերտախմբի ապառներից էքստրակցված միկրոնավքը հանդիսանում է պարաֆին-նեֆ-Ունայմին ածխաջրածինների միկրոկուտակումներ, արոմատիկ միացությունների աննչան ջանակությամը։

Հոկտնմբնրյանի շնրտախմբի ապառները իրևնց բիտու<mark>մածին հատկանիշնն</mark>ըով պետք է դասվեն եռանկարային-նավթածին խմբին, իսկ նպաստավոր լիթոլոգո-ստրուկտուրային պայմաններում նրանց հետ կարող են կապված լինել նավթի և գաղի որոշակի կուտակումներ։

ЛИТЕРАТУРА — ԳՐԱԿԱՆՈՒԹՅՈՒՆ

¹ А. Кросс, Введение в практическую инфракрасную спектроскопию, перевод с англ., И.Л., 1961.

ГЕОЛОГИЯ

И. Г. Магакьян, академик АН Армянской ССР

Армения в системе центрального Средиземноморья (Представлено 17/III 1966)

Средиземноморский орогенический и металлогенический пояс альпийского возраста прослеживается в близширотном направлении почти
на 15 000 км при средней ширине в 500 км от Пиренейского полуострова
и Северной Африки на западе до Индонезии включительно на востоке.

Под центральным Средиземноморьем мы условимся понимать отрезок этого пояса, включающий Балканы, Анатолию. Кавказ с Закавказьем, Армянское нагорье и Иран, геологическое строение и металлогения которых имеют много общего.

Автор в течение почти 25 лет изучал геологию и, главным образом, металлогению—условия образования и закономерности размещения рудных месторождений советской части Армянского нагорья и этим вопросам посвящен представленный доклад; в порядке сравнения с делально изученной областью, по литературным источникам, приводятся данные по соседним территориям—Балканам (по А. Циссарцу, И. Костову, В. Петрашеку и др.), Анатолии и турецкой части Армянского нагорья (по С. Тромпу, Э. Лану, Г. Борхерту, Э. Эжерану, П. Арни и др.), Ирану, (по Ж. Ладаму, Э. Дилю, Г. Рибену и др.).

Ниже остановимся, в основном, на вопросах о времени и условиях образования, источнике металлов, глубпнах формирования и вертикальном размахе, шпроко развитых в центральном Средиземноморье гидро-

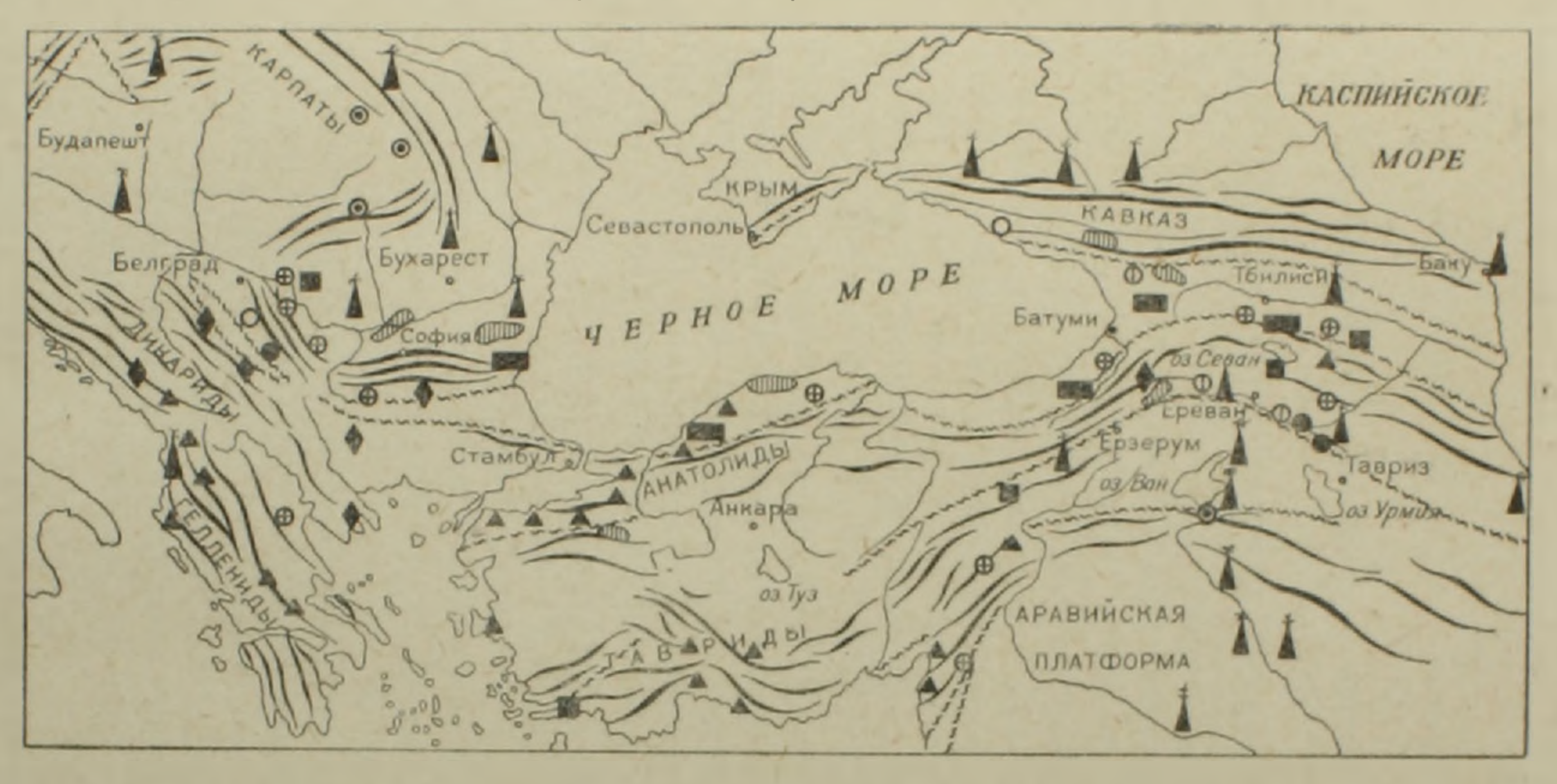
термальных месторождений.

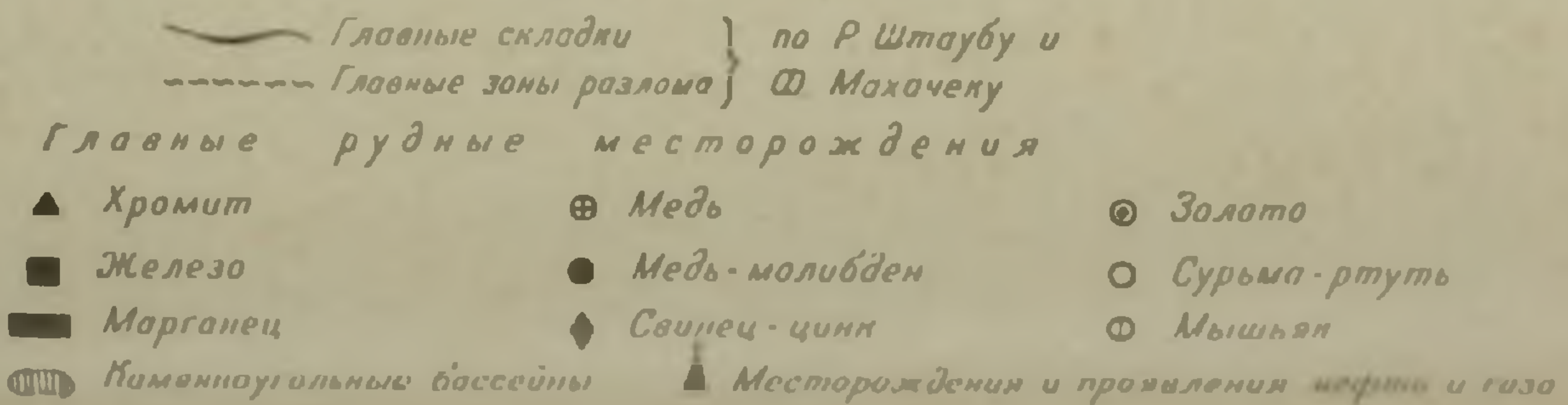
В пределах рассматриваемой области (фиг. 1) интенсивно проявились процессы накопления и последующей складчатости мощных толщ мезо-кайнозойского возраста, имело место внедрение гранитондов и гипербазитов, с которыми связана разнообразная минерализация. В развитии металлогении области выделяются две эпохи—киммеринская (J_2 — Cr_1) и альпийская (Cr_2 —Q), протекавших в несколько этапов, обособившихся в пространстве.

Киммерийская металлогения развивалась в два этапа:

Ранний этап выражен мощной вулканогенно-осадочной толщей юрского возраста, представленной чередованием покровов порфиритов кератофиров, их туфов, туфобрекчий с мергелями, известняками, прорванными небольшими субвулканическими штоками кварц-порфиров

Схема центрального Средиземноморья





альбитофиров предверхнеюрского возраста (К Аг четодом опредеин абсолютный возраст 140 млн. лет)

В очень тесной пространственной и, по-видимому, генетической связис этими субвулканическими интрузиями находятся колчеданные главным образом медные, а также серноколчеданные и барито-полиметаллические месторождения Малого Кавказа Алавердская группа. Келабек чирагидзор, Кафан и др.

Общность источника субвулканических интрузий и колчетанных руроказывается геохимическим их родством, совпадением возраста и фаний глубиничести, районов развития тех и других

К раннему же этапу киммерийской металлогении относите внедрежие части гипербазитовых интрузий Анатолии и Балкан, возраст кот рых верхняя юра, а оруденение представлено крупными концентрациями момитовых руд среди дунитов и перидотитов.

Средний этап развития киммерийской мет. погении выражети рением гипабиссальных гранитондных интрузий нижнемелового праста, с которыми генетически связаны скарновые местспождения чаги интовых руд (Дашкесан и др.) и гидротермальные месторождения бальта, меди, золота, свинца, цинка и барита

Альпийская металлогеническая эпоха развивалась в три эт пе

Ранний этап, охвативший интервал времени верхини мел эоцен проявился широко на Балканах, в Анатолии и Армянском нагорые и инпражен в накоплении мощных вулканогенно-осадочных толщ порфиритов, их туфов, туфобрекчий и мерге тей; эти толщи прорваны субпу каническими штоками порфиров, дацитов и андезитов верхнеэоценового возраста полютный возраст 40—50 млн лет), с которыми тесно связаны месторыения колчеданных руд Балкан (Бор, Мандашек и др.), Анатолии (Дзансул, Кварцхана и др.), Малого Кавказа (Маднеули, Тандзут, Чибухлы).

Примерно в это же время и в тех же областях формируются месторождения кристаллических марганцевых руд вулканогонно-осадочного генезиса, подчиненных эффузивно-осадочным толщам верхнего мела, эоцена и олигоцена (?). Среди месторождений марганца этого типа заслуживают упоминания Эрегли, Картла и Кевуль в Анатолии, Панагуириште, Добра Надежда р Победа в Болгарии, Молла-джали, Саригюх, Гетри-цхаро, Сваранц и др. на Малом Кавказе

С ранним же этапом связано внедрение вдоль глубинных региона по ных разломов большей части гипербазитов Баскан, Анатолии, Малого

Кавказа, с которыми связаны месторождения хромита.

Средний этап альпийской металлогении выражен интрузия и гипабиссальных умереннокислых гранитондов, которые впедрялись и колько фаз в интервале времени от верхнего зоцена 10 олигонена цена (абсолютный возраст 40—20 млн лет).

В тесной пространственной и генетической связи с гранизация собственномагматические, скарновые и гипротерматические в прождения железных руд, а также многочисленные мест рождения

по-молибденовых, полиметаллических и золото-сульфидных руд, широко развитых на Балканах, в Анатолии и Закавказьи.

Конечный этап завершает металлогеническое развитие области протекает в мно-плиоцене; вдоль наиболее поздних разломов, секущи ранее сформированные структуры, внедряется серия малых близпонерхностных интрузии, главным образом умереннокислого состава, с колорыми связаны низкотемпературные месторождения золото теллуровой формации, сурьмы и ртути, реальгар-аурипигментовых руд. Месторождения этих руд широко развиты на Карпатах и Балканском полуострове известны также в Анатолии, Армянском нагорье и на Малом Кавказе.

Источником всех металлов скарновых и гидротермальных местрождений, несомнению, являются гранитойды мезо-кайнозойского возраста, что подтверждается:

- 1. Тесной пространственной связью месторождений с гранитондными массивами, вокруг которых расположены месторождения.
- 2. Совпадением возраста и фаций глубинности интрузивов и месторождений.
 - 3. Геохимическим родством интрузивов и руд.

По глубинности формирования интрузивов и связанных с ними месторождений выделяются две группы:

- А. Гипабиссальные гранитоиды и связанные с ними месторождения умеренных глубин—скарновые железорудные, гидротермальные медномолибденовые, полиметаллические, золото-сульфидные и
- Б. Субвулканические малые интрузии умереннокислого состава и связанные с ними месторождения малых глубин—колчеданные, марганцевые, золото-теллуровые, сурьмяно-ртутные, реальгар-ауринигменто-иые

Что касается вертикального размаха оруденения, то данных по этому вогоросу пока недостаточно; для обенх групп месторождений отдель ными скважинами установлено продолжение оруденения до глуби 500—700 м, причем важно подчеркиўть, что содержание на глубоких горизонгах таких металлов как железо, молибден и золото значительно выше, чем на верхних горизонтах.

Институт геологических наук АН Армянской ССР

2. Գ. ՄԱՂԱՔՅԱՆ, Հայկական ՍՍՌ ԳԱ ակադեմիկոս

Հայկական լեռնաշխառիը կենուոնական միջեւկւածովային սիստեմում

Միջերկրածովային սիստեմի կենտրոնական մասի տակ մենք հասկանում ենք այդ գոտու մի մասը, որը ընդգրկում է Բալկանները, Անատոլիան, հովկասն ու Անդրկովկասը, Հայկակ^{ան} լեռնաշխարեր և Իրանը, մարզեր, որոնք ունեն շատ նման մետադածնային գծեր։

ւան և շատված են նույն հասակի գլանիտոիդներով ու գիպերթագիտներով։ Հայնոզոյան շասակի շաստվածքներ, որոնք ենխարկվել են կիմերյան ու ալպիական ծալքավոր «ան և շատված են նույն հասակի գլանիտոիդներով ու գիպերթագիտներով։

Կիմևրյան հանքայնացումը զարդացել է երկու փուլերում՝ վաղ, որի համար բնորոչ մինչև 🕽 (140 մլն. տ.) ալրիտաֆիրներ կոլչեղանային հանքավայրերով, ինչպես նաև գիպերրադիտներ քրոմիտով։ Միջին Cr, գրանիտորդներով սկարնային Fe ու քիդրոքերմալ Co. Cu. Au. pb—Zn. Ba Հանջավայրերով։

Ալպիական մանքայնացումը զարգացել է նրեք փուլերում՝ վաղ (Cr₂—Eoc) գալացված այլիոցենի հասակի էպիներմալ Au—Te, Sb—Hg, As հանքավայրերով Ըստ առալացման խորությունների անջատվում են։

Ա) Հիպարիսալ գրանիտոիցներ և նրանց նետ կապված միջին խորությունների հանրալայրեր՝ սկարնային Fe, նիդրոթերմալ Cu—Mo, բազմամետաղային, \u— սուլֆիդային և

թ) Սու**թվուլկանիկ փոքր ինտրուզիսն**եր ու նրանց ձետ կապված փոքր խորությունների անգակային, մանգանի, Au—Te, So—Hg, As (ոնալզար-աուրիպիզմենտային)։

XLII

1966

ГЕОМОРФОЛОГИЯ

Г. К. Габриелян

К вопросу образования речных террас в Армянской ССР

Представлено чл.-корр. АН Армянской ССР А. А. Габриеляном 3/ХП 1965)

В Армянской ССР подробное исследование речных террас началось с 30-х годов текущего столетия. К. Н. Паффенгольц (1, 2), принимая классическую теорию террасообразования Дэвиса и заимствуя альпийскую хронологию А. Пенка, считает, что за весь четвертичный период в Армении произошло пять циклов эрозни и что каждый цикл оставил свою террасу одинаковой по всем речным долинам относительной высоты Эта концепция явилась основой для стратиграфического расчленения различных четвертичных отложений, в частности лавовых покровов, и прослеживается во многих его работах.

Террасообразование в Армянской ССР освещалось в работах Б. Л. Личкова (*), Н. В. Думитрашко (*), А. Т. Асланяна (*), С. П. Баляна (*), Е. Е. Милановского (*) и др. Следует отметить, что многие исследователи вслед за К. Н. Паффенгольцем повторяли его мысли и в большинстве случаев корреляцию террас производили по их относительной высоте.

Наши исследования за последние 15 лет приводят нас к выводу, что в условиях растущей горной страны циклическая теория террасообразонания Дэвиса (") несправедлива и относительная высота террас не может быть критерием для их корреляции.

Анализ продольных профилей некоторых больших рек Армянской ССР (Ахурян, Касах, Раздан, Дзорагет-Дебед, Агстев, Арпа, Воротані показывает, что все они ступенчаты. На всех изученных нами реках имеются местные базисы эрозии, которые препятствуют регрессивной эрозии. При понижении главного базиса эрозии в приустьевой части образуется соответсвенная терраса, однако выше местного базиса эрозии колебания главного базиса не могут фиксироваться террасами до тех пор, пока не будет ликвидирован местный базис эрозии. Итак, все колебания главного базиса эрозии останутся безрезультатными в среднем и верхнем течениях рек при наличии местных базисов эрозии и в данном случае теория Дэвиса неприемлема.

Исследование неотектонических движений междуречья рр Куры и Аракс рядом тектонистов показывает, что вертикальные движения земной коры были дифференциального характера. Эту точку зрения ны не полдерживают почти все геслоги. Даже в пределах одного речного 224

бассейна движения могут быть самого различного характера и темпа (ледовательно, глубина эрозионного вреза должна быть самая различная. Одновозрастная терраса в разных частях долины реки окажется на самой различной высоте. Одинаковая относительная высота террасы в двух соседних бассейнах рек скорее показывает их различный возраст. чем однавозрастность.

Далее, сторонники циклической теории Дэвиса в образовании речных террас недооценивают гидрологический фактор. Они полагают, что при одинаковом темпе тектонического поднятия высота речных террас должна быть одинаковой. Между тем глубина эрозионного вреза зависит не только от амплитуды тектонического поднятия, но и гидрологических характеристик потока, в частности от расхода воды рек, что часто игнорируется. Например по Лорийскому лавовому плато текут р. Дзорагет и ее приток Гергер. Глубина каньона р. Дзорагет намного больше, чем у р. Гергер, так как у первой расход воды значительно больше. Если при корреляции за основу взять относительную высоту террас, то выходит, что лавовые террасы у р.р. Дзорагет и Гергер разновозрастны, между тем эти каньоны пропилены в единой лавовой толще. Можно привести очень много подобных примеров, когда в силу различных гидрологических характеристик потоков в одной и той же толще реки образовали террасы различной высоты, которые имеют одинаковый возрасть

Весьма наглядным является террасообразование на озере Севан на глазах одного поколения человека. За последние три десятилетия уровень озера спущен на 17 метров, вследствие чего реки впадающие в озеро стали углублять свое ложе. Наши наблюдения показывают, что при одинаковом спущении базиса эрозии реки образовали террасы самой различной высоты: р. Аргичи—8 м. р. Гаварагет—4.5 м.; р. Дзыкнагет—4 м. р. Личк—3 м.; два безымянных ручейка у с Мартуни—1—2 м др. (по состоянию 1964 г). Эти различия вызваны в силу различных гидрологических характеристик потоков. Очевидно, что такая же картина харктерна также и для других рек междуречья рр. Кура и Аракс.

Исследование террасообразования на реках, впадающих в оз. Севан показывает также, что глубина вреза рек значительно меньше, чем опускание базиса эрозии, т. е. темп глубинной эрозии меньше темпа понижения базиса эрозии. Такая картина наблюдается и в других ранонах междуречья р.р. Кура и Аракс, где темп неотектовических движений значительно больше темпа глубинной эрозии. Ярким доказательством этому служит ступенчатость продольных профилей рек, наличие местных базисов эрозии являющимися результатами блоковых поднятии.

Резюмируя можно сделать заключение о том, что циклическая теория террасообразования несправедлива в условиях такой растущей горной страны, как междуречье р.р. Кура и Аракс. В горной стране, с дифференциальными неотектоническими движениями и с различными гидро-логическими характеристиками водных потоков, относительная высота речных террас никак не может быть критерием для их коррепяции.

Հայկական ՍՍՌ գեռային գա<mark>ւավանդների առ</mark>աջացման

Հենվելով գետային դարավանդների ստեղծման Դեիսյան ցիկլային տեսության վրա կ կ հաֆենգոլցը 30-ական թվականներին տվեց Հայկական ՍՍՀ դետային դարավանդների առաջացման սխեման, համաձայն որի յուրաքանչյուր տեկտոնական րարձրացմանը հաջորդում իրորքային էրոզիա գետի ամրողջ երկարությամբ, երկայնակի պրոֆիլի մշակման նոր էտապ հ. Ն. Դաֆենգոլցը ընդունելով Ա. Պենկի Ալպերի նկատմամբ մշակած ժամանակադրական սխեման գտնում է, որ Հայկական ՍՍՈ-ում գետերը ունեցել են խորքային էրողիայի 5 ցիկլ առաջացրել են 5 դարավանդներ, որոնք րոլոր գետահովիտներում ունեն նույն հարաբերական բարձրությունը։ Հետագայի ուսումնասիրողներից շատերը հետևելով Կ. Ն. Պաֆենգոլցին, գետային դարավանդների կոռելյացիան կատարում են նրանց հարաբերական բարձրության հիման վրա

Վերջին 15 տարվա ընթացքում կատարած մեր ուսումնասիրությունները ցույց են արև լիս, որ Հայկական ՍՍՈ գետերի երկայնակի պրոֆիլը աստիճանաձև տեսք ունի, նրանց վրա շատ են տեղական էրոզիոն բազիսները, որոնց շնորհիվ գլխավոր էրոզիոն բազիսի տատանումեները չեն կարող անդրադառնալ գետերի միջին և վերին հոսանքների խորքային էրոզիայի վրաև Այսպիսով Դևիսի ցիկլային տեսությունը կիրառելի չէ աճող լեռնային երկրի դարավանդների առաջացման մեջ։

Դիֆնրենցիալ բարձրացումննրով օժտված լնոնային երկրներում տարբեր հիդրոլոզիական բնութագրություններ ուննցող գնտնրը տարբեր խորության գնտահովիտներ են ստեղծում և նույն հասակի դարավանդննրը ունննում են տարբեր բարձրություններ։ Հնտևաբար, հարաբերական բարձրությունները չեն կարող դարավանդննրի կոռելյացիայի չափանիչ լինել։

ЛИТЕРАТУРА— ԳГЦЧЦЬПЬ В ЗПЬЬ

¹ К. Н. Паффенгольц, Стратиграфия четвертичных лав Восточной Армении. Зап. Рос. мин. общ., ч. LX, 1931, № 2. ² К. Н. Паффенгольц, Четвертичные отложения Армянской ССР в кн. Геология Армянской ССР, т. II, Изд. АН АрмССР, Ереван. 1964. ¹ Б. Л. Личков, К характеристике геоморфологии и стратиграфии Алагеза, Алагез потухший вулкан Армянского нагорья, Тр. СОПС СССР, сер. Закавказ., т. I. вып. 3, 1931. ⁴ Н. В. Думитрашко, Основные этапы развития рельефа юго-восточной части Малого Кавказа, Тр. IV геоморф. конф. по изуч. Кавказа и Закавказья. Ереван, 1957. ⁵ Н. В. Думитрашко, Современные речные долины и террасы в кн. Геология Армянской ССР, т. 1, Ереван, 1962. ⁶ А. Т. Асланян, Региональная геология Армении, Ереван, 1958. ⁷ С. П. Балян, Морфологический анализ новейших тектонических движений Армении, Мат. Всесоюзн. совещ. по изуч. четверт. перноза. т. II, изд. АН СССР, М., 1961. ⁸ Е. Е. Малиновский, Основные черты развития центральной части Малого Кавказа в плиоцене и антропогене, Тр. ком. по изуч, четвертичного периода, вып. ХІІІ, 1957. ⁹ В. М. Дэвис, Геоморфологические очерки, Изд. Ил., М., 1962.

ПОЛЕЗНЫЕ ИСКОПАЕМЫЕ

А. Г Казарян и Г. А. Казарян

О возрастном разрыве между образованием метасоматитов и оруденением в Шамлугском рудном поле Армянской ССР

(Представлено академиком АН Армянской ССР К. Н. Паффенгольцем 27/Х 1965).

Как уже отмечалось (12), на месторождениях колчеданной формации существует резкий разрыв во времени между образованием вторичных кварцитов и оруденением*, основанном на следующих геологических фактах:

частом пространственно обособленном размещении метасоматитов и оруденения; экранировании оруденения во вторичных кварцитах прудными нарушениями послеверхнеюрского возраста; пересечении истасоматитов и указанных дорудных нарушений габбро-диабазовыми райками, возраст которых древнее оруденения (3).

Высказывалась необходимость проверить эти выводы другими методами исследований (2).

В последнее время в Лаборатории радиогеологии и геохронологии ИГН АН Армянской ССР исследовано большое количество образцов пород Шамлугского рудного поля, отобранных Г. А. Казаряном, Г. П. Багасаряном, Э. М. Налбандяном, Г. А. Мирзояном, результаты изучения которых частично опубликованы (4) и в комплексе подтверждают вышестмеченные выводы.

Методика исследований при определении абсолютного возраста кали-аргоновым методом, изложена в работах Г. П. Багдасаряна и др.

На других колчеданных месторождениях Армянской ССР возможность применения «радиологической съемки» несколько ограничена, так мак в дорудных диабазах, как и в относительно свежих вмещающих породах содержание K_2O незначительное.

Геологическая обстановка Шамлугского рудного поля такова нив разреза представлены диабазовыми и различными андезитовыми порфиритами (Дебедачайская свита), которые выше переходят в слож-

^{*} Впервые эта точка зрения высказана А. Г. Казаряном по месторождению по месторождению по закономерностям размещения медно-колчеданных и медно-портовых месторождении в 1960 г. в г. Москве.

вый комплекс вулканогенных образований, представленных лавами вобрекчиями, вулканическими брекчиями, туфобрекчиями, лапиллевыми туфами преимущественно среднего и кислого состава (Кошабер: ская свита). На размытой поверхности перечисленных свит залегают породы «рудоносной свиты», представленные альбитофирами и в брекчиями.

Наиболее древними фаунистически охарактеризованными породами рудного поля является комплекс осадочных пород (грубозернистые пес чаники, конгломераты, туфогенные песчаники) верхнебайосского возраста, трансгрессивно залегающих над всеми нижележащими свитами (6)

Широко развитые в рудном поле средне- и тонкозернистые туфоген ные, глинистые песчаники келловея с характерной фауной, трансгрессив по и с угловым несогласием налегают на байосские образования.

Вся серня пород прорвана плагногранит-порфирами, образующими лакколитообразные тела под келловейскими песчаниками, а дайкообразные—в вулканогенных породах нижних горизонтов разреза.

Плагногранит-порфиры или как называют другие—«альбитофиры, породы гипабиссального облика, по составу отвечают плагногранитам. В минеральном составе пород главенствующая роль принадлежи альбиту (№ 4—6), кварцу, а в незначительном количестве присутствует хлоритизированный биотит.

Интрузивная деятельность в рудном поле проявлена широким развитием пород жильно-магматической фазы, связанных с гранитоидными массивами. Жильно-магматические породы представлены дорудными габбро-диабазами, кварцевыми диорит-порфиритами и микрогранит-порфирами (7).

Альбитофиры местами сильно гидротермально переработаны и превращены в монокварциты, серицитовые кварциты, и пропилиты местами совершенно безрудные.

Из указанных фаций пород окварцованные альбитофиры, монокварциты, находящиеся под экранами плагиогранит-порфиров, замещены сульфидной минерализацией. Серицитовая фация пород, в прост ранстве образует неправильные контуры и, как правило, удалена от рудных тел (фиг. 1) Плагиогранит-порфиры отчетливо пересекают гидротермально измененные разности пород и секутся дайками дорудных габбро-диабазов. Рудные тела имеют форму штоков и линз, на глубину переходящих в жилы (фиг. 1).

Всеми без исключения исследователями единодушно плагиогранитпорфиры рассматриваются как экраны, под которыми локализуются штоки и линзы серноколчеданного, медноколчеданного и свинцово-цинкового оруденения.

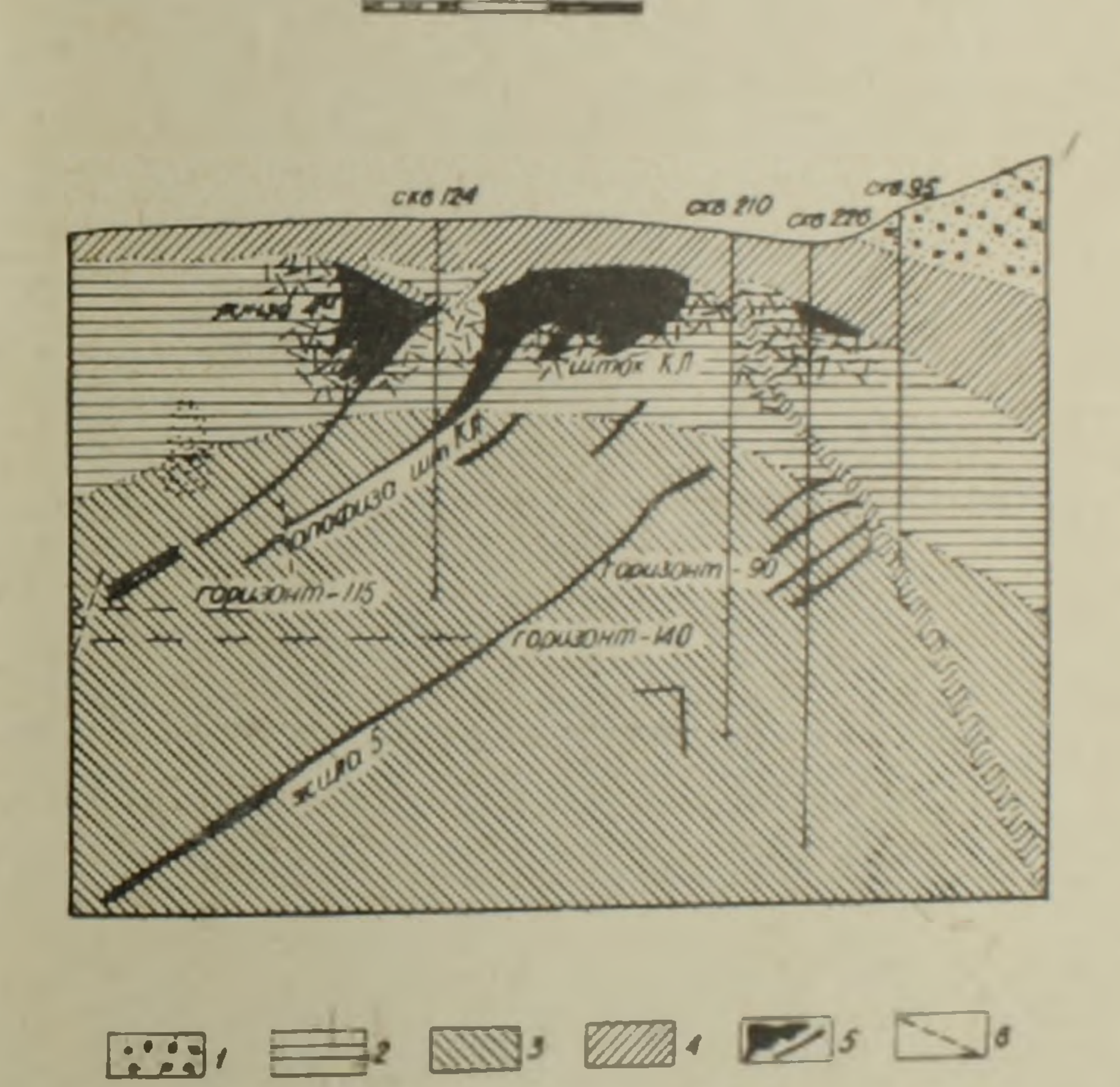
По радиологическим исследованиям «околорудного» серицита (предовраст оруденения Шамлугского месторождения считают как доверхнегорский.

Альбитофиры, по другим авторам кератофиры или шамлугиты, в денетичествовности, представляют собои сильно измененные дациты, в которых полевои шили представлен вторичным альбитом.
228

На самом деле это не возраст оруденения, а время раннего гидро-

Околорудный серицит, как и принято считать, должен находиться в непосредственном залегании с рудой и образоваться синхронно с оруденением. Известно также, что серицит пользуется большим развитием в эффузивных породах и гидротермально-измененных разностях генетический связанных с фумарольно-сольфатарной деятельностью () Околорудный серицит встречается как реакционный минерал, сформированийся в результате взаимодействия гидротермальных растворов в вышающими породами при образовании руд (°). Это в свое время было убедительно доказано Д. С. Коржинским (10).

Именно такой серицит и является синхронным продуктом с оруденением и только он должен отвечать по возрасту оруденению В подобных случаях пиритовые и халькопиритовые прожилки сопровождаются симметричными оторочками осветления (°).



Фиг. 1. Схематический геологический разрез по штоку К 1 и дине 4 Шамаугского месторождения (составлен по материалам Шамаугского рудинка). Плачаники; 2 альбитофиры и их пирокласты; 3 туфобрек или порфиритов; плачиогранит-порфиры; 5 рудные тела; 6 тектонилеские нарушения; 7 окварцованные альбитофиры и монокварциты; 8 серицитовая фация вторичных кварцитова.

XX 7 8

На колчеданных месторождениях прожилки с серицитовыми оторочками почти отсутствуют, что обусловлено замещением рудоносными

результаты радиологических исследовании						
№ обр.	Место взятия	К В ° ° Лчо.10 в В 2 m	6/в радно- генного ар- гона 110 п - 1	A40.10-9 B 2/2	10 -3	Возраст в млн.
	Аль	битофиры				
ГК—440д	Близ устья р. Шамлуг	1.86 2.27 1.86 2.27	93,0 11, 91,3 12.	60 20,70 05 21,60	9,10 9,51	158
				Ср	еднее	162=4
FK-440r		[1,78 2,17 1,78 2,17	76,5 11, 86.2 11,	45 20,50 30 20,23	9,44 9,34	164
				Ср	еднее	163±0.5
	Серицитовая фаци					
465	Гор. 140 Шахта 1 (Шамлуг)	4,60 5,60 4,60 5,60	73,6 28, 83,3 28,	6 51,2 56 51,12	9,15 9,12	160
					еднее	159,5
501	Гор. 115 Шахта 1	3,14 3,83 3,14 3,83	91,3 19 97,7 18	,6 35,0 8 ,6 33,3	9,16	160
					еднее	156-4
743	Гор. 90 Шахта 1	7,58 9,25 7,58 9,25	82,0 47 99,7 46	,9 85,6 84,0	9,25 9,08	161
				Сре	днее	16 0 ±2
744	Гор. 60—90 Шахта 1	6,92 8,48 6,92 8,48	70,40 41 100,0 41	74,6	8,82 8,75	155
				Сре	еднее	154±1
			Сво	одное зна	ченне	157
	Плагиогр	анит-порф	риры			
4143 ГМ—ПР-42	Вост. окраина с. Шамлуг. Шамлуг в 300 м к югу от склада рудника	1 49 1,82 1,27 1,55 1,27 1,55	38,3 6,0 51,0 6, 44,0 9,	51 11,80 15 11,0 14 11,01	6,53 7,10 7,10	115 125 125
				Сре	днее	121
4184	Севернее уч-ка с. Бугакяр	1,932,36	83,8 10	9 19 50	1 8 95	145
4159 FM—ΠΡ-68	с. Чочкан к СВ 250 м	1,46 87 1,38 1,68 1,38 1,68	77,0 6. 54·7 7. 60,61 6.	55 11,70 30 13,05 98 12,50	6,57 7,73 7,93	116 136 136
			1 11	C-		133±3
4148	Верховья р. Бардадзор	1,411,72	78.1 7.0 78.3 7.9		7,30 7,56	
		101010	, . , .			139 -2
4182		1.90 2,32 1,90 2,32	60,9 9,6 72,2 10,8		7,45 8,36	
						139+8

Среднее 139 ±8

Сводное значение 130=7.5

растворами кислых-средних по составу эффузивов, а также гидротермально-измененных разностей, где заимствование железа из вмещающих пород не проявляется или происходит в весьма ограниченных масштабах.

Состав вмещающих пород во всех равных условиях предопределяет привнос или заимствование железа, расходуемого на образование минералов руд.

Из приведенного разреза (фиг. I) видно, что штоковый тип оруденения исключительно приурочен к монокварцитам, окварцованным альбитофирам. Серицитовая же фация пород обособлена в пространстве и не сопровождает оруденение.

Проведенные радиологические исследования (табл. 1) позволяют заключить, что формирование альбитофиров происходило в среднеюрское время и отвечает цифре 163 млн. лет. Серицитовая фация пород возникла несколько позже и соответствует 157 млн. лет. Плагиогранитрорфиры по возрасту являются молодыми образованиями и имеют возраст 130 млн. лет.

Таким образом, оруденение, экранируемое плагиогранит-порфирами, явно молодое—послеверхнеюрское, разорванно во времени от образования гидротермально-измененных пород и, очевидно, связано с более поздней интрузивной деятельностью (2. 11—14).

Институт геологических наук Академии наук Армянской ССР Научно-исследовательский горнометаллургический институт (НИГМИ)

Հ. Գ. ՂԱԶԱՐՅԱՆ և Հ. Ա. ՂԱԶԱՐՅԱՆ

Հայկական ՍՍՌ Շամլուղի հանքային դաշեր հանքայնացման և մետասոմատիոների հասակային տաբերության մասին

Մի արդ երկրաբանական փաստերի հիման վրա հեղինակներից մեկի կողմից արդեն նչվել և (1, 2), որ հրաքարային ֆորմացիայի հանքավայրերում, հանքայնացման և երկրորդական

կվարցիտների առաջացման ժամանակների միջև գոյություն ունի ընդհատում։

Վերջին ժամանակներս, Հայկական ՍՍՌ ԳԱ Երկրաբանական ինստիտուտի ռադիոերկրաբանության և գևոխրոնոլոգիայի լաբորատորիայի կողմից ուսումնասիրվում է հրային ապառների բաղմաթիվ նմուշներ, որոնց արդյունքները մասամբ հրատարակված են (4), ընդհանուր առմամբ

Ռադիոլոդիական ուսումնասիրությունները (աղյուսակ 1) թույլ են տալիս եզրակացնելու, որ բրիտոֆիրների ձևավորումը տեղի է ունեցել միջին յուրայի ժամանակ և Համապատասխանում 163 միլիոն տարվան։ Ապառների սերիցիտային ֆորմացիայի առաջացումը կատարվել է որոշ և Համապատասխանում է 157 միլիոն տարվա։ Պլագիոգրանիտ-պորֆիտները ըստ Հա-ակի Համականում են ավելի երիտասարդ գոյացումներ և ունեն 130 միլիոն տարի Համակ։

Այսպիտով, պլադրոգրանիտ — պորֆիրներով էկրանացված հանջայնացումը ակնառու կերպով երիտասարդ է հետվերին յուրայից և ըստ ժամանակի անջատված է հիդրոներմալ-փուիշխված ապառների գոյացումից և ակներևորեն կապված է ավելի ուջ ինտրուգիվ գործունեության հտ (2, 11—14)։

ЛИТЕРАТУРА-ЧРИЧИБОВРВОВЪ

³ А. Г. Казарян, Записки АОВМО, вып. 2, 1963. ² А. Г. Казарян, Г. Г. Шехян, ДАН АрмССР, т. ХХХVII, № 1 (1963). ³ Б. С. Вартапетян, А. Г. Казарян Г. Г. Шехян, Геология рудных месторождений, № 4, 1965. ⁴ Г. П. Багдасарян Р. Х. Гукасян, Э. М. Налбандян, ДАН АрмССР, т. ХХХV, № 2 (1962). ⁵ Г. П. Багдасарян, Р. Х. Гукасян и др., Известия АН АрмССР, серия науки о Земле № 1, 1965. ⁶ А. Т. Асланян, Стратиграфия юрских отложений Севериой Армении, г. Ерван, 1948. ⁷ Г. А. Казарян, Известия АН АрмССР, серия геолого-географ наук т. ХІІ, № 6 (1959). ⁸ Н. И. Наковник, Вторичные кварциты СССР. Изд. Недра 1964. ⁹ А. Г. Казарян, Э. Г. Амирбекян, Т. М. Арутюнян, Научные труды НИГМИ, вып. IV, 1964. ¹⁰ Д. С. Коржинский, Записки Всесоюзи, минералог, общества, 75 вып. 4, 1946. ¹¹ К. Н. Паффенгольц, В. В. Грушевой, Труды XVII Международн Геолог, Конгр. 1937. ¹² Б. С. Вартапетян, Советская геология, № 10, 1960. ¹³ С. С. Мкртчян, "Геология рудных месторождений", № 4, 1960. ¹⁴ Г. А. Казарян Автореферат кандидатской диссертации, М., 1962.

СТРАТИГРАФИЯ

Г. М. Акопян

Новые данные о возрасте вулканогенных отложений района г. Марал-сар и ущелья р. Хач-ахпюр

(Ноемберянский и Иджеванский районы Армянской ССР)

[Представлено академиком АН Армянской ССР К. Н. Паффенгольцем 9/VIII 1965]

Собранный нами при производстве геологосъемочных работ фактический материал позволяет внести некоторую ясность и корректировки в вопрос о возрастных взаимоотношениях отдельных горизонтов вулканогенного комплекса междуречья рек Дебед и Агстев.

В районе г. Марал-сар Ноемберянского района Армянской ССР значительное распространение имеют вулканогенные и вулканогенноосадочные породы, представленные порфиритами, туфоконгломератами, туфопесчаниками и песчаниками, а в ущелье р. Хач-ахпюр Иджеванского района развиты порфириты, туфопесчаники, песчаники и темно-серые столбчатые дациты, относимые различными исследователями к различному возрасту.

К. Н. Паффенгольц (1) вулканогенно-осадочные отложения района г. Марал-сар и ущелья р. Хач-ахпюр относит без расчленения к среднеюрскому времени. Породы Маралсарского комплекса А. Т. Асланян (2) относит к аален-среднебайосскому времени, а порфириты, туфопесчаники и дациты ущелья р. Хач-ахпюр к баносу и бату. М. В. Гзовский вышеотмеченные отложения относит к лейасу (так называемая Муров-

дагская свита).

До настоящего времени исследователи, изучавшие отложения ранона ущелья р. Хач-ахпюр, считали, что обнажающиеся здесь туфопесчаники и порфириты совершенно согласно переходят в подстилающие их верхнебайосские кварцевые порфиры, что и являлось критерием для стнесения пород ущелья р. Хач-ахиюр, без расчленения к верхнебайос-

скому времени.

Вышеуказанные толщи нами расчленены на ряд комплексов. Установлено, что на толщу кварцевых порфиров верхнего бапоса трансгрессивно налегают маломощные (10-15 м) туфоконгломераты, гальки которых состоят в основном из кварцевых порфиров и порфиритов, сцементированных туфогенным материалом. Под туфоконгломератами прослеживается слой песчанистых глин, мощностью от 0,5 до 1,0 м. Это особенно хорошо видно в 1,0 км к северу от Армутлинского медноколчеданного проявления. Вышеотмеченные туфоконгломераты перекрываются туфопесчаниками и порфиритами вулканического комплекса ущелья р. Хач-ахпюр. В районе г. Марал-сар из известковистых туфопесчаников нами собрана обильная фауна. из которой Л. В. Сибиряковой определены:

- 1. Posidonia buchi Roemer
- 2. Modiola imbricata Sow.
- 3. Modiola leckenbyi Morris et Lycett
- 4. Camptonectes ex. gr. lens (Sow)
- 5. Entdium cf. demissus Phillips
- 6. Ctenostreon ex. gr. pectiniforme Schloth
- 7. Lima ef. impressa Morris et Lycett
- 8. Pleuromya sp. indet
- 9. Unicardium sp. indet
- 10. Anisocardia sp. indet
- 11. Pecten sp. indet.

На основании приведенного списка фауны вышеописанный комплекс пород г. Марал-сар относится нами к низам батского яруса. Следует указать, что приведенный комплекс фауны также отмечен В. Ф. Пчелинцевым (3) и А. Т. Асланяном (2) в свите желтых песчаников Алавердского района.

Нижнебатские отложения района г. Марал-сар и в различных местах исследуемого района трансгрессивно налегают на породы разных возрастов. Так, например, в районе г. Марал-сар они налегают на нижнебайосские отложения, а в районе ущелья Хач-ахпюр—на отложения верхнего байоса. Нижняя часть батских отложений Маралсарского комплекса как по стратиграфическому положению, так и по литологическому составу идентична отложениям, обнажающимся в ущелье реки Хач-ахпюр. Это позволяет нам вышеописанный вулканогенно-осадочный комплекс ущелья р. Хач-ахпюр также отнести к низам батского яруса, налегающие на них туфопесчаники— к средней части бата, а вышележащие столбчатые дациты—к верхней части бата.

Управление геологии Совета Министров Армянской ССР

Դ. Մ. ՀԱԿՈՐՅԱՆ

Նուագույն ովյալնեւ Մաւալ-սաւ լեռան շրջակայքի և Խաչ-աղբյոււ գետի կիւնի հռաբխային նոովածքների հասակի մասին

(Հայկական ՍՍՌ Նոյեմբեբյանի և Իւկանի շրջաններ)

նրկրարանական Հանույթի ընթացքում մեր կողմից Հավարած փաստացի նյութերը թույլ հն տային ապառների կոմպլեքսի առանձեն Հորիզոնների հասակների փոխհարաբերության հար ցում։

չեր և գլաջարհը, որոնս հիմնական ում այսան են այրան (10—15 մ) այրան և արդերիների վերը նշված չերտախմբերը մետ կրբնում վերին բայրսի Հայասի հայասին պորֆիրների վերը հրանական ում այրան հեն այրան (10—15 մ)

ւից ցեմենտացված տուֆային նյուներով

ավազաթարհրը՝ թատի միջին մասին, իսկ ավելի վերև տեղադրված սյունաձև դացիտները՝ բատի ձերին մասին։

ЛИТЕРАТУРА — ЧРЦЧЦЪПЬРЗПЬЪ

1 К. Н. Паффенгольц, Армутлы-Кульп, Геологический очерк междуречы среднего и нижнего течений р.р. Дебед и Акстафа. Тр. Всес. геол. объединения, вып. 353, 1934. ² А. Т. Асланян, Стратиграфия юрских отложений Северной Армении. Илл АН АрмССР, 1949. ³ В Ф. Пчелинцев, Фауна доггера окрестностей Алавер и в Заклв-казье (Армения), Изв. геол. ком., т. XVI, № 9, 1927.

1966

ФИЗИОЛОГИЯ РАСТЕНИИ

М. Г. Гезалян

О напряженности водного режима неизолированных листьев и новом методе его исследования

(Представлено чл.-корр. АН Армянской ССР В. О. Казаряном 24/IV 1965)

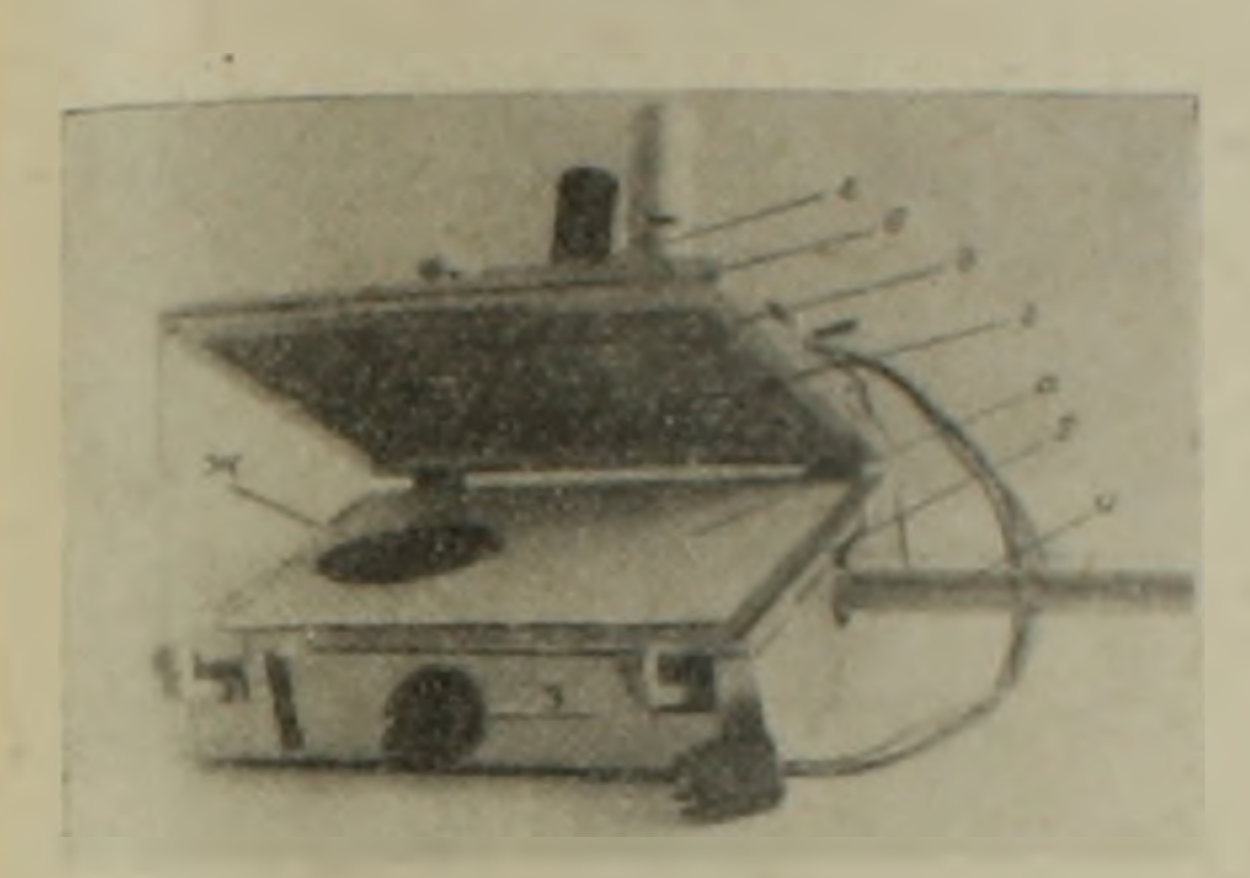
Работами ряда авторов (1-5) установлено наличие водного дефицита в нормально функционирующих листьях. Оценка этого показателя водного режима растений обычно проводится взвешиванием срезанны листьев или вырезанных из них кружков до и после экспозиции их во влажной среде или в воде (2, 6-8). Однако этот метод не позволяет проводить наблюдения за скоростью насыщения листьев водой. Кроме того определения проводятся у изолированных листьев, а поэтому невозможно изучить влияние различных факторов на водный режим одних и тех же листьев в различные периоды онтогенеза или разные часы суток Удаление листьев или высечка кружков нарушает целостность организма и сопряженность физиологических процессов, в то время как имеет ся тесная коррелятивная связь между корневой системой и листьями (1-11) с одной стороны, и между листьями различных ярусов, с другой Поэтому крайне важна разработка методов, позволяющих изучить водный режим неизолированных листьев. В настоящей работе описывается новый способ быстрого определения скорости и уровня насыщения водой неизолированных листьев*.

Метод основан на определении диэлектрической проницаемости исследуемого материала. Известно, что диэлектрическая проницаемость «свободной воды» доходит до 81, в то время как у «связанной» она равна 2.2 (12-13). Вместе с тем свободная вода в листьях составляет подавляющую часть общей воды и в связи с этим величина диэлектрической проницаемости листьев определяется в основном свободной водой.

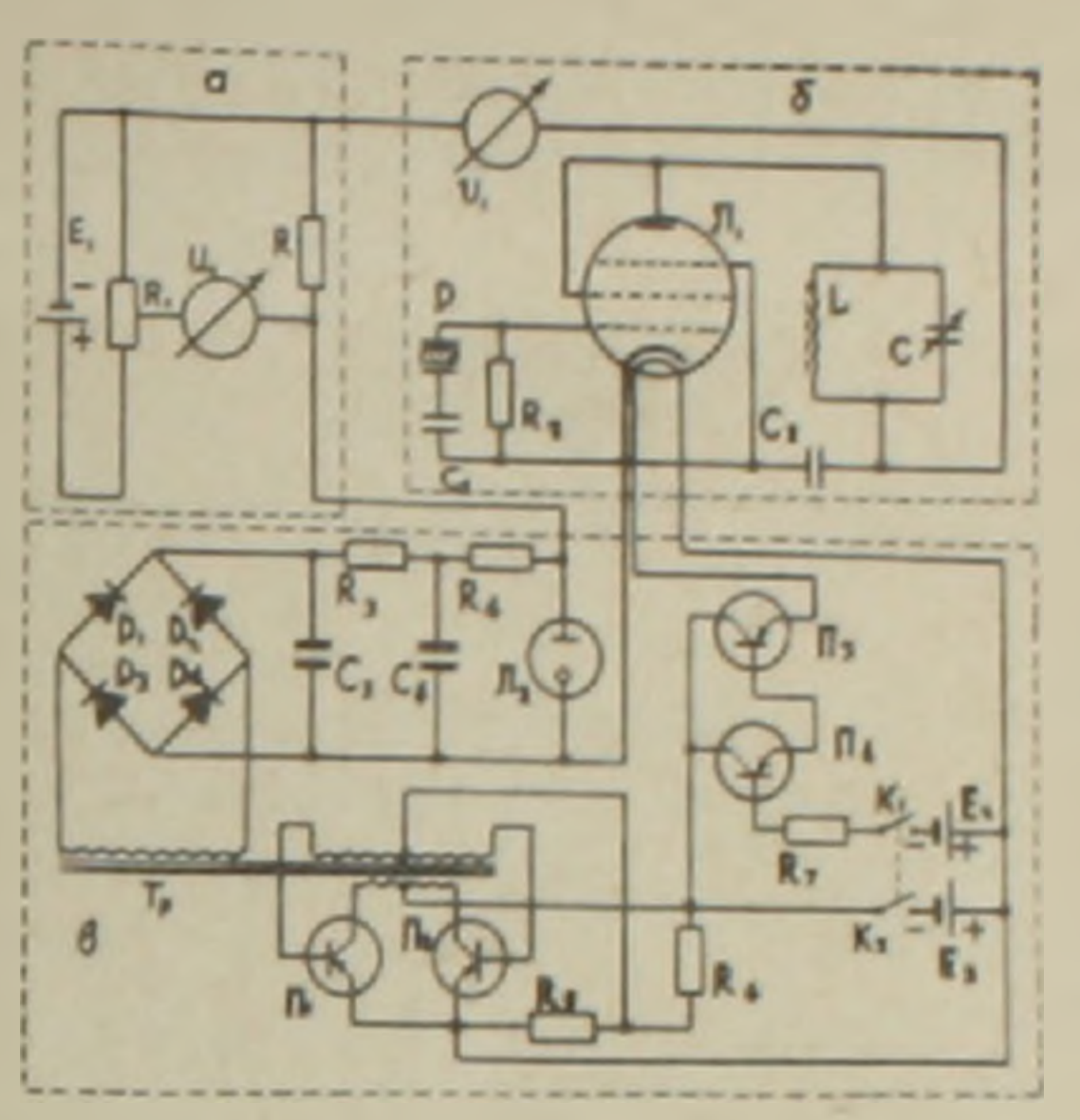
Прибор состоит из трех основных узлов: датчик, измерительный блок и источник питания. Датчик (фиг. 1) является конденсатором специальной конструкции с раздвигающимися обкладками, входящими в контур анодной цепи. Одной из обкладок (а) конденсатора является «кассета», изготовлениая из фольгированного гетинакса. Кассета устанавливается на основу (б), изготовленную из текстолита. Поверхность

Прибор изготовлен в Лабораторни физиологии растении Ботанического ин-та АН АрмССР по предложению и под руководством проф. В. О. Казаряна.

фольги изолирована тонким слоем винифлексового лака. Имеется на бор кассет с различной площадью фольгированной поверхности В каждом отдельном случае выбирается кассета, фольгированная поверхности которой соразмерна с площадью листа и не превышает последнюю.



Фиг. 1. Датчик-конденсатор с генераторным блоком. а обкладка-кассета; б текстолитовая основа; в вторая подвижная обкладка; г латексовая воздушная подушка; д дюралюминевая шайба; е блок генератора; ж активная поверхность неподвижной обкладки; з катушка индуктивности анодного контура; и приспособления для крепления.



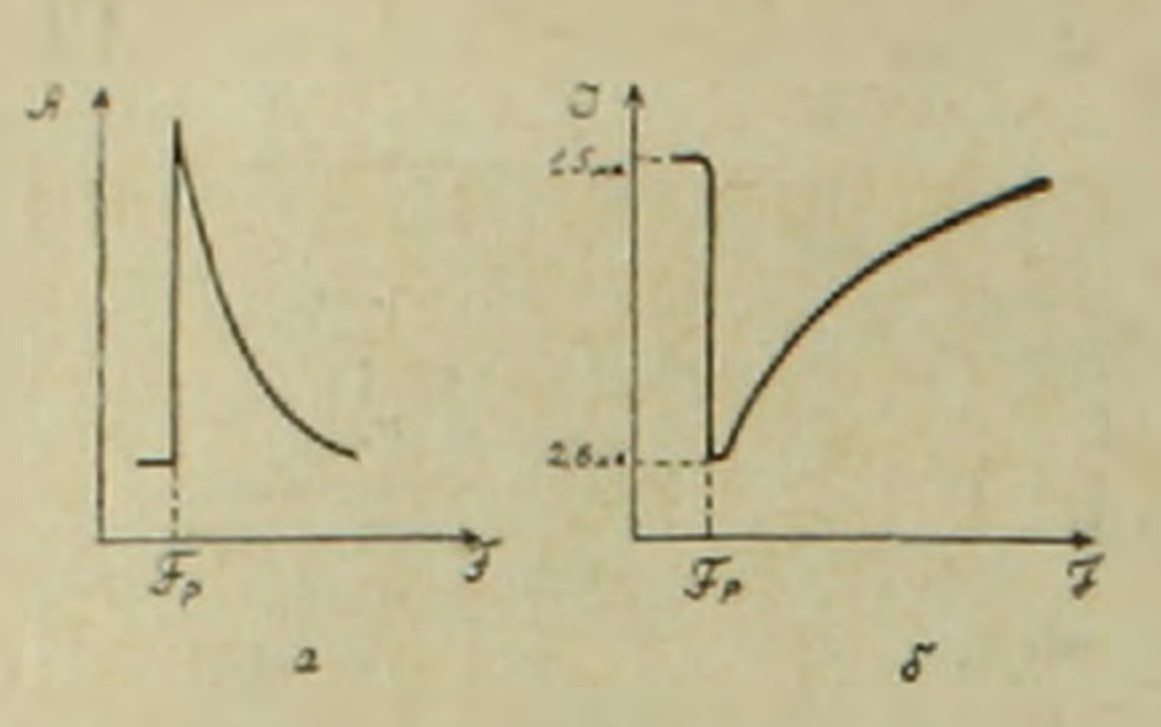
Фиг. 2. Принципнальная электрическая схема прибора. а измерительный блок; б генераторный блок; в блок питания; E₁ 1,6 в; E₂ 6 в; E₃ 7.2 в. И₄ измерительный прибор (М-95, М-198 3, ПСР1-01); Р—кварцевый резонатор; Л—6Ж5П; Л₂—СГЗС; L катушка индуктивности (7 25 мкгн); С датик Д₄ Д₄ Д7Ж; П₃ П₃—П4Д; П₄ П16Б; R 100 ом; R₁ 100 ом С₁—9пф; С₂ 2200 иф.

Вторая обкладка (в) изготовлена из дюралюминиевого листа. На внутренней стороне последнего с помощью дюралюминиевой шайбы прикреплена тонкая латексовая пленка (г), дающая возможность образовывать «воздушную подушку» для герметического закрывания поверхности подопытного листа с целью предотвращения транспирации. Чувствительность прибора зависит от расстояния между двумя обкладками конденсатора. Последняя увеличивается при сближении обкладок.

На наружной сторске верхней обкладки датчика прикреплен блок генератора (фиг. 1, е). Высокочастотный генератор (фиг. 2, б) собран на лампе 6Ж5П по триодной схеме. В цепи сетки включен кварцевый резонатор, резонансная частота собственных колебаний которого равна 5 мггц. Используется первая гармоника основной частоты. Благодари очень высокой добротности (10000—100000) частотная характеристика имеет острый максимум при резонансной частете (фиг. 3, а). Около резонансной точки высокочастотная ветвь падает постепенно. Последняя около максимума прямолинейна и в приборе используется именю эта часть в качестве рабочего участка. Незначительные изменения частоты собственных колебаний резонансного контура вызывают большие изменения анодного тока. Зависимость последнего от частоты имеет анало-

тичный характер лишь с той разницей, что при резонансной частоте устанавливается минимальный ток по цепи (фиг. 3, 6).

Контур анодной цепи состоит из описанного конденсатора и спе. циально изготовленной катушки индуктивности (7—25 мкгн) с ферри-



Фиг. 3. Характеристические резонансные кривые. a — характеристика резонатора (A — амилитуда собственных колебаний; F частота; F_p резонансная частота); δ — характеристика анодного тока (J — анодный ток; F частота; F_p — резонансная частота; F_p — резонансная частона; 2.6 ма и 15 ма — пределы измения анодного тока).

товым перемещающимся сердечником. Катушка индуктивности устанавливается на задней части датчика и экранируется ферритовыми кольцами. Датчик целиком экранирован алюминиевым кожухом имеет приспособление для укреплечия на дереве или штативе. Размеры датчика-конденсатора, несущего на себе высокочастотный генератор, не имеют принципнального значения. В приборе имеется также индикатор резонанса, представляющий собой миллиамперметр со шкалой 5 ма.

Генератор соединяется с источни-ком питания и измерительной систе-

мой. Последняя регистрирует изменения анодного тока, вызванного колебанием емкости конденсатора (датчика). При протекании тока через сопротивления в цепи анода имеет место определенное падение напряжения. Амплитуда изменения этого напряжения прямо пропорциональна сопротивлению, согласно уравнению $\Delta U = R \Delta J$, где $\Delta U -$ приращение напряжения, R —активное сопротивление и ΔJ — прирост анодного тока. Из уравнения следует, что с увеличением омического сопротивления (R) соответственно нарастает чувствительность прибора. Напряжение измеряется компенсационным методом (фиг. 2, a). Компенсирующее напряжение берется от сухого элемента типа 1,6 ФМЦ-У-3,2 через переменное сопротивление.

Общее питание осуществляется от аккумуляторной батареи напряжением не менее 6,5 в. Высокое напряжение для питания анода генераторной лампы (105 в) обеспечивается с помощью преобразователя (фиг. 2, в) на транзисторах типа П4Д Для накала лампы собран стабилизатор на транзисторах типа П16Б и П4Д. Опорное напряжение на базу первого каскада стабилизатора подается от 4 последовательно соединенных сухих элементов типа ФБС-0,25. В качестве регистрирующего устройства используется милливольтметр или потенциограф со шкалой не более 10 мв.

Измерения с помощью нашего прибора производятся следующим образом: спустя 30 минут после включения аппарата, исследуемый лист помещается между двумя раздвигающимися обкладками конденсатора и герметически закрывается «воздушной подушкой» из латексовой пленки. При этом уменьшается резонансная частота собственных колебании контура. Поэтому предварительно с помощью ферритового сертования самощью самощью ферритового сертования самощью самощью самощью сертования самощью самощью сертования самощью самощью сертования самощью серт

дечника катушки индуктивности контур расстраивается в сторону высоких частот и после введения листа приводится к минимальной точке. перемещением сердечника верхней точки рабочего днапазона (фиг. 3. а). Затем с помощью переменного сопротивления прибор приводится в нулевое положение, после чего производится запись результатов.

В табл. 1 приведены результаты контрольных опытов. Измерению подвергались специально изготовленные чашки с фильтровальной бу-

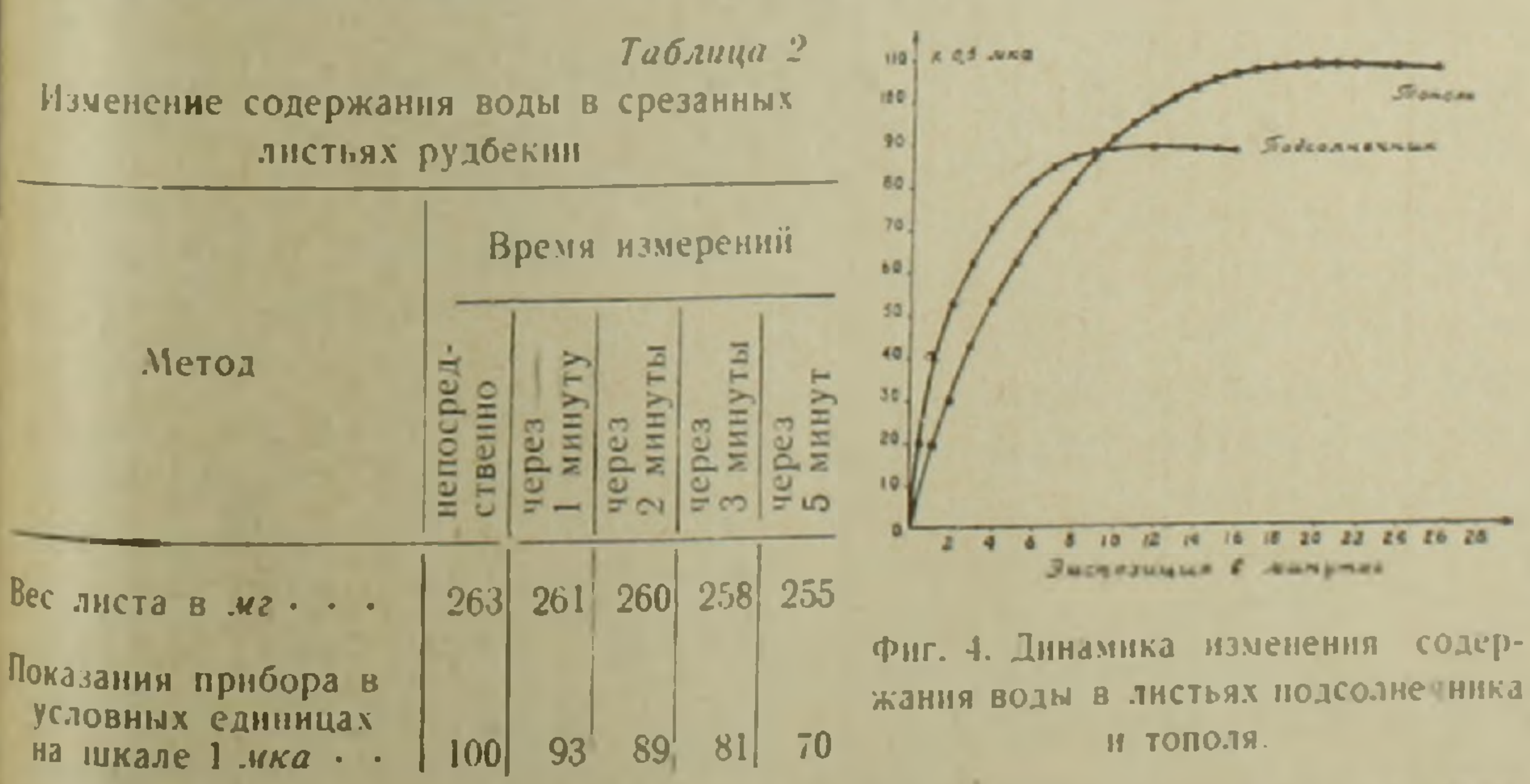
магой, увлажненной различными количествами воды.

Таблица 1 Измерение содержания воды весовым методом и по диэлектрической проницаемости

№ № nn	Вес чашек с бумагой в граммах	Вес чашек с бумагой и водои г	Количество добавляемон воды в % к общему весу	Показання прибора на 5 мка
1	26,37	26,42	0,19	14
2	26,37	26,47	0,37	30
3	26,37	27,52	0,54	45
4	26,37	28,55	0,66	61
5	26,37	28,61	0,84	78

Приведенные цифры показывают, что параллельно с увеличением количества воды нарастает и диэлектрическая проницаемость. Кроме того выявляется высокая чувствительность аппарата к малейшему изменению содержания воды. Предельная чувствительность равна 0.25 иг воды на 1 деление регистрирующего прибора, типа М-95 на шкале 1 мка.

Аналогичные данные получены в другой серии опытов, проведенных с рудбекней. Листья непосредственно после срезания взвешивались н определялась диэлектрическая проницаемость через 1, 2, 3 и 5 мин. Полученные результаты (табл. 2) показывают, что с уменьшением



листьях количества воды соответственно падает и диэлектрическая проницаемость листа.

Изучалась также динамика насыщения неизолированных листьев. На фиг. 4 приведены кривые насыщения листьев подсолнечника и тоголя Они показывают, что через определенное время насыщения листьев водой кривые принимают горизонтальное положение в результате прекращения поступления боды в листья.

Описанный прибор позволяет изучить водный режим листьев в аспекте сезонной и суточной динамики в зависимости от различных факторов: возраста, ярусности, внешних условий и т. д. Простота конструкции и транспортабельность делают возможным проведение наблюдении также в полевых условиях.

Ботанический институт Академии наук Армянской ССР

U. A. ASUBILLSUL

Ռուլսերից չանջացված ռեռևների ջրային ռեժիմի լառվածության և նրա ուսումնասիրության նոր մեթողի մասին

իւսլու վրա։ Առաջարկվում է նոր մեխող, որի օգնությամր որոշվում է բույսերի նույն տերևներում ազատ չրի բանակական փոփոխությունը օրվա տարրեր ժամերին և տարվա տարբեր եղանակներին։ Առաջարկվում է նոր մեխող, որի համեմատարար մեծ դիէլեկտրիկ թափանցելիություն ունե-

ЛИТЕРАТУРА-ЧРИЧИВПРЕЗПРЫ

¹ А. М. Алексеев, Водный режим растений и влияние на него засухи, Казань, Татгосиздат, 1948. ² Л. С. Литвинов, О почвенной засухе и устойчивости к ней растений, Львов, Изд. Львовск. ун-та, 1951. ³ А. Крифтс, Х. Карриер, К. Стокинг, Вода и ее значение в жизни растений, Изд-во ИЛ, М., 1951. ⁴ Н. А. Максимов, Болж., т. 37, № 1, 5—18, 1952. ⁵ Н. С. Петинов, Физиология орошаемой ишеницы, Из-во АН СССР, М., 1959. ⁶ О. Штокер, Ptanta, 7, 382—387, 1929. ⁷ П. Е. Вэдерлей, New, Phytologist, 49, № 1, 1950. ⁶ И. Чатский, ВіоІ. РІапт., 2, № 1, 72—78, (1960). ⁹ В. О. Казарян, Физиологические основы онтогенеза растений, Ереван, Изд. АН АрмССР, 1959. ¹⁰ В. О. Казарян, ДАН АрмССР, т. ХІ, № 4 (1965). ¹¹ И. Чатский ВіоІ. РІапт., 4, № 4, 306—314 (1962). ¹² Н. А. Гусев, Некоторые закономерности возного режима растений, М., Изд. АН СССР, 1959. ¹¹ В. П. Батюк и Е. Ф. Рыбалка, Биофизика*, 4, № 1, 120—122.

ФИЗИОЛОГИЯ РАСТЕНИЯ

В. О. Казарян, чл.-корр. АН Армянской ССР, К. А. Карапетян и И. А. Казарян

О влиянии фотопериодического режима на корневую активность кукурузы

(Представлено 13/VIII 1965)

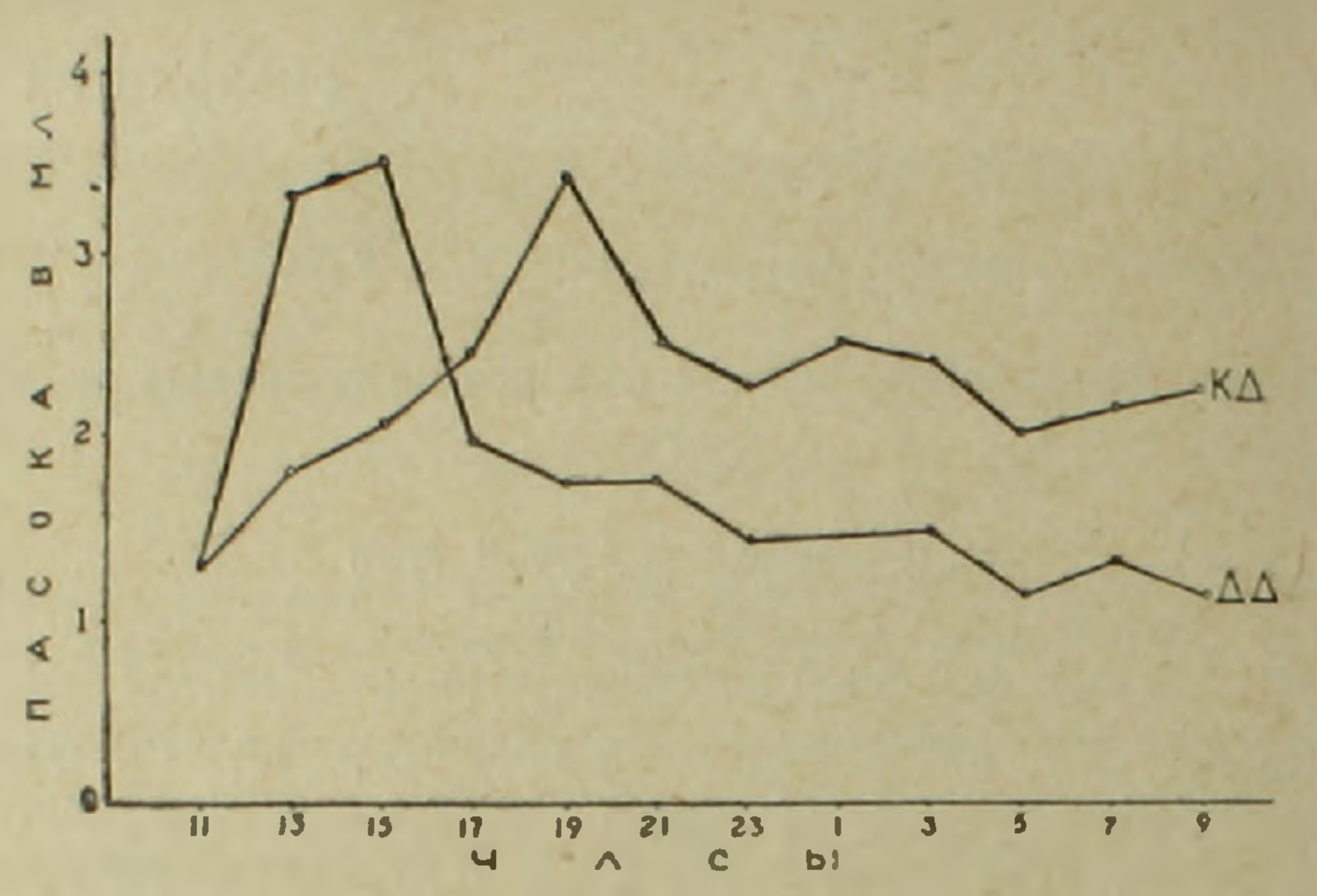
Листья, будучи основной поверхнестью восприятия фотопериодического воздействия, непосредственно реагируют на этот фактор и потвлиянием последнего претерпевают множество физиолого-биохимических изменений. Как установлено (1-6) в листьях короткодневных растений в условиях оптимального для цветения фотопериодического режима изменяется аминокислотный и углеводный обмен. В результате таких специфических обменных и синтетических реакций клетки верхушечной меристемы получают из листьев вещества иного качества, определяющие характер формообразовательных процессов. Наиболее натлядным морфологическим проявлением последних является прекращение вегетативного роста и образование генеративных органов.

Ассимплятами подобного качества в этот период онтогенеза пользуются и корни, которые соответственно меняют направленность ферментативного действия, азотного обмена, а также поглотительную активность (7).

Однако имеется основание предполагать, что реакция корней на фотопериодическое воздействие значительно глубже и охватывает многие звенья жизнедеятельности растений. Этому именно вопросу были посвящены наши исследования, результаты которых излагаются ниже.

Опыты проводились с кукурузой, сорта «Картули круги», выращенной в 10-литровых глиняных вазонах. Начиная с 25/VIII 1961 г. одна группа растений подвергалась короткодневному (8-часовому) фотопериодическому воздействию, другая—продолжала оставаться в условиях сстественного дня с добавочным электрическим светом в вечерние часы. Спустя месяц у растений обеих групп срезывались надземные части для получения пасоки, в которой определялось: содержание аминокислот по методу Лисицкого и Лаурента (8), интенсивность окраски измерялась с помощью спектрофотометра при 510 мр. Углеводы определялись антроновым методом (9), а различные формы азота по Късльдалю, активность пероксидазы и полифенолоксидазы методом Саммнера и Гессинга (10).

Динамика выделения пасоки, как видно из приведенных кривых (фиг. 1), неодинакова у растений, воспринимавших короткий и дли ный день. Общее количество пасоки, выделенной за сутки у растений получивших короткий день, оказалось больше (27,45 мл), чем у другов группы (21,65 мл). Кроме того выяснилось, что более обильное выделе.



Фиг. 1. Суточный ход выделения пасоки у растений, подвергшихся короткодневному (КД) и длиннодневному (ДД) фотопериоду.

ние пасоки у первой группы растений приурочивается к 19 часам, а у второй—к 13—15 часам. Энергичное выделение пасоки у растений, получивших короткии день, по-видимому, связано с образованием метелок. в связи с чем интенсифицируются основные процессы жизнедеятельности—фотосинтез (п 11-12) и особенно транспирация (13-14) и др.

У растений группы коготкого дня сухой вес пасоки оказался также чуть больше (табл. 1). Разница в общем сухом весе пасоки, выделенной за сутки растениями этих двух групп, составляла 22,72 мг.

Таблица 1 Содержание сухого вещества в ласоке кукурузы, получившей различные фотопериоды в течение одного месяца

Группа растении	В мг на 1 мл пасоки	Сухой вес пасоки в .иг, выделенной за сутки
Короткий день	3,73	102,39
Длинный день • • • •	3,68	79,67

Эти цифры наглядно свидетельствуют о повышенной поглотительной активности корней короткодневных растений в отношении минеральных элементов.

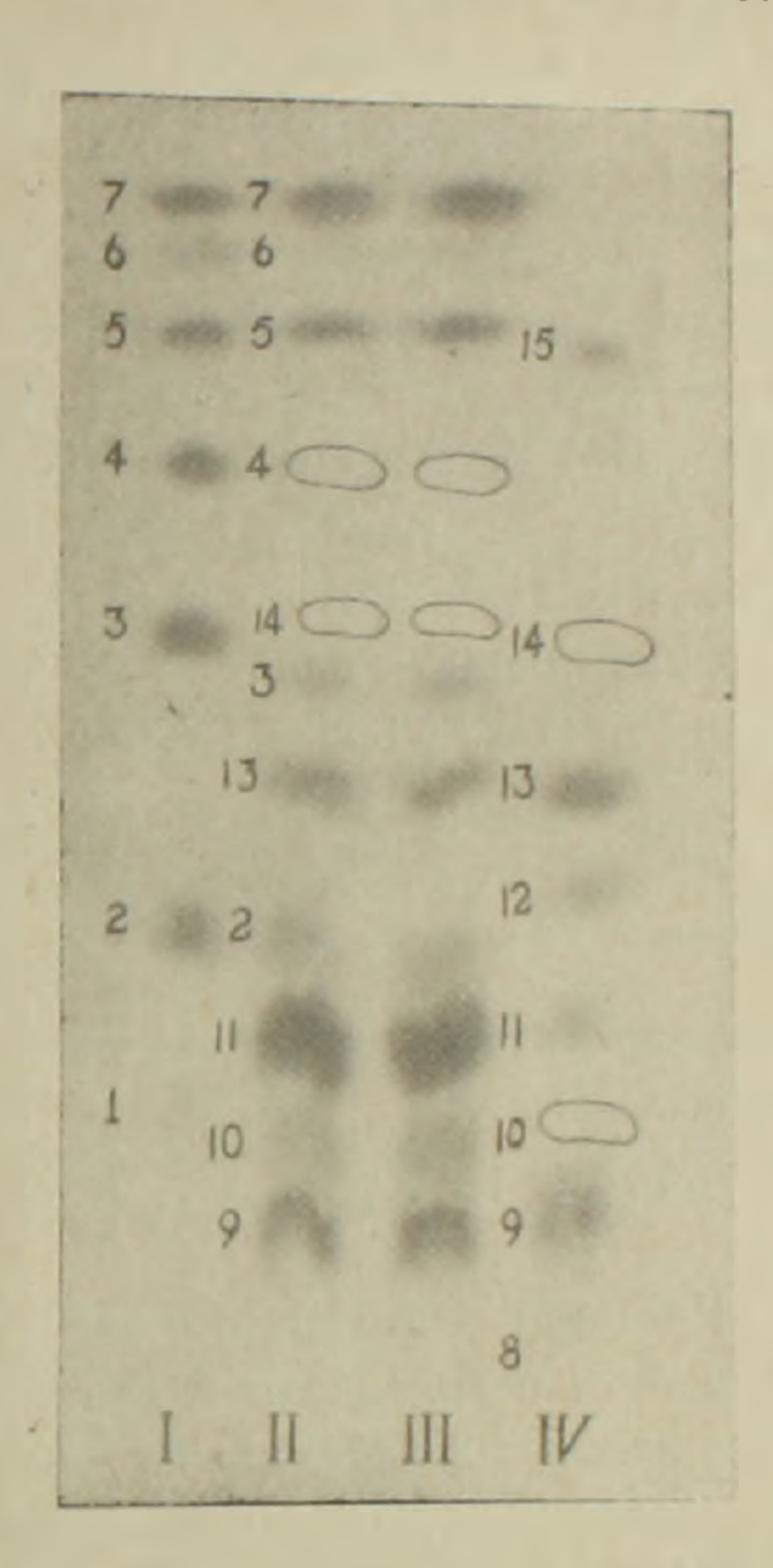
Интересные данные были получены также о содержании аминокислот в пасоке подопытных растений (табл. 2). Этот показатель, как известно, лучше характеризует метаболическую активность корией. Как видно из приведенной хроматограммы (фиг. 2) разницы в аминокислотном составе у обеих групп растений незамечено (в пасоке каждой из них обнаружено по 11 аминокислот), однако в количественном отношении имеется существенное расхождение (табл. 2). Общая сумма всех аминокислот в пасоке растений, индуцированных коротким днем на 21.1 мг больше, что свидетельствует о повышенной метаболической активности.

Таблица 2 Содержание аминокислот в пасоке кукурузы, подверженной 30-ти дневному влиянию коротких или длинных фотопериодов

	В мг на 100 мл пасоки		
Налвание аминокислот	короткий	день	
Лизин—гистидии	6,9 79.0 36,8 5,8 6,0 2,1 6.9 0,4 6.3 1,5 7,8	6,5 67,7 30,6 6,3 5,9 1,8 4,8 0,6 6,0 1,1 7,1	
Сумма аминокислот.	159,5	138,4	

По содержанию белкового азота в пасоке подопытных растений не обнаружена столь существенная разница (табл. 3). Количественное расхождение выявлено по общему и небелковому азоту. В пасоке растений, получивших короткий день, указанных форм азота оказалось на 2 мг больше, что свидетельствует об относительно повышенной поглотительной способности корней короткодневной группы растений.

В пасоке короткодневных групп растений обнаружено и больше са-



Фиг. 2. Хроматограмма аминокислот в пасоке растений, находившихся в течение одного месяца в условиях длинного и короткого дня. І и ІV метчики; ІІ-растения, получившие длинный день. ІІІ растения получившие короткий день. Обозначения аминокислот: І — аспарагиновая к-та; 2— серин; 3 — з-аланин; 4 — х-аминомасляная к-та; 5 — валин; 6 — фенилаланин; 7 — лейцины; 8 — цистин; 9 — лизин-гистидин; 10 — аспарагин; 11 — глютамин; 12— глицин; 13 — глютаминовая к-та: 14 — алании, 15 — метнонии.

харов (табл. 4), что, по видимому, связано с образованием метелок, приводящим к прекращению роста корней. Как показано нами экспериментально на примере краснолистной периллы (15), с наступлением

Световой режим	Азот в мг на 100 мл пасоки			
подопытных растений	общий	белковый	небелковый	
Короткий день	30,1	9,7	20,4	
Длинный день	28,0	9,6	19,4	

фазы цветения прекращается передвижение ассимилятов из листьев в корням. Даже имеющиеся в корнях ассимиляты, направляются к надземным органам, главным образом, к формирующимся и созревающим семенам. Подобное же явление по сути дела наблюдается в этом опыте, где из корней возвращается к надземным органам в основном та форма сахаров, которая и поступала из листьев (сахароза). Последняя, по литературным данным, является основной формой среди сахаров, переходящих из листьев в корни (16 и др.).

Таблица 4 Содержание сахаров в пасоке подопытных растений (в мг на 100 мл пасоки)

Световой режим подопытных растений	Глюкоза	Фруктоза	Сахароза	Общая сум-
Короткий день	3,66	9,33	18,00	30,99
Длиниый день	9,33	4,00	11,33	24,66

Кроме этих анализов в пасоке проводились определения также и активности пероксидазы и полифенолоксидазы. Анализы проводились через каждые 2 часа, начиная с 11 часов до 8 утра следующего дня. В результате установлено, что средняя активность пероксидазы (в мг пурпургалина на 100 мл пасоки) у растений, индуцированных коротким днем, составляла 325,7, а у другой пруппы—354,8. Активность полифенолоксидазы равиялась соответственно 15,5 и 18,3. Таким образом обафермента оказались активнее в пасоке растений, получивших длиннодневные фотопериоды.

Изложенные выше данные наглядно показывают, что оптимальные для цветения фотопериодические воздействия, изменяя обмен веществ листьев, оказывают существенное вличние на корневую активность растений: усиливается поглатительная деятельность и повышается метаболическая активность корней.

Ботанический институт Академии паук Армянской ССР

Եգիպոսցուենի առմատային ակտիվության վւա ֆոտոպեւիոգիկ ազդեցության մասին

տացումը օպտիմալ ֆոտոպնբիողների պայմաններում կապված է ննց այս անգամանքի ներ առա-

սանի է և որ այդ ավդեցությունը առաջին չերթին անդես է գալիս արմատային սիստնմի մեսարոյին գործուննության ուժեղացման մեջ։

Տվյալ հարցի պարղաբանման նպատակով 1964 թ. վեգետացիոն սեզոնում, մեր կողմից փորձեր են դրվել եգիպտացորենի վրա Բույսերի մեկ խումբը պատվել է կարձ, մյուսը՝ երկար օրվա պայմաններում։ Մեկ ամիս անց նրանցից ստացված լացի հյունի մեջ որոշվել է ամինոթթուների կազմը և պարունակությունը, ազոտի տաբրեր ձևերի, ինչպես և շաբարների բանակը, պոլիֆենոլսքսիդազային և պերօքսիդազային ակտիվությունը, գաղափար կազմելու համար փորձի ենքակա երկու խումբ բույսերի արմատների նյունափոխանակության ակտիվության տարբերու-

արևուրավություրը, ետևցևարուղ է տևղտարբևուղ տղիրսելիուրբևի ոիրելելի աևսնրոն արևրելելի անոցրոն արվությար վետ, ուգրվարուղ է լանի չկութի տևտուչսոեն, ղբցարուղ է վրեմերիո ղբձ չսև թյութի արատարիկ արևատարիկ տեղատային դրատեսնիկ տիգորգրել տեղարությունը, ետևցևայի անդենություր է խանրուղ եսւնորեր տևղտային դրատեսնիկ տի-

ЛИТЕРАТУРА-ЧОЦЬЦЬЯ В В В В В

¹ В. О. Казарян и Э. С. Авунджян, ДАН АН АРМССР, т. 27, № 2 (1953).

¹ В. О. Казарян и Э. С. Авунджян, ДАН АН АРМССР, т. 28, № 3 (1959).

³ В. О. Казарян и Э. С. Авунджян и А. А. Карапетян, ДАН АН АРМССР, т. 29, № 3 (1959).

⁴ В. О. Казарян, Э. С. Авунджян и К. А. Карапетян, ДАН АН АРМССР, т. 29, № 5 (1959).

⁵ В. О. Казарян, Э. С. Авунджян и К. А. Карапетян, ДАН АН АРМССР, т. 29, № 5 (1960).

⁶ В. О. Казарян, Физиологические основы онтогенеза растении, Илл. АН АРМССР, 1952.

⁷ В. О. Казарян и Э. С. Авунджян, ДАН АРМССР, т. 20, № 4 (1955).

⁸ С. Лисицкий и Г. Лаурент, Виll. Soc. Chem. biol., 37, 11, 1955.

⁹ Дж. Ром. Јоити. Вiol. Chem., V, 208, № 2, 1954.

¹⁰ Дж. Саммнер и Р. Гессинг, Агсh. Вiochem. 2, 291, 1943.

¹¹ В. М. Катунский, Изв. АН СССР, сер. биол., т. 1, 1939.

¹² В. О. Казарян, Стадийность развития и старения однолетних растении, Изд. АН СССР, 1949.

¹³ В. О. Казарян, Стадийность развития и старения однолетних растении, Изд. АН СССР, 1959.

¹⁴ Н. С. Петинов, Физиология орошаемой пшеницы, Изд. АН СССР, 1959.

¹⁵ В. О. Казарян и Н. В. Балагезян, ДАН СССР, т. 103, № 2 (1955).

¹⁶ Курсанов, Э. И. Выскребенцева, Физиология растений, т. 1, вып. 2, 1954.

ФИЗИОЛОГИЯ

К. А. Астабатян и В. В. Фанарджян

Микроэлектродное исследование электрической активности нейронов зубчатого ядра мозжечка кошки

(Представлено чл-корр. АН Армянской ССР С. А. Мирзояном 30/IX 1965)

При изучении эфферентной деятельности мозжечка важное значеине приобретает анализ организации передаточных реле мозжечкового
влияния. При этом особое внимание должно быть уделено центральным
ядрам мозжечка, которые могут быть рассмотрены не только как первая
станция переключения эфферентных импульсов клеток Пуркинье, но в
как центр их начальной интеграции. В настоящее время наряду с многочисленными морфологическими исследованиями (1—4) слабо изучены функциональные особенности кортико-ядерных проекций мозжечка
(5—1). Настоящая работа посвящена электрофизиологическому анализу
зубчатого ядра мозжечка кошки.

Опыты проводились на взрослых кошках (2,5—3,5 кг) находящихся под смешанным хлоралозо-нембуталовым наркозом. Вскрывались полушарная и червячная области коры мозжечка. Для регистрации нейрональной активности зубчатого ядра использовались вольфрамовые электроды в стеклянной изоляции с диаметром кончика в 15 микров. Это давало возможность одновременного изучения проведения двухтрех и более активных единиц. Отводящий электрод укреплялся на специальном микроманипуляторе, пристроенном к комбинированному стереотаксическому прибору Сцентаготан-Делла и вводился в различные области зубчатого ядра (п. dentatus) согласно разработанным стереотаксическим координатам (7).

Для раздражения коры мозжечка использовались пуговчатые электроды из хлорированного серебра диаметром 0,1 мм. Межэлектродное расстояние варьировало в пределах 0,5—4 мм. В качестве раздражителя применялись прямоугольные импульсы различной частоты, длительностью 0.02—0,5 мсек, амплитудой до 10 вольт или постоянный тексилой 0,1—1 мА. Регистрация производилась с трубки катодного осциллографа на непрерывно движущуюся фотопленку. Анализ деятельности отдельных нервных единиц производился визуально посредством выделения и подсчета равноамплитудных спайков.

Эксперимент завершался гистологическим контролем местоположе-

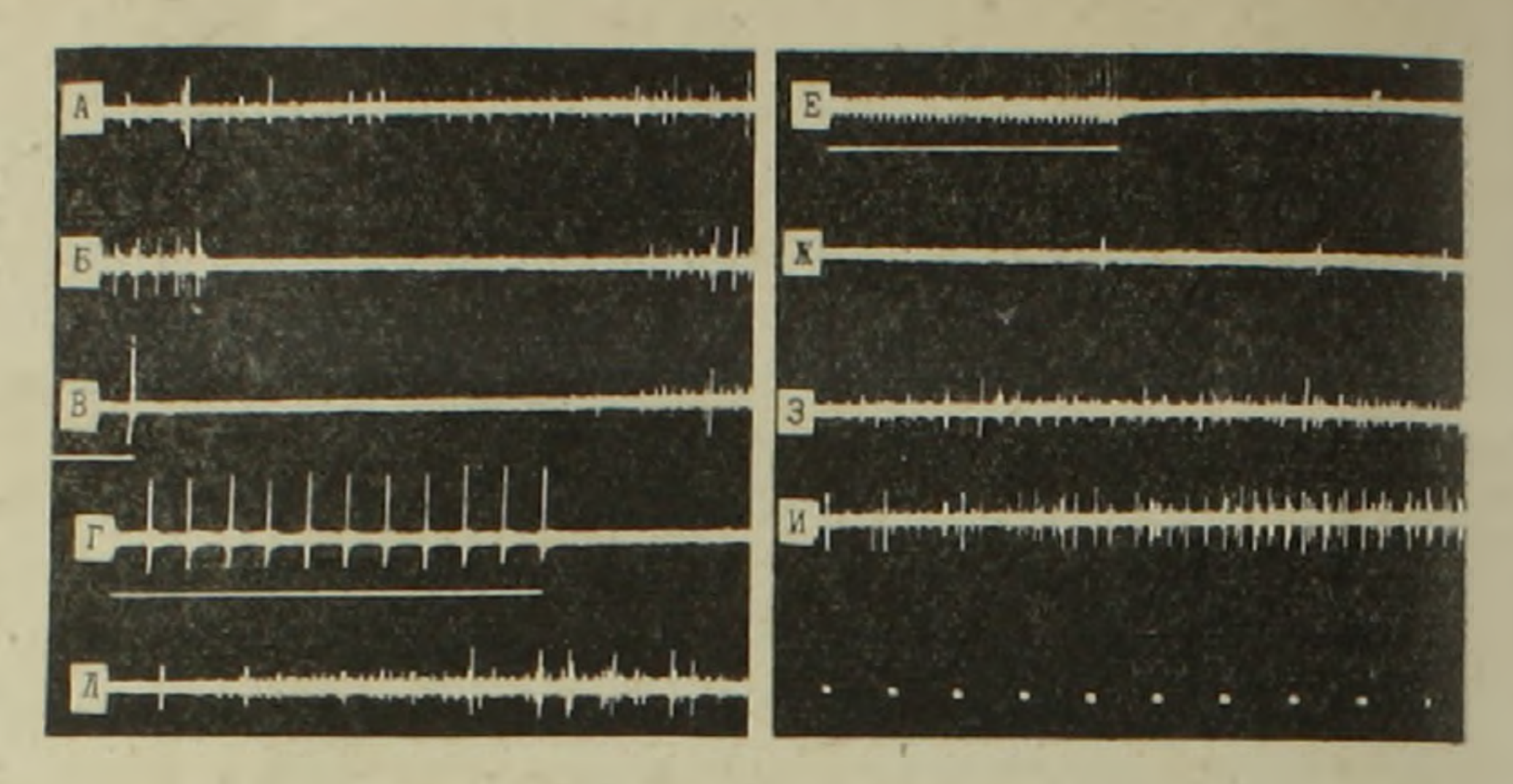
Проведенные эксперименты показали, что спайковая спонтанная активность непрональных элементов зубчатого ядра мозжечка в большинстве случаев характеризуется частотой от 1-го спайка в несколько секунд до 50 спайков в секунду. Все исследованные единицы по их частотной характеристике ориентировочно подразделялись на следующие группы:

1) единицы с частотой спайковой активности от одного спайка в несколько секунд до двух-трех спайков в секунду; 2) единицы с активностью 6—15 в сек.; 3) единицы с частотой 22—50 в сек.

Последние две группы встречались чаще. Наряду с указанными группами отмечались нейроны с промежуточной частотой спаиков. Описанная активность различных элементов зубчатого ядра выявлялась в виде одиночных, парных и групповых спаиков. Наблюдались также молчащие» единицы. Амплитуда зарегистрированных спайков доходила до 1,5 мв. Обычно наиболее высокую амплитуду имели низкочастотные спайки.

В ответ на раздражение коры мозжечка наблюдались изменения спанковой спонтанной активности элементов зубчатого ядра. Эти изменения обнаруживались при раздражении полушарных, ипсилатеральных по отношению к исследуемому ядру, областей коры мозжечка.

Наиболее характерным эффектом было торможение спонтанной активности элементов зубчатого ядра. Этот тип влияния представлен на фиг. 1, на которой зарегистрирована спонтанная активность, характеризующаяся наличием двух основных типов спайков: высокоамплитудных, возникающих в виде групповых вспышек (6—10 спайков) с интервалом до 500 мсек и сравнительно низкоамплитудных спайков следуюших с частой 20 сек (А). Одиночный прямоугольный импульс, приложенный к ножке II петлевидной дольки коры мозжечка, привел к полному торможению всех типов активностей в течение 680 мсек (Б). К тому же эффекту приводило раздражение с частотон 5 в сек. (В). На фиг І (В) виден последний артефакт раздражения Наблюдаєтся полное торможение спайков как в течение раздражения, так и по его прекращении до 680 мсек. Кривая фиг. 1 Г иллюстрирует эффект раздражения с частотой 20 в сек. В этом случае торможение сохраняется до 1.1 сек. по прекращении раздражения. Последовательность выхода из орможения при этом дана на кривой Д. При раздражении с частотой 100 в сек. (фиг. 1 Е) имеется эффект сходный с предыдущими лишь с той разницей, что торможение продолжается до 7-10 сек. после прекращения раздражения. Постепенная активация единиц видна на кривых фиг. 1 Ж, З. На кривой фиг. 1 И показан феномен последействия, который наблюдался при любых частотах раздражения. Видно, что высокоамплитудные спайки в процессе отдачи не имеют прежнего вида трупповых вспышек (по сравнению с А) и следуют с частотой до 30 в сек. Частота низкоамплитудных спанков также увеличена до 30 в сек.



Фиг. 1. Тормозные эффекты раздражения коры мозжечка (пожка 11, петлевидиая долька) на нейрональную активность ипсилатерального зубчатого ядра. А — спонтанная активность единиц зубчатого ядра; В — влияние одиночного раздражения коры мозжечка на активность единиц зубчатого ядра; В — то же с частотой 5 в сек.; Г — то же с частотой 20 в сек.; Д — продолжение Г; Е — влияние раздражения с частотой 100 в сек; Ж, З — продолжение Е; И — феномен последействия. Мозжечок раздражается прямоугольными импульсами длительностью 0.1 мсек., напряжением 5 в. Одиночное раздражение отмечено точкой, частотные—прямой линией. Отметка времени по 100 мсек. Кошка под хлоралозо-нембуталовым наркозом. То же на остальных фигурах.

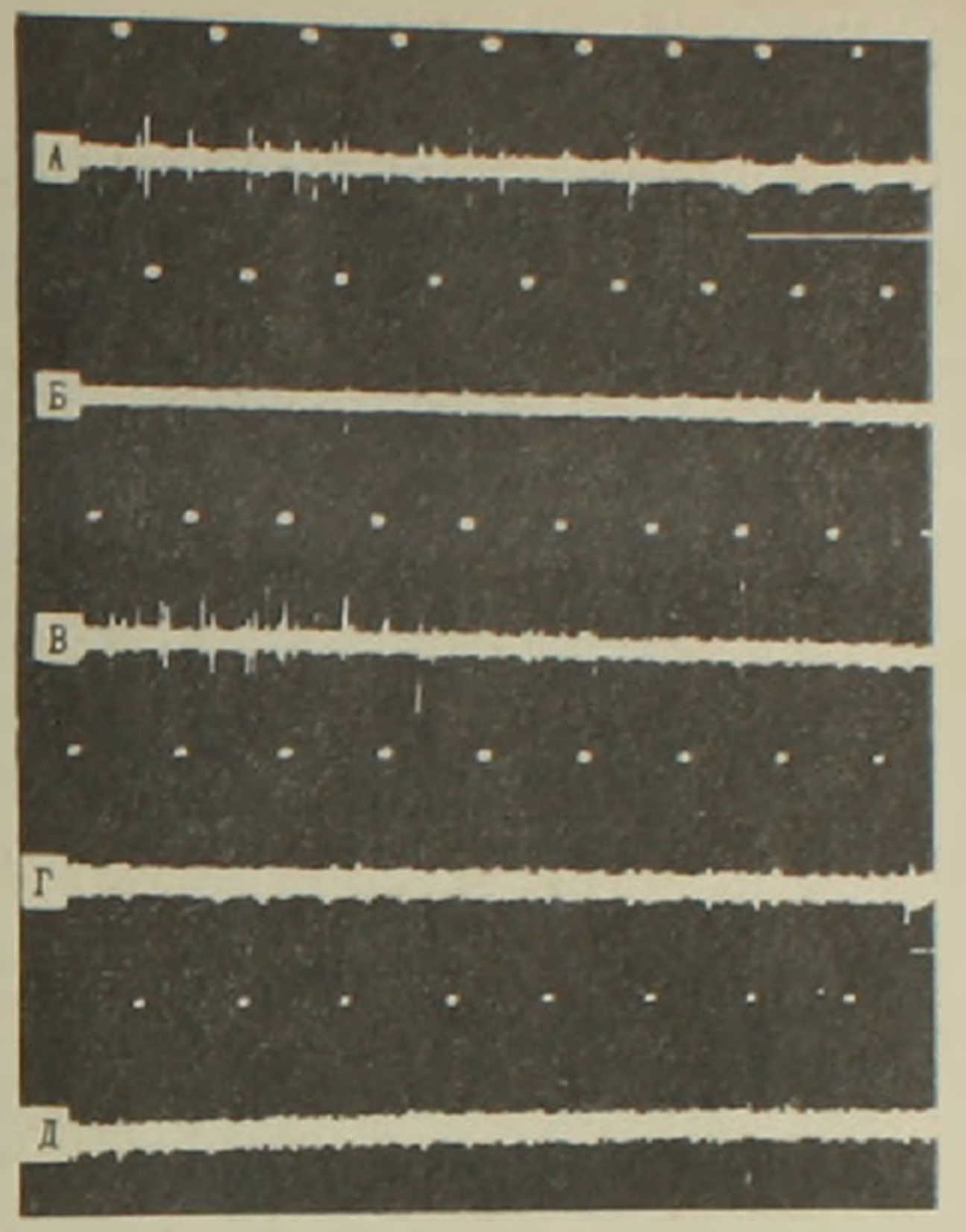
Впоследствии восстанавливается исходный фон. В описаннем эксперименте местоположение как раздражающих, так и отводящих электродов не изменялось.

Кроме всего вышеотмеченного обращает на себя внимание тот факт, что при раздражении любой частотой в случае тормозного влияния сохраняется одна и та же последовательность выхода из торможения (фиг. 1 Б, В, Д, Ж, З), а именно, в первую очередь высвобождаются низкоамплитудные единицы, а затем-высокоамплитудные. Надо отметить, что эта последовательность обнаруживалась и при раздраженин постоянным током. Это позволяет предполагать наличие сходного механизма при развитии тормозных эффектов в ответ на различные частоты раздражения коры мозжечка. Дальнейшее изучение феномена последействия показало, что в ряде случаев процесс высвобождения нейрональных элементов зубчатого ядра от тормозного воздействия можег сопровождаться вовлечением новых единиц, ранее необнаруживаемых в спонтанной активности. Пример этого иллюстрирует фиг. 2, на которой зарегистрирована спонтанная активность трех единиц: высокоамплнтудной с частотой 9 в сек., среднеамплитудной—18 в сек., низкоамплитудной—10 в сек. (фиг. 2А). Раздражение коры мозжечка с частотой 20 в сек, приводит к полному торможению всех типов активностей тфиг. 2 А, Б) с последующим выходом их из тормозного состояния (фиг. 2 Б, В). При этом наряду с учащением активностей вышеописанных трех типов единиц (см. фиг. 2 А) наблюдается появление активностей повых единиц — редких гигантских спайков (фиг 2 В). В случае слабой

фоновой активности (фиг. 2 Г) включение новых единиц в фазе послечействия особенно показательно (фиг. 2 Д). Аналогичный эффект наблюдался и при раздражении коры мозжечка постоянным током.

В некоторых случаях было отмечено избирательное тормозное влияние раздражения коры мозжечка на непрональные элементы зубчатого ядра, при котором наблюдалось полное подавление активности одних элементов и отсутствие заметных влияний на другие (фиг. 3 б). Редко раздражение полушарных отделов мозжечка не приводило к каким-либо изменениям спонтанной активности единиц зубчатого ядра (фиг 3A).

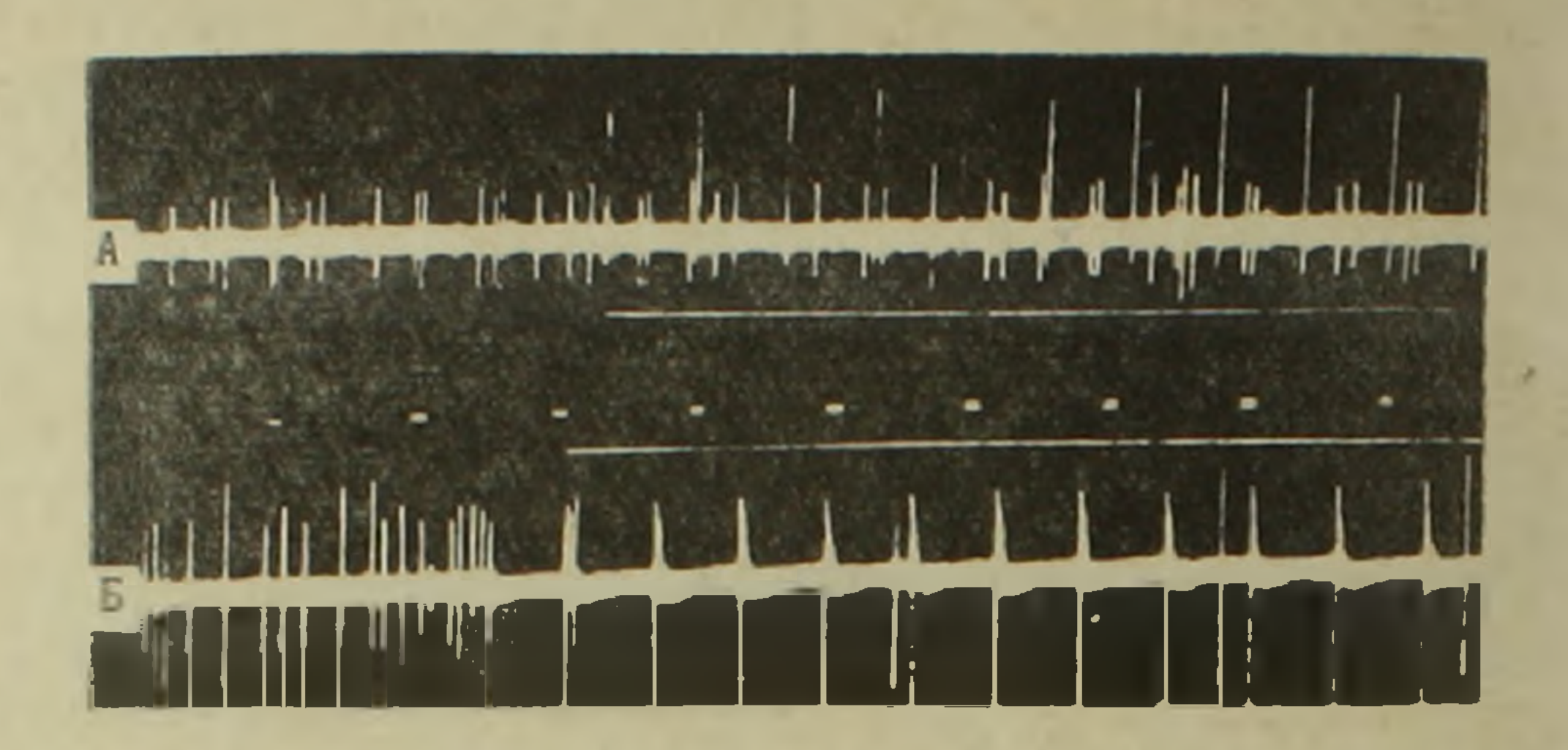
Наряду с вышеописанными тормозными влияниями были жены облегчающие эффекты на нейрональную активность зубчатого ядра при стимуляции коры мозжечка. В опыте, представленном на фиг. 4, спонтанная активность, регистрируемая из зубчатого ядра, выражалась парой спайков, возникающей каждые 4—5 сек. Избранный масштаб времени не позволил показать этот тип спонтанной активности на фигуре из-за редкого его возникновения. Раздражение коры мозжечка с частотой 20 в сек. привело к возрастающему облегчающему эффекту,



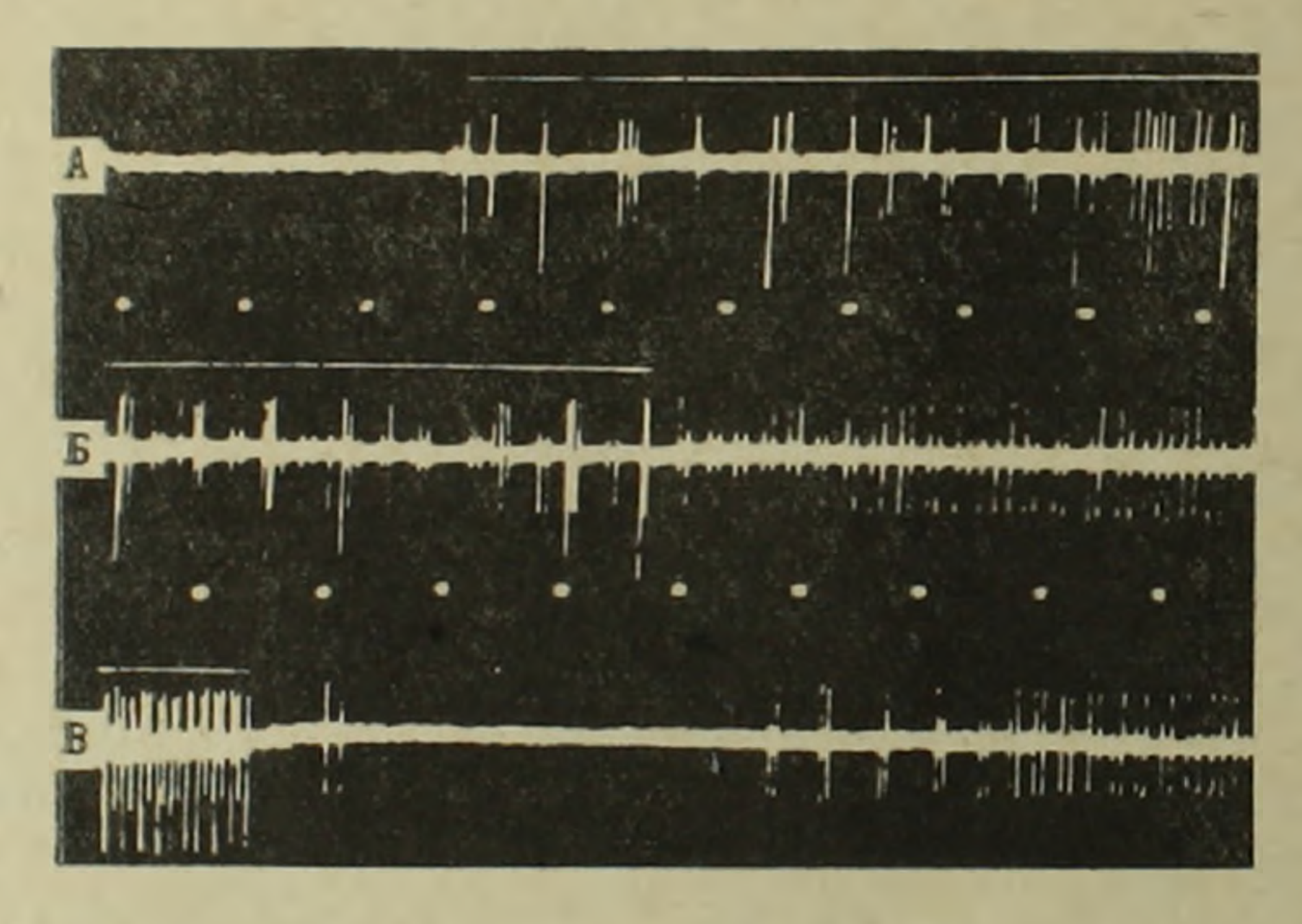
фиг. 2. Феномен последействия непрональной активности зубчатого ядра от раздражения ипсилатеральной коры мозжечка. А-торможение спайковон активности зубчатого ядра при раздражении медиального лепестка ножки II петлевидной дольки коры мозжечка (частота — 18 в сек.; дл. имп. — 0.1 мсек; напряж. — 5.0 в); B, B — продолжение A. Развитие феномена последействия; Г другой опыт. Раздражение ножки 1 петлевилной дольки коры мозжечка (частота 18 в сек; дл. 0.5 мсек; напряж. 5 в). при отсутствии спайковой активности в регистрируемой точке зубчатого ядра; Д — продолжение Г. Феномен последействия. Активация ранее "молчащих" единиц. Отметка времени по 100 мсек.

который сохранился и после прекращения раздражения в течение 700—800 мсек (фиг. 4 А. Б.). Такая же картина наблюдалась и при раздражении более редкими частотами (1—5—10 в сек.). Облегчающий эффект был получен и при высокочастотном раздражении того же участка коры мозжечка. Однако в этом случае, в отличие от предыдущего, прекращение раздражения сопровождалось торможением активности. Алящимся 400—500 мсек. после чего регистрируемая единица вновь разряжалась с нарастающей частотой в течение 700 мсек (фиг. 4 В.) Впоследствии восстанавливался исходный фон спонтанной активности. Таким образом, на примере описанного эксперимента видно, что в случае облегчающего влияния, различные частоты раздражения коры мозжечка сочающего влияния, различные частоты раздражения коры мозжечка со

провождаются разными эффектами последействия нейрональной активности зубчатого ядра.



Фиг. 3. А — отсутствие влияния раздражения петлевидной дольки коры мозжечка (частота 18 в сек; дл. — 0,5 мсек; напряж.—5 в) на спанковую активность зубчатого ядра; Б — избирательное тормозное влияние раздражения ножки I петлевидной дольки коры мозжечка (частота 18 в сек; дл. — 0,5 мсек, напряж. —4,5 в) на активность различных нейрональных элементов зубчатого ядра. Гигантские спайки не подавляются. Отметка времени по 100 мсек.



Фиг. 4. Облегчение спайковой активности инсилатерального зубчатого ядра при раздражении ножки П петлевидной дольки коры мозжечка (дл.— 0,5 мсек; напряж. 4,5 в). А — возникновение спайков в ответ на каждый стимул в цепи раздражения. Частота раздражения 18 в сек; Б — продолжение А. Эффект облегчения усиливается после прекращения раздражения; В — облегчающее влияние раздражения коры мозжечка с частотой 100 в сек. По прекращению раздражения наблюдается тормозное последействие, сменяющееся облегчением спайковой активности зубчатого ядра. Отметка времени по 100 мсек.

Заключение. Спонтанная активность первных единиц зубчатого ядра мозжечка кошки характеризуется спайковой активностью частотой от одного в несколько секунд до 50 спайков в секунду.

Раздражение полушарных областей коры мозжечка приводит к орможению одних единиц и к облегчению других. Чаще наблюдается ормозное влияние. По прекращению раздражения коры мозжечка в большинстве случаев наблюдается выраженный феномен последействия.

В случае облегчающего влияния раздражения коры мозжечка обнаруживается зависимость характера последенствия от частоты приложенных импульсов. Эта зависимость не выявляется в случае тормозного влияния. Поэтому предполагается наличие сходного механизма при развитии тормозных эффектов в ответ на различные частоты раздражения коры мозжечка.

Институт физиологии им, акад. Л. А. Орбели Академии наук Армянской ССР

Կ. Ա. ԱՍՏԱԲԱՏՅԱՆ Ե Վ. Վ. ՖԱՆԱՐՋՅԱՆ

<mark>Կառվի ուղեդիկի առ</mark>ամնավու կուիզի նելւոնների էլեկուական ակցիվության միկւոէլեկուողային հեռագոռությունը

Սա<mark>տուննրի մոտ, սուր վւորձնրում ուսումնասիրվ</mark>ել են ուղեղիկի ատամնավոր կորիզի նեյրոայ տ<mark>արրերի ինքնածին և </mark>Տրահրված ակտիվության առանձնահատկությունները։

Ողտագործվել է առանձին նեյրոնալ միավորների սպայկ ակտիվության միկրոէլեկտրոդալին գրառման մենոդը։

Սյունը տատանվում է մի թանի վայրկյանի ընքացքում 1-ից մինչև 50 սպայկ մեկ վայրկյանում սուսության անարակում է մի թանի վայրկյանի ընքացքում 1-ից մինչև 50 սպայկ մեկ վայրկյանում

Հայտնաբերվել է ուղեղիկի կեղեի տարբեր հատվածների արգելակիչ և հեշտացնող ազդեցունյան հետաղության էֆեկտները, որոնք ստացվում են ուղեղիկի համանման կողմի կիսագրնոր հեղանության էֆեկտները, որոնք ստացվում են ուղեղիկի համանման կողմի կիսագրնորի կեղեր թլթիկների դրգոման ժամանակ։

ЛИГЕРАТУРА-ЧРИЧИННЫ ПРЕЗПИ

¹ Я. Янсен, А. Бродал, J. Comp. Neurol., 73, 267—321, 1940. ¹ Я. Янсен, А. Бродал, Aspects of cerebellar anatomi, Oslo, 1954. ¹ Д. Гудман, Р. Галлет, Р. Велч, J. Comp. Neurol., 121, 51—63, 1963. ¹ П. Игер, J. Comp. Neurol., 120, 81—104, 1963. ¹ Ардуини, О. Помпеано, Arch. Ital. de Biol., 95, 56—70, 1957. ¹ М. Ито, М. Иошида. К. Обата, Experientia, 20, 575—577. 1964. ¹ Р. Снайдер, В. Нимер, А stereotaxic atlas of the cat brain. Chicago, 1961.

XLII

1966

физиология

С. А. Мирзоян, чл.-корр. АН Армянской ССР, и Р. А. Григорян

Предупреждение возникновений экспериментальных язв желудка джермукской минеральной водой и некоторая зависимость наблюдаемы; эффектов от изменения гистаминопексической способности тканей

(Представлено 1/П 1966)

Изучение действия минеральных вод на проявление защитных реаккий организма при нанесении презвычайных и вредоносных раздражителей следует считать наименее исследованной в экспериментальной курортологии. Между тем минеральные воды по своим физико-химическим свойствам и многогранностью действия, по-видимому, наиболее способны проявить предупреждающий эффект на воздействие патогенных факторов внешней и внутренней среды.

И. П. Павлов (1), характеризуя влияние минеральных вод, подчернивал, что «...если во всевозможные лечебные средства примешиваются и должны быть учтены различные стороны действия, то в особенности это нужно сказать о действии минеральных вод, которое состоит из целого ряда элементов, значение которых еще не оценено».

Приступая к выполнению настоящей работы, мы считали необходимым, во-первых, обнаружить участие курсового приема джермукской минеральной воды в защите стенки желудка от рефлекторной язвы, вовторых, сопоставить эффекты предупреждения возникновений язв желудка джермукской водой от изменения гистаминопексической способности (ГПС) тканей желудка.

При этом гистаминопексическая (2) и гистамино-формирующая способности (3) рассматриваются как проявление приспособительных реакций организма на чрезвычайные раздражители.

Обращает на себя внимание то, что первые наблюдения были проведены на людях. Обнаруживается, что сыворотка здорового человека (4-5) обладает способностью нейтрализовать гистамин, а сыворотка больных с аллергическими заболеваниями лишена гистаминопексического свойства (6). В дальнейшем (7) устанавливается, что сыворотка больных с язвой желудка и двенадцатиперстной кишки в стадии обострения также лишается гистаминопексического действия. Между тем как сыворотка здорового человека связывает около 30% добавленного к ней гистамина (8). Детальный экспериментальный анализ показывает (9, 10), что сыворотка некоторых видов животных, особенно морских свинок и крыс, обладает способностью связывать гистамин, при этом результаты опытов свидетельствуют, что помимо крови и другие ткани

животных — мозг, печень, желудок, кишки легкие и кожа обладают гистаминопексической способностью. Эти исследования подтвердились и в опытах с использованием меченого гистидина (11)

Противоязвенное действие джермукской минеральной воды изучаись на белых крысах в условиях предварительного приема минеральной воды на 10-и, 15-й, 20-й, 25-й дни до нанесения раздражителя на пилородуоденальную область желудка. Одновременно проводились и морфологические исследования.

Определение гистаминопексической способности тканей желудка проводилось в норме на 5-й, 10-й, 15-й, 20-и, 25-й дни приема минеральной воды и в условиях воспроизведения рефлекторной язвы желудка (12).

Через 24 часа после вызывания рефлекторных язв животные забивались и извлекались желудки. Макроскопически осматривалась слизистая оболочка желудка, подсчитывалось количество видимых эрозий и язв, определялся размер последних. Условное деление язв на мелкие, средние и крупные производилось на основании величины их диаметров: мелкие от 0,5 до 1,5 мм, средние от 1,5 до 2,5 мм, крупные от 2,5 мм и больше. Одновременно брались кусочки тканей желудка для определешя их гистаминопексической способности в различные периоды курсового приема минеральной воды Джермук в норме и патологии.

Гистаминопексическое свойство тканей желудка определялось хроматографическим методом (13) с некоторой модификацией (10). Обычно для анализа брались 2—3 желудка. Подопытные животные нахолильсь на определенном пищевом режиме Опыты поставлены на 90 белых крысах.

Результаты исследования показывают, что при приеме джермукской минеральной воды обнаруживается высокое противоязвенное действие и степень выраженности его находится в определенной зависимости от продолжительности приема минеральной воды.

У контрольной группы животных при вскрытии желудка через 24 часа после нанесения травмы на дуоденальную область в 80—100% случаев наблюдались большие деструктивные изменения в стенке желудка. Отмечалась резкая отечность слизистой, гиперемия, синюшность, разлитые и точечные геморрагии. Наряду с этим обнаруживались эрозии и множественные язвы.

Между тем как у подопытных животных, которые предварительно перед нанесением травмы пили джермукскую минеральную воду, де структивные поражения слизистой желудка составляли незначительный процент.

Наиболее существенным в проявлении защитного действия джермукской воды было то, что предупреждались образования язвы, слизистая оставалась бледно-розовой, складчатость ее была сохранена.

Анализ данных показывает, что на 10-и день предварительного приема минеральной воды Джермук деструктивные изменения в стенке желудка составляли не больше 8%, на 15-и день они уменьшались до

1%. на 20-й день наблюдался подскок до 8%, а на 25-й день отмечается полное отсутствие язвы (фиг. 1)



Таким образом, из полученных экспериментальных данных явствует, что прием минеральной воды Джермук обнаруживает выраженную способность защитить стенку желудка от рефлекторной язвы. В этом и следует усматривать большую профилактическую роль минеральной воды. Сопоставляя литературные данные по зищите стенки желудка фармакологическими средствами от рефлекторной язвы (14) с предупреждающими эффектами минеральной воды, следует подчеркнуть, что предварительный прием минеральной воды. Джермук обнаруживает более выраженное дейстие, чем лекарственные препараты.

Результаты опытов с определением гистаминопексической способности тканей желудка в период курсового приема джермукской воды в порме и при язве желудка в условиях предварительного ее приема показывают, что заметно повышается гистаминопексическая способность тканей желудка. Данные представлены в табл. 1.

Таблица 1 Влияние курсового приема джермукской минеральной воды на гистаминоп ксическую способность тканей (в процентах связывания гистамина)

Прием минеральной воды	ГПС	Р
Норма 5-й день	53±1,0 55±1,0 80±1,1 71±1,3 72±2,0 83±0,9	0,5 >0,02 0,25 0,25 >0,02

Как видно из таблицы, в первые 5 дней ежедневного приема минеральной воды ГПС составляет $55\pm1.0\%$.

На 10-й день приема джермукской минеральной воды гистаминопексический эффект равен 80±1,1%. На 15-й, 20-й день прием воды увеличение гистаминопексической способности ткани статистически недостоверно.

Наиболее выраженное нарастание ГПС отмечается на 25-и день приема и составляет $83\pm0.9\%$. В контрольных опытах с пресной водой гистаминопексия равна $53\pm1.0\%$.

Результаты определения гистаминопексической способности стенки поврежденного желудка в условиях предварительного питья минеральной воды также показывают нарастание эффекта гистаминопексии, причем наиболее выраженная гистаминопексия обнаруживается на 20-й день приема воды—84%. На 25-й день наблюдается определенное понижение гистаминопексической активности и составляет 70%. Обращает на себя внимание, что гистаминопексия поврежденного желудка с предварительным приемом джермукской минеральной воды выражена сильнее, чем ГПС тканей желудка с рефлекторной язвой без предварительного питья минеральной воды, где ГПС равна 64,5%. Сопоставляя результаты опытов с предупреждением поражений желудка джермукской иннеральной водой, с данными гистаминопексической активности тканей желудка, можно заключить, что наблюдается некоторая взаимосвязь и взаимообусловленность.

Установленный факт свидетельствует о защитной роли гистаминопексической способности тканей желудка в условиях патологии. Следовательно, гистаминопексия является одним из эффективных защитных механизмов организма, нарушение которой может иметь определенное значение, особенно в патогенезе язвенной болезни.

Таким образом, обнаруживаются новые стороны действия минеральной воды, имеющие весьма существенное значение в профилактике заболеваний желудочно-кишечного тракта.

Институт курортологии и физических методов лечения Министерства здравоохранения Армянской ССР

Ս. Հ. ՄԻՐՋՈՅԱՆ, Հայկական ՍՍՌ ԳԱ թղթակից-անդամ, և Ռ. Ա. ԳՐԻԳՈՐՅԱՆ

Սոամոքսի խոցի առաջացման կանխումը Ջեւմուկ հանքային ջողվ և նոտ որոշ կապը հյուսվածքի հիսոսմինոպեկսիկ հաշկության փոփոխության հեշ

Աիտվավանակ արևային չրի կուրսային ընդունման պայմաններում, ցույց և տալու Սիաժաման Ջերմուկ Հանքային չրի կուրսային ընդունման ընթացրում նորմայում և պաթո-

փոռողիրսանիրի փության հանցևանուղ եսնսև փանցրևում։

Հայտնաբերված փաստր ցույց է տալիս ստամոքսի հյուսվածքի հիստամինոպեկսիկ կության պաչտպանողական դերը պաթոլոգիայի պայմաններում։

Այսպիսով :այտնարերվել է հանքային օրի ազդեցության նոր կողմ, որն ունի էական նակություն ստամոքս-աղիքային տրակտի ախտահարումների պրոֆիլակտիկայում։

ЛИТЕРАТУРА— ԳРԱԿԱЪПЬРЗПЬЪ

1 11. Павлов, Полное собрание грудов, т. 5, 361, 1949. В Ж. Л. Парро, Д А Юркюв, С. Лаборд, С. R. Soc. Biol., v. 145, № 11—12, 885, 1951. В Г. Карлсон, Рымперен Елза, Annual review of pharmacology, vol. 5, 305, 1965. В Р. Бенда, Д КОркюв, С. R. Soc. Biol., v. 142, 167, 1948. В Ж. Л. Парро, Д. А. Юркюв, С. Лаборд, С. R. Soc. Biol., v. 145, № 13—14, 1045, 1951. С. А. Кассиль и П. Л. Вайсфельв, Патфизиол № 3, 16, 1959. Л. М. Пишмова и Ю. П. Бородин, "Советская Медицина № 7, 27, 1962 В Ж. Л. Парро, С. Лаборд, С. R. Soc. Biol., v. 146, № 21—22, 1662, 1952. В Ж. Л. Парро и С. Лаборд, in Symposium on Histamine, 52, 1956, London Е. М. Кричевская и Г. В. Капитонова, ДАН СССР, т. 123, № 1, 68 (1958) Р. В. Шейер, Р. Л. Смайли, К. Дж. Дэвис, Ргос. Soc. Exp. Biol. and Med. 87, № 3, 590, 1954. В И. С. Заводская, Бюлл, экспер. биол. и мед. 1, 26, 1954. В Урбрах, Л. Жискафр, Ргос. Soc. Exp. Biol. and Med., 68, № 3, 430, 1948. В С. В. Аников и И. С. Заводская, Фармакотерания язвенной болезии, 1965.

